

Apéndice 2 - Perfiles litológicos de detalle

Se presentan en esta sección los perfiles litológicos de detalle levantados en el área de estudio. Su ubicación se muestra en los mapas de las carátulas que hacen de separadores para cada grupo de perfiles ordenado de acuerdo a la localidad en la que se encuentran. Los perfiles han sido dibujados a escala 1:200.

Las referencias se encuentran en la página siguiente.

Perfiles localidad NIR: Páginas 3 a 17

Perfiles localidades PLS, PCL y PPC: Páginas 18 a 34

Perfiles localidad PLT: Páginas 35 a 49



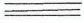

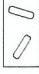






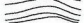





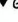

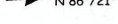
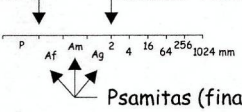
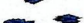
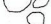






Perfiles localidad LAO: Páginas 50 a 53

Perfiles localidad ECM: Páginas 54 a 64

Perfiles localidad CTL: Páginas 65 a 79

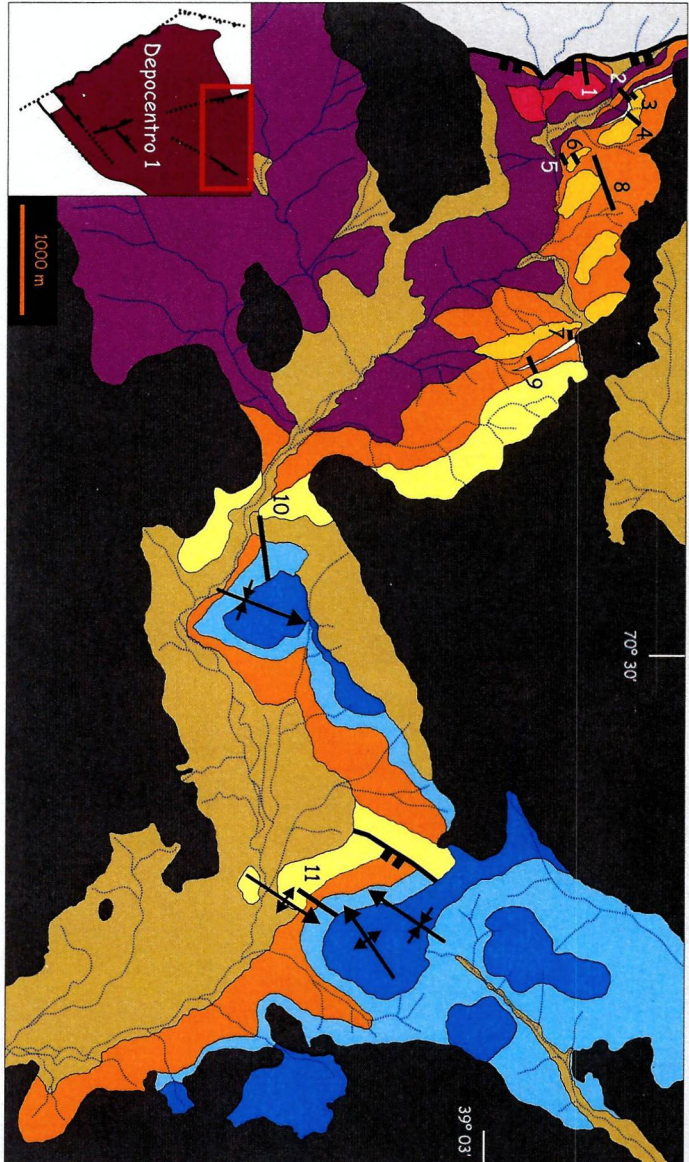
Perfiles localidad NPS: Páginas 80 a 82

Referencias de los perfiles litológicos de detalle

Litologías		Estructuras y composición			
	Conglomerado matriz sostén		Mudstones silicificados		Estratificación / laminación planar
	Conglomerado grano sostén, moderadamente seleccionado		Lavas porfíricas		Estratificación entrecruzada planar
	Conglomerado grano sostén muy bien seleccionado		Roca lávica, afanítica y ácida		Estratificación entrecruzada en artesa
	Sabulitas		Lavas con alteración diferencial		Estructura en montículo
	Roca psamítica grano sostén		Cubierto		Gradación normal
	Rocas pelíticas		Cubierto: no se representa su longitud total en el perfil		Gradación inversa en los granos más gruesos
					Marca de hoyo de flujo
					Dirección de paleocorrientes
<p>Pelitas Psamitas</p>  <p style="text-align: center;">Escala granulométrica</p> <p style="text-align: center;">Psamitas (finas, medianas y gruesas)</p>					Clastos pumiceos
					Clastos de origen granítico
					Clastos de origen volcánico efusivo
					Autobrechamiento
					Fósiles de invertebrados marinos
					Restos vegetales
					Rastros de actividad orgánica
				<p>Diagrama de torta sobre procedencia de clastos: graníticos vs. volcánicos efusivos</p>  <p style="text-align: center;">59%</p>	

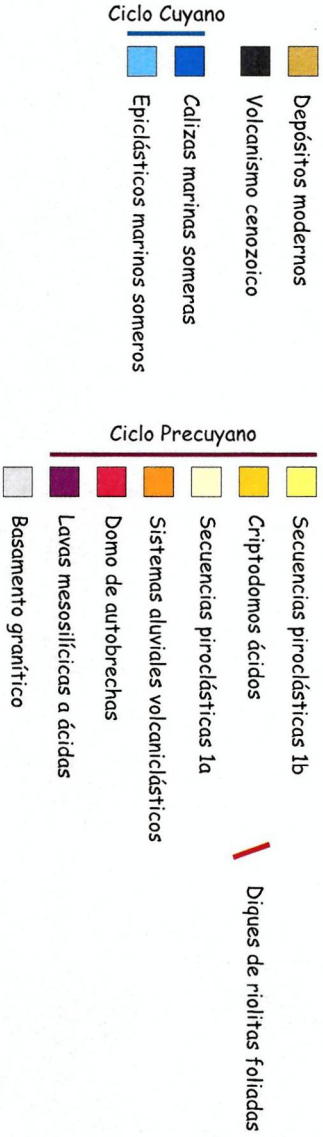
Ciclo Cuyano	■	Sistemas de costa afuera	SCA
	■	Calizas marinas someras	CMS
	■	Epiclásticos marinos someros	EMS
	■	Sistemas de remoción en masa submarinos	SRMS
	■	Sistemas deltaicos gravosos	SDG
Ciclo Precuyano	■	Abanico aluvial (flujos hiperconcentrados)	AFH
	■	Abanico aluvial (flujos de detritos)	AFD
	■	Secuencias piroclásticas 2	SP 2
	■	Secuencias piroclásticas 1b	SP 1b
	■	Domos y criptodomos ácidos	DCA
	■	Depósitos piroclásticos retrabajados	DPR
	■	Secuencias piroclásticas 1a	SP 1a
	■	Sistemas aluviales volcánico-clásticos	SAV
	■	Domo de autobrechas	DAB
	■	Lavas mesosilícicas a ácidas	LMA
	■	Basamento granítico	
	■	Basamento metamórfico	

Perfiles litológicos de detalle - Localidad NIR

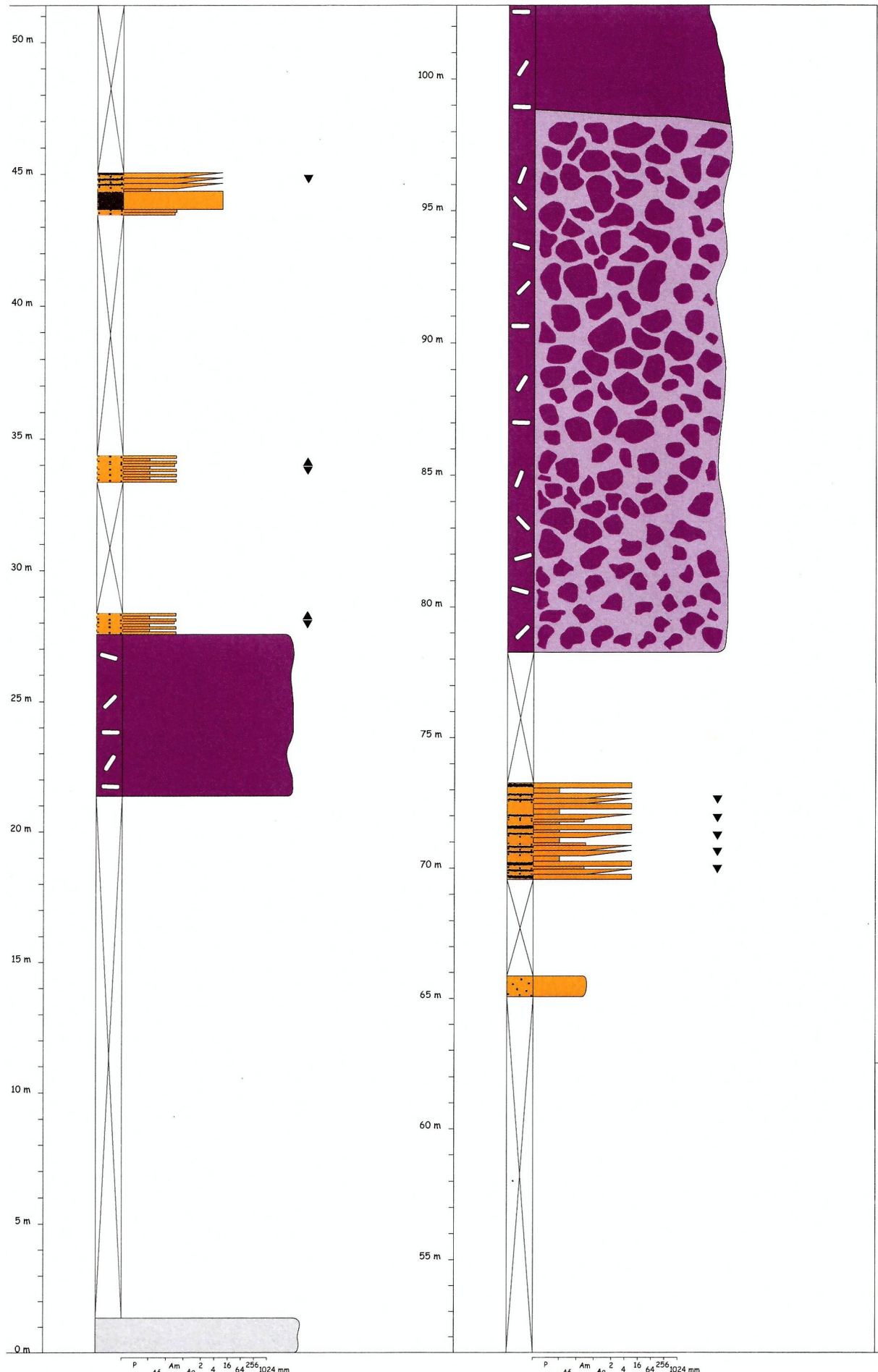


Perfiles litológicos de detalle levantados en la localidad NIR:

- 1 - NIR 9: S 39° 2' 23,1"; O 70° 33' 41,8"
- 2 - NIR 11: S 39° 2' 17"; O 70° 33' 33,6"
- 3 - NIR 12: S 39° 2' 13,9"; O 70° 33' 21,8"
- 4 - NIR 15: S 39° 2' 16,7"; O 70° 33' 17,5"
- 5 - NIR 17: S 39° 2' 33,4"; O 70° 33' 3,1"
- 6 - NIR 19: S 39° 2' 35,3"; O 70° 33' 7,7"
- 7 - NIR 25: S 39° 2' 33,1" 70° 32' 1,1"
- 8 - NIR 34: S 39° 2' 28,3"; O 70° 33' 4"
- 9 - NIR 36: S 39° 2' 44"; O 70° 31' 49,9"
- 10 - NIR 39: S 39° 4' 6,4"; O 70° 30' 41,4"
- 11 - NIR 43: S 39° 3' 46,1"; O 70° 28' 38"

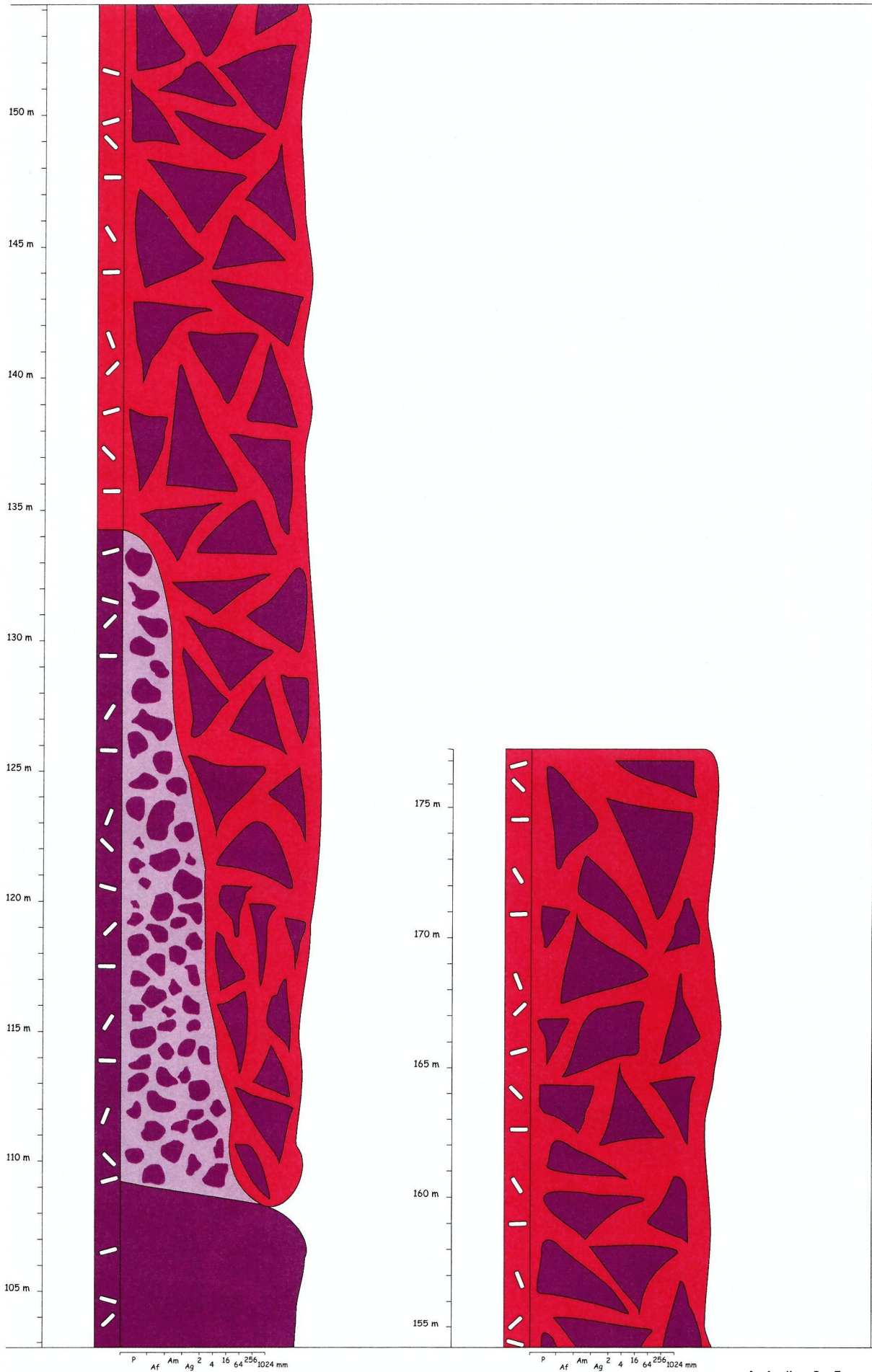


Perfil NIR 9



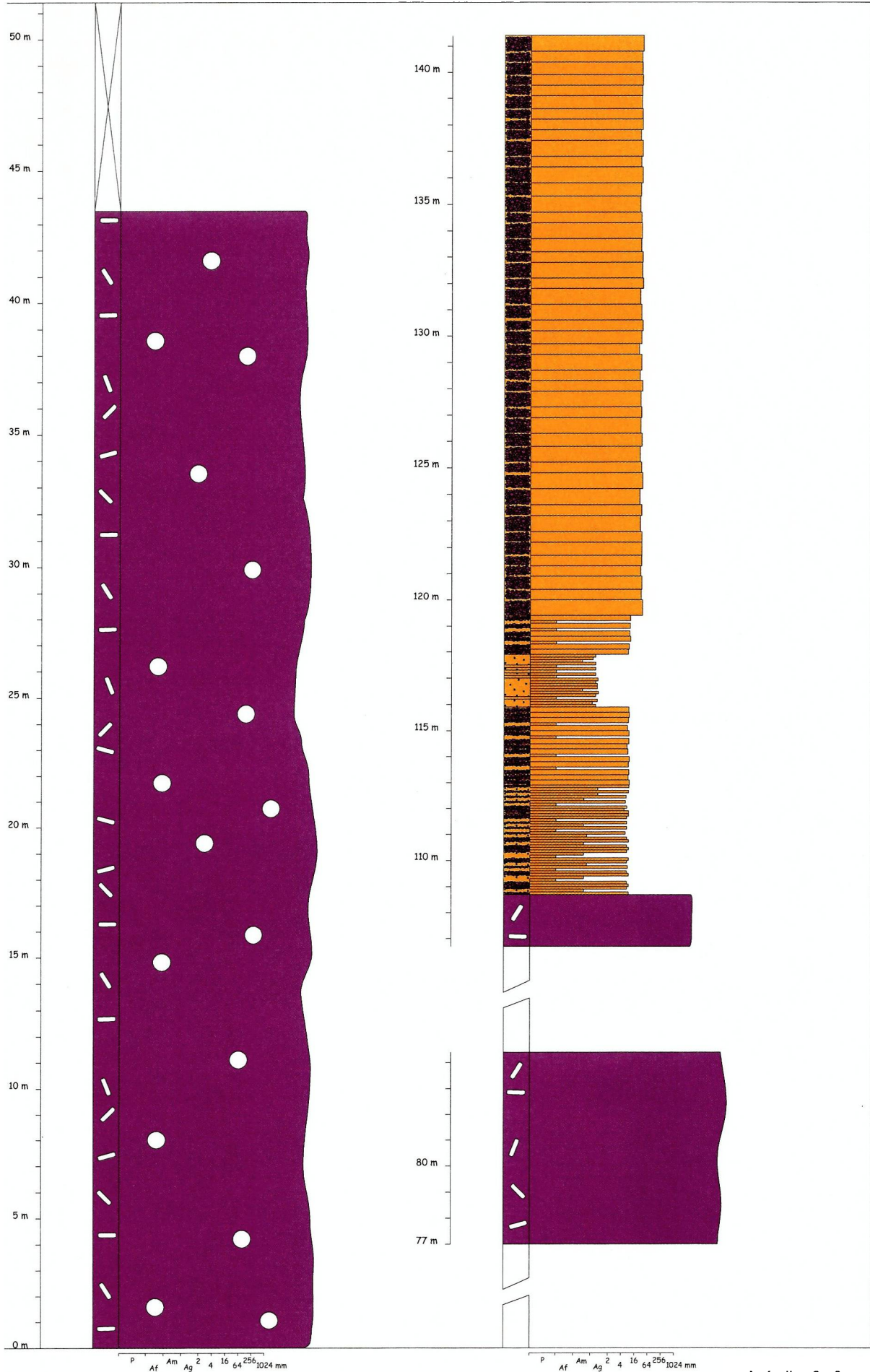
Perfil NIR 9 - Hoja 1

Perfil NIR 9



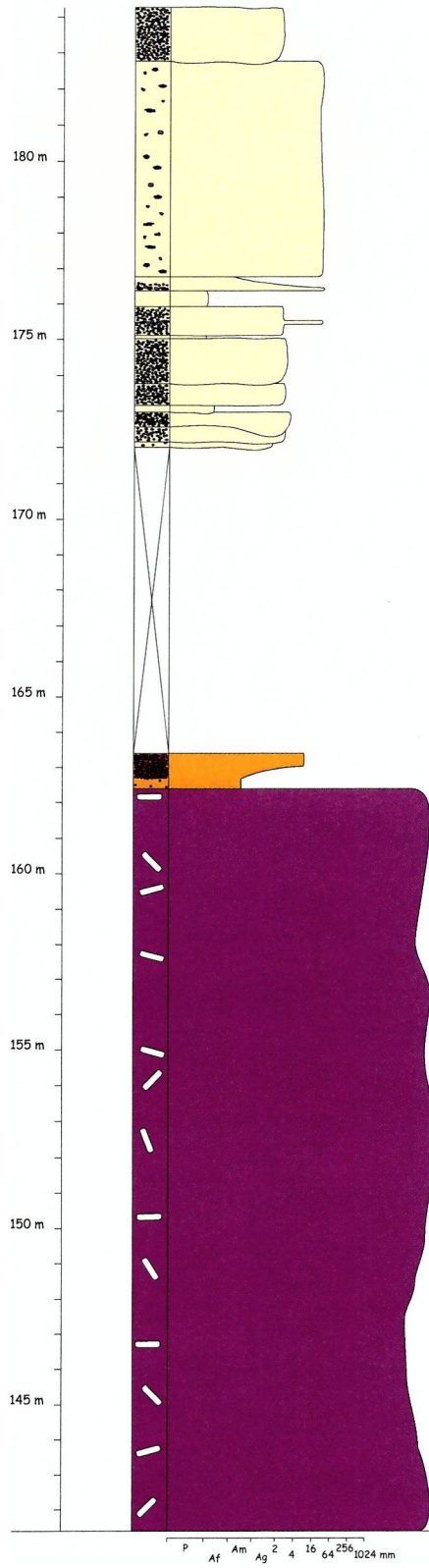
Perfil NIR 9 - Hoja 2

Perfil NIR 11



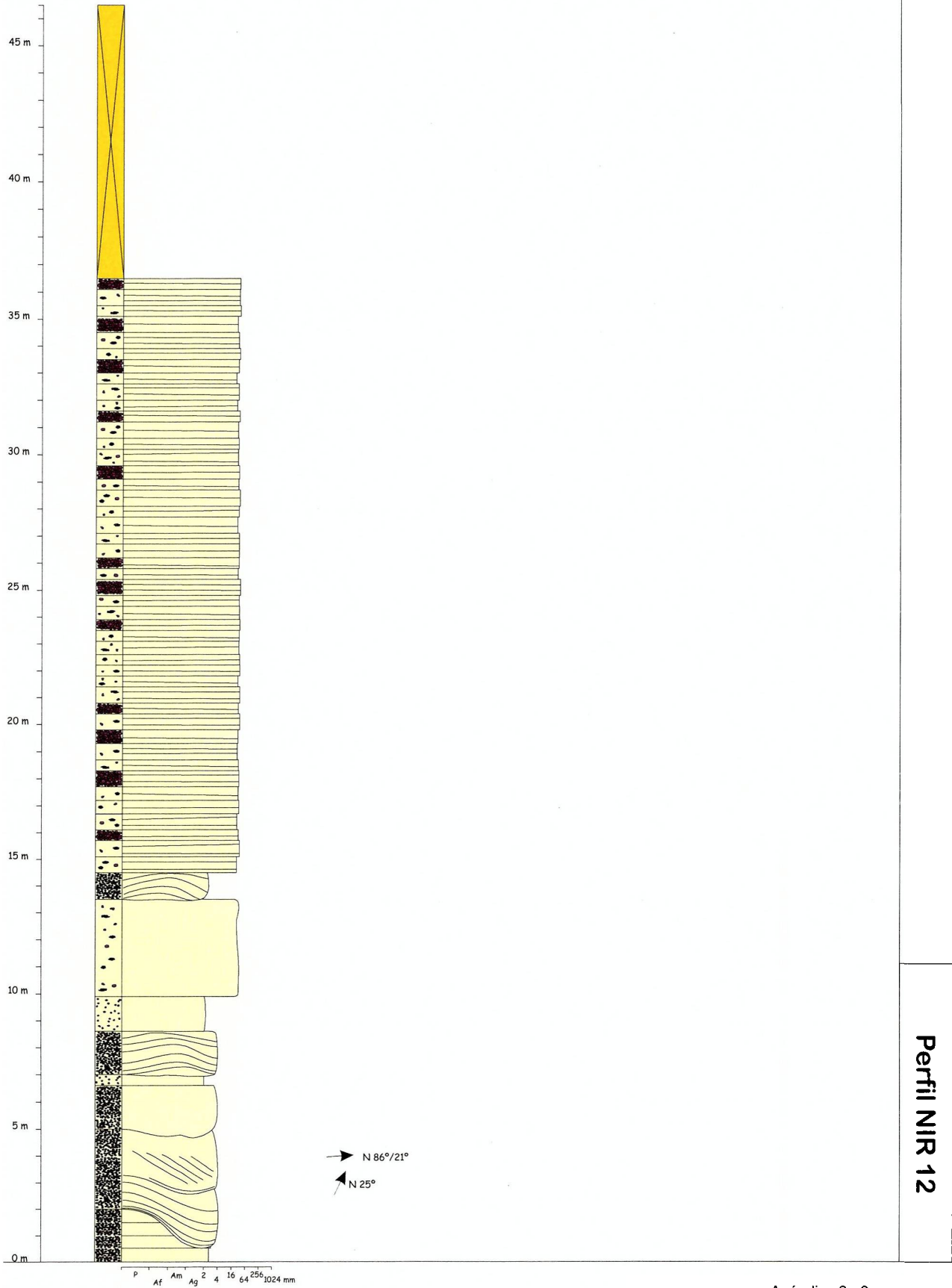
Perfil NIR 11 - Hoja 1

Perfil NIR 11

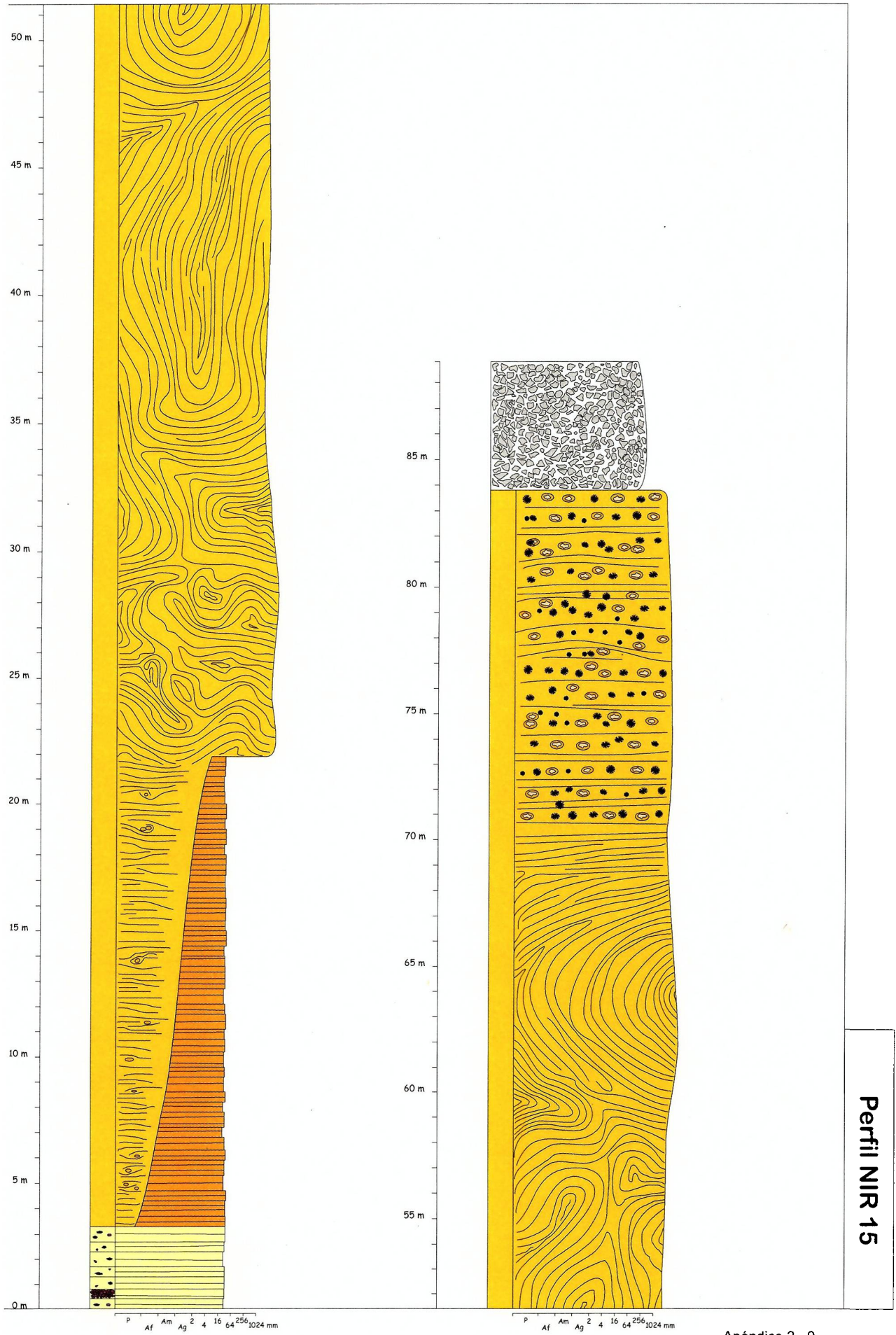


Perfil NIR 11 - Hoja 2

Perfil NIR 12

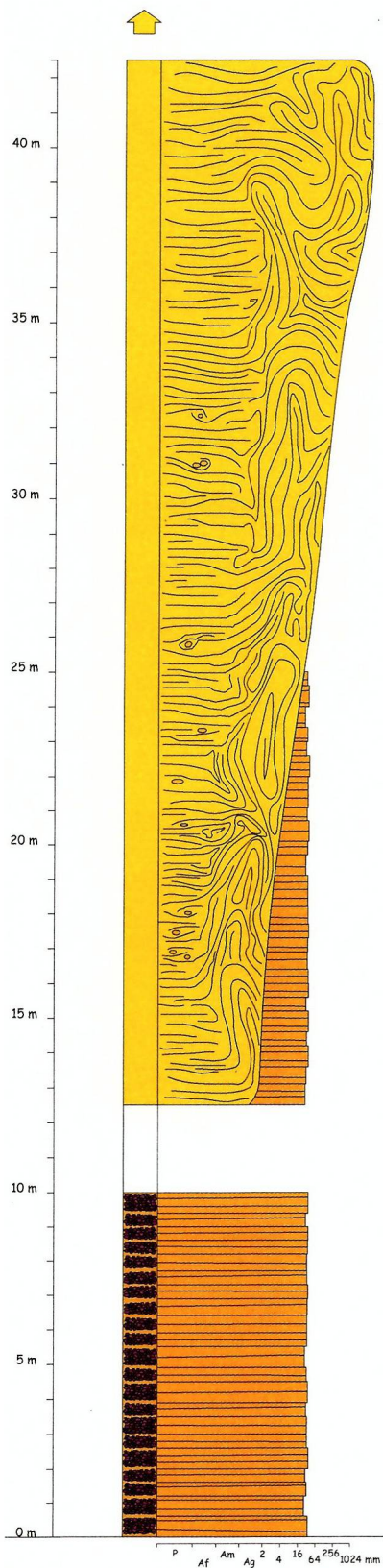


Perfil NIR 15



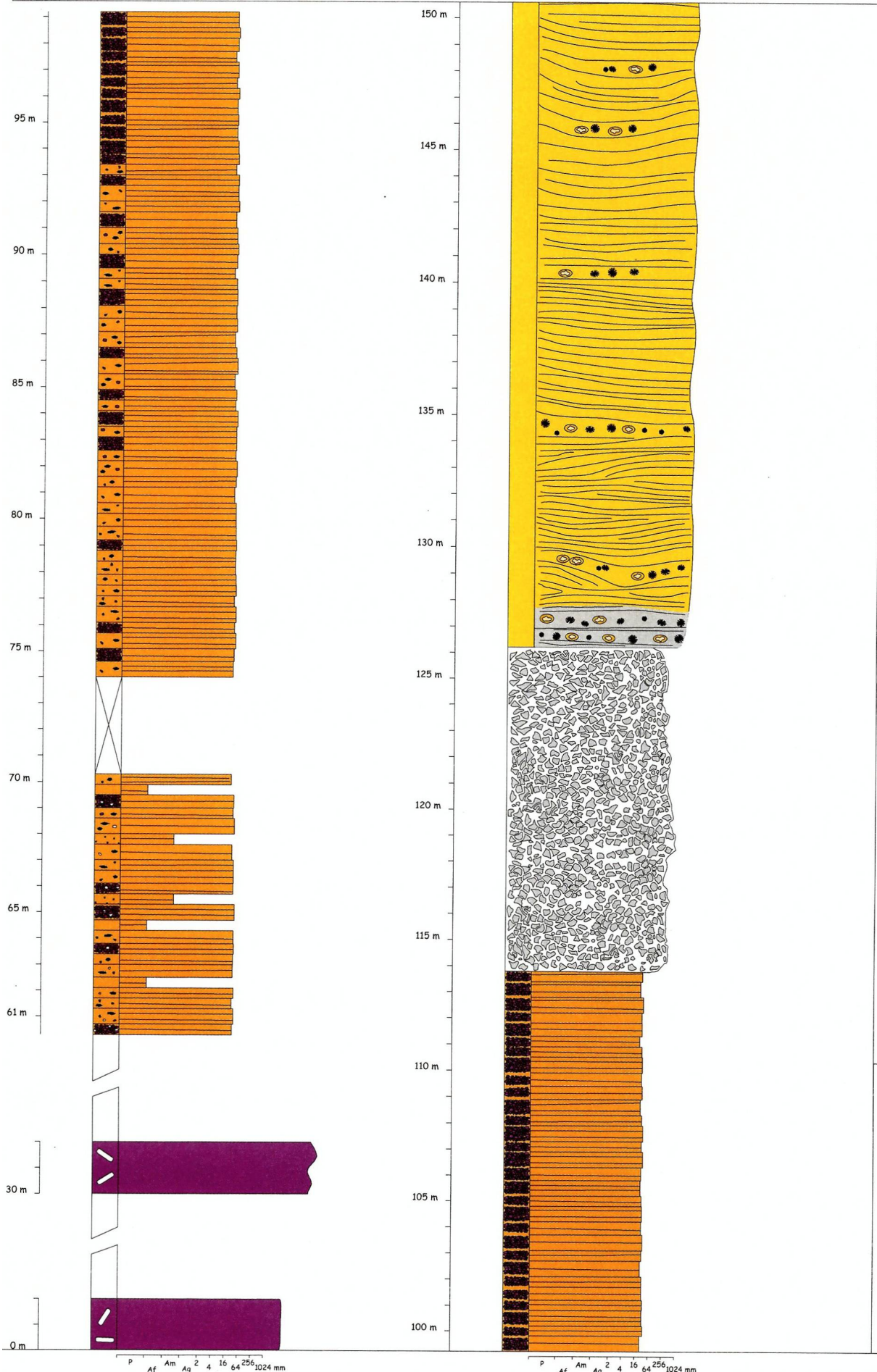
Perfil NIR 15

Perfil NIR 17



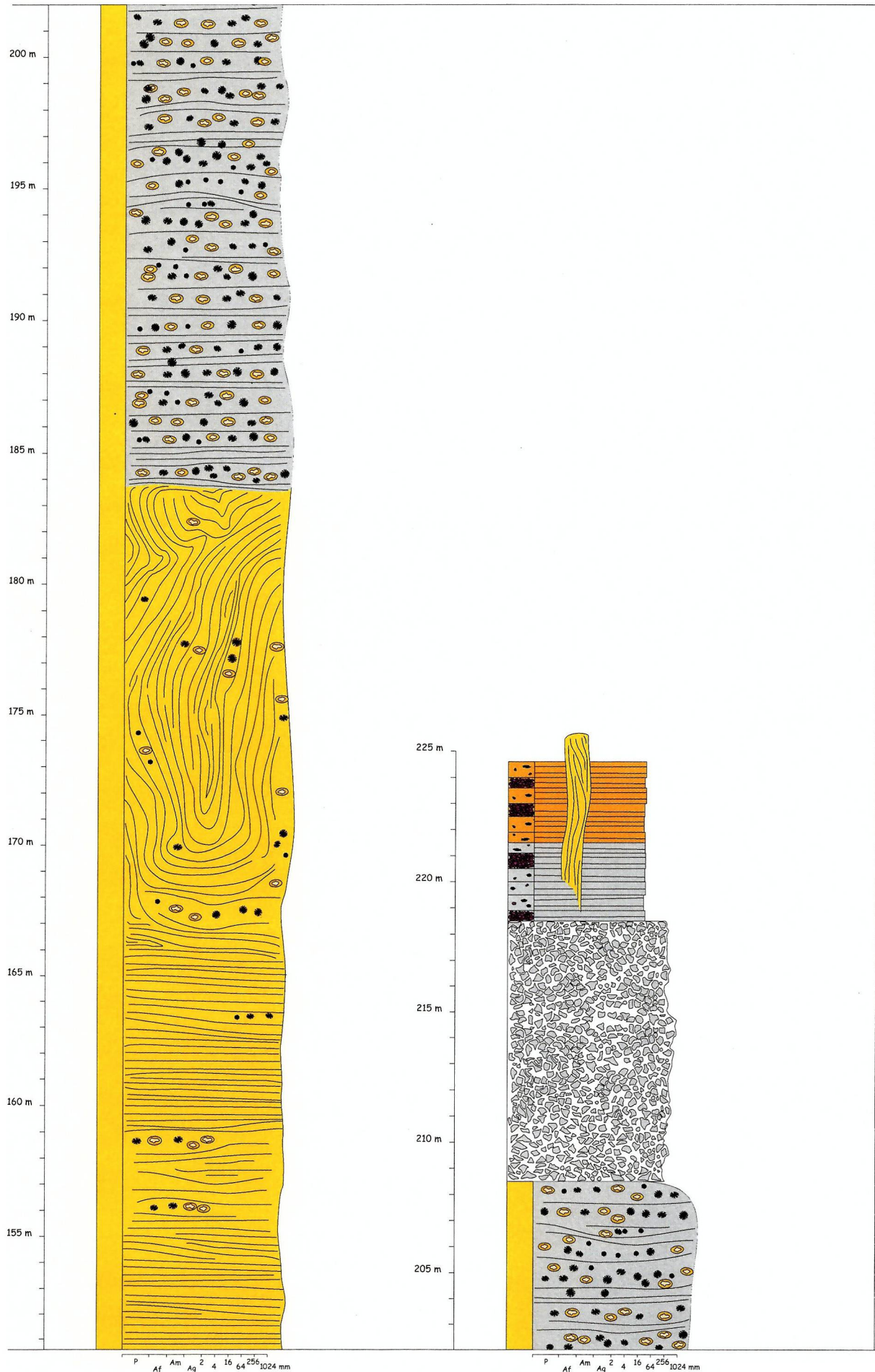
Perfil NIR 17

Perfil NIR 19



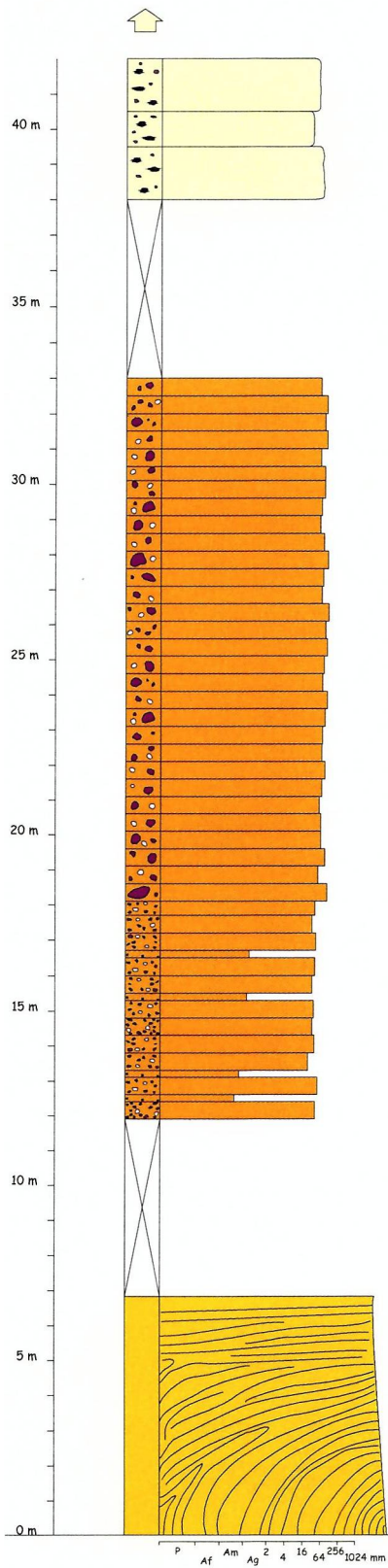
Perfil NIR 19 - Hoja 1

Perfil NIR 19



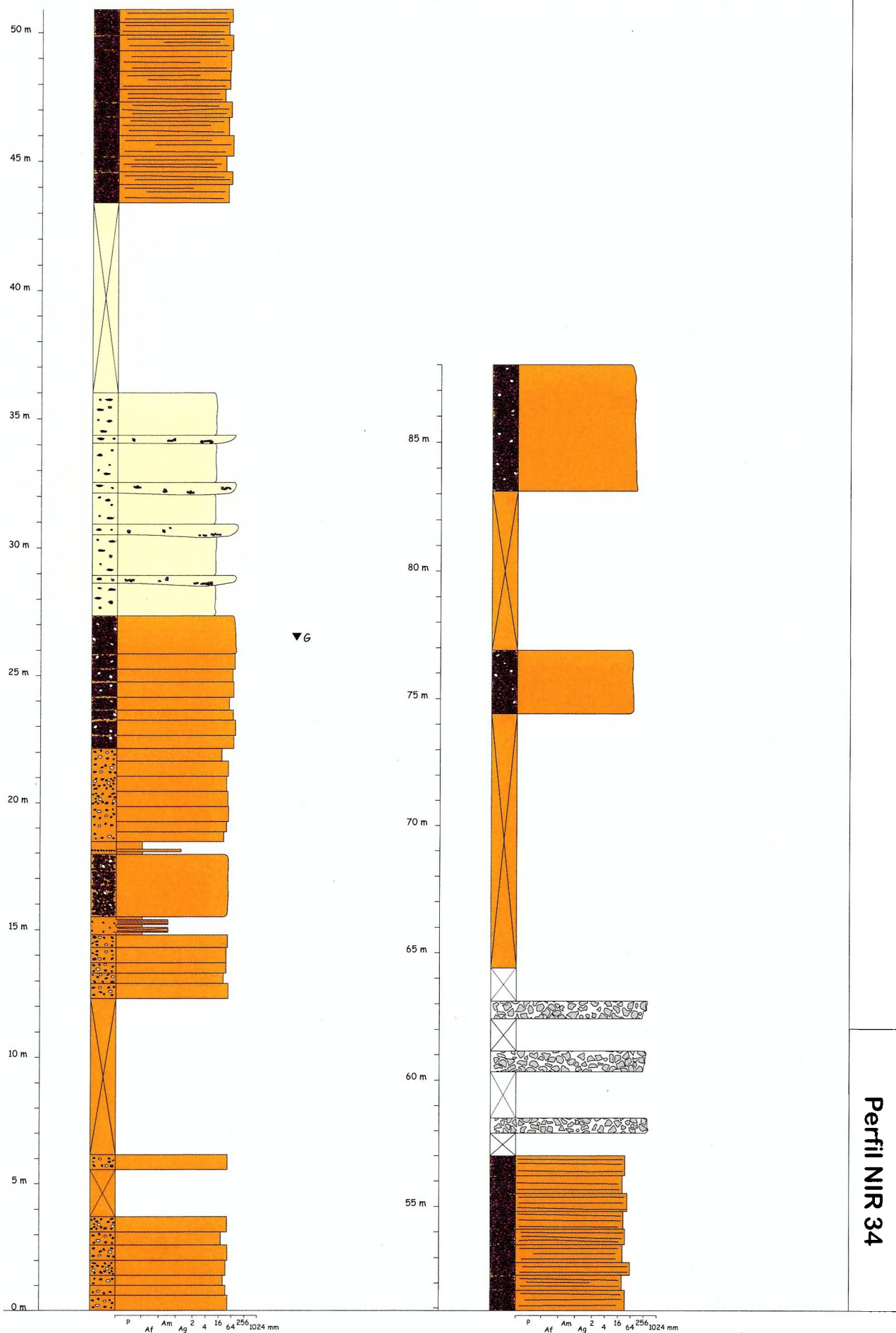
Perfil NIR 19 - Hoja 2

Perfil NIR 25



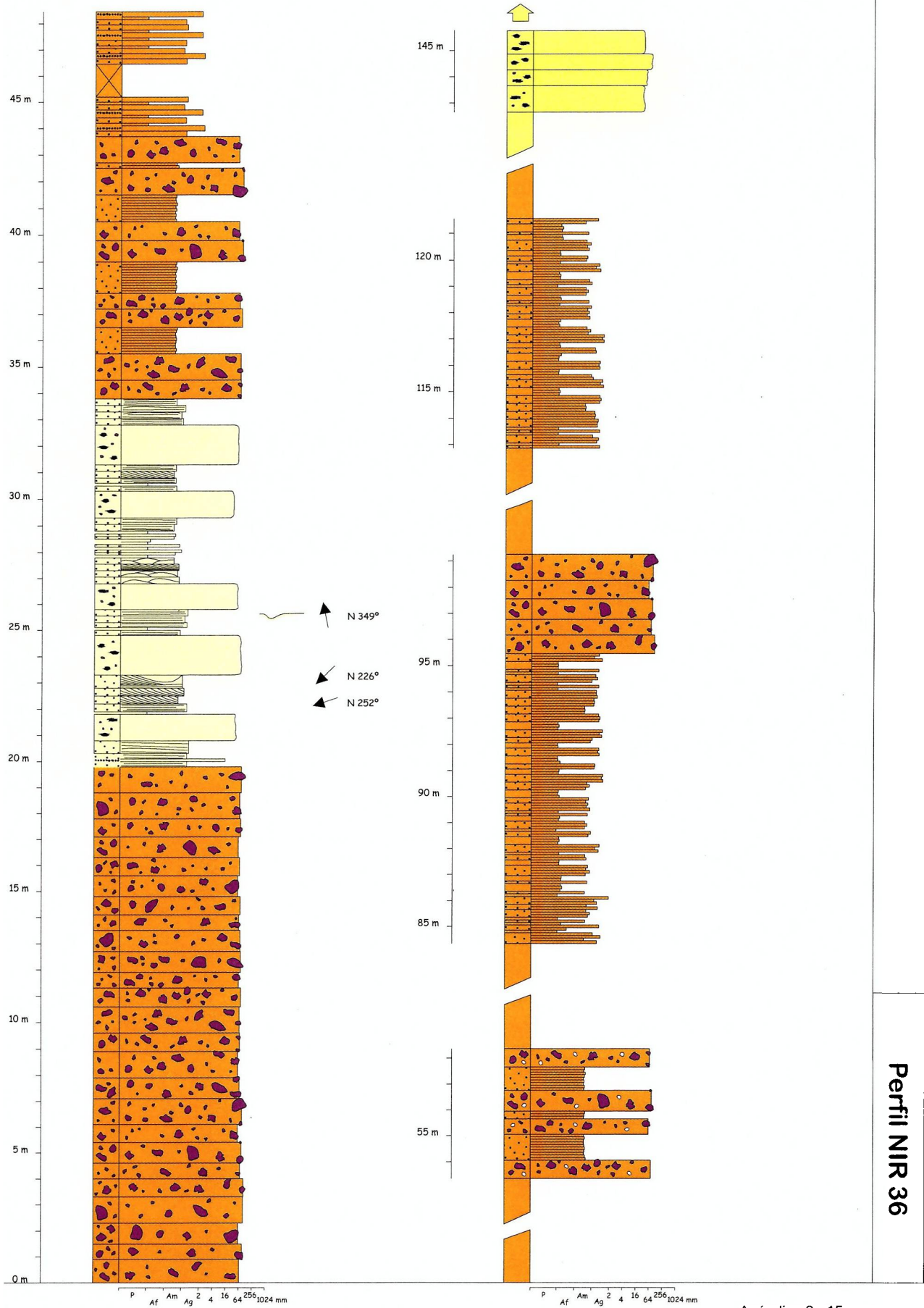
Perfil NIR 25

Perfil NIR 34

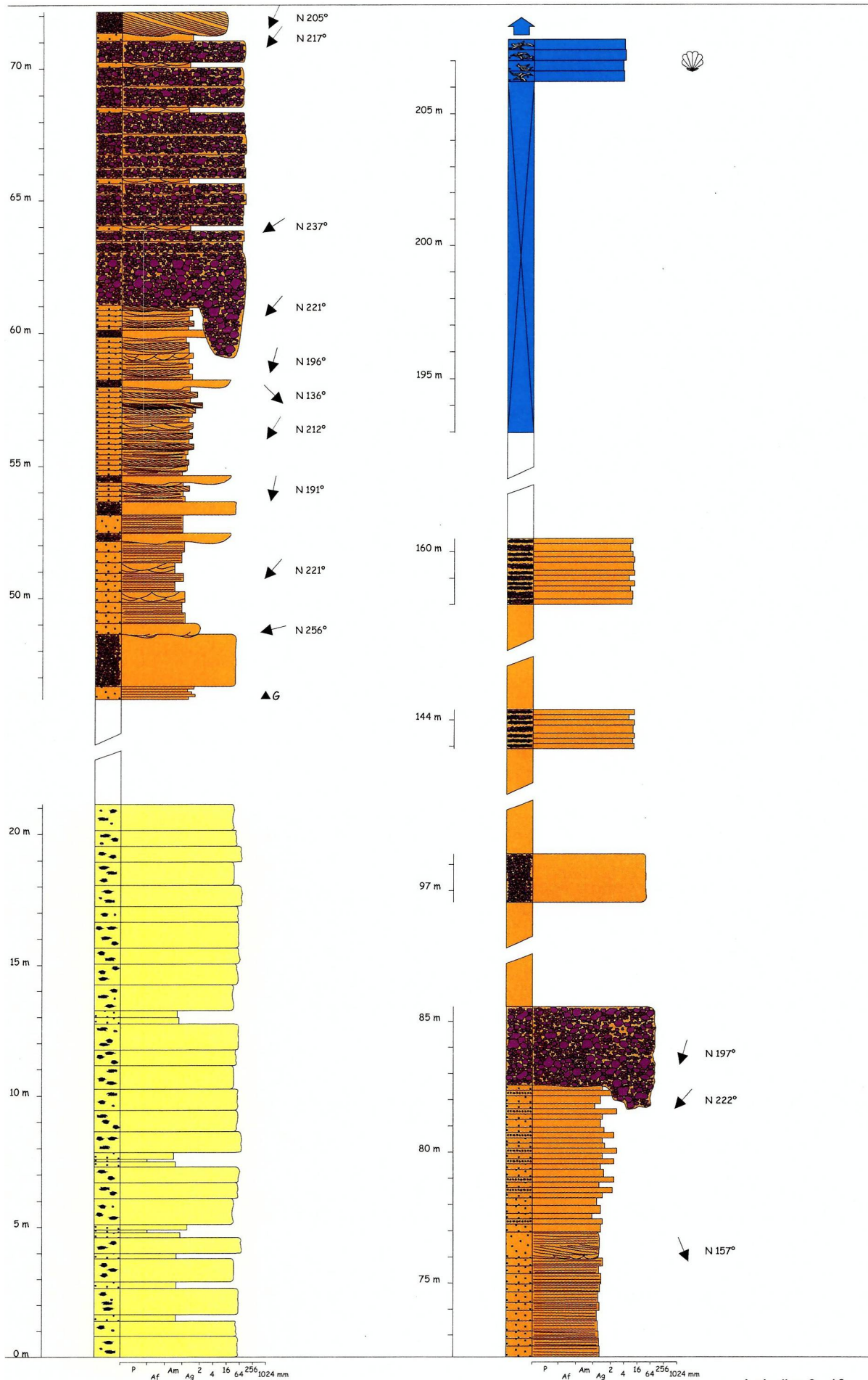


Perfil NIR 34

Perfil NIR 36

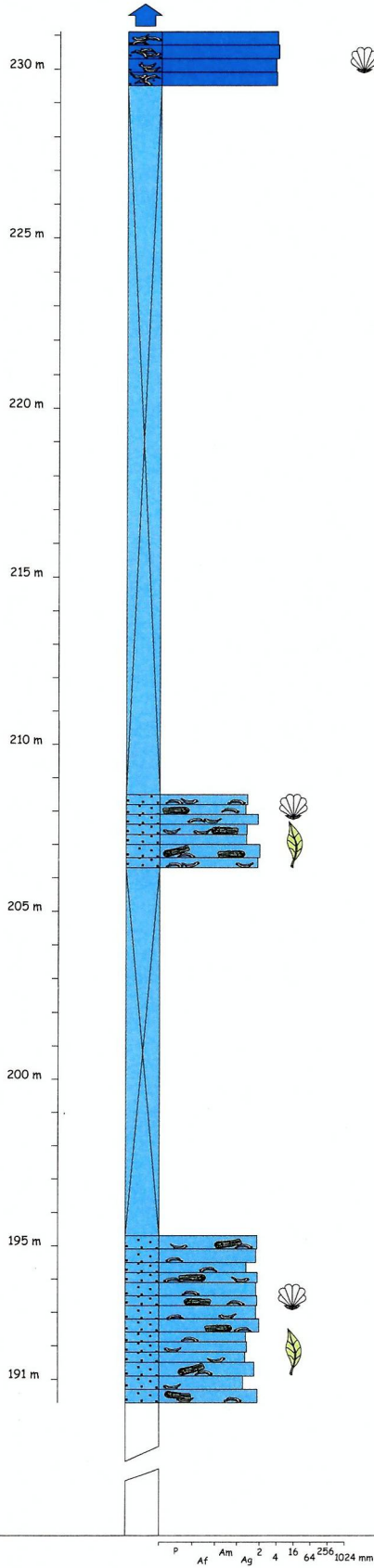
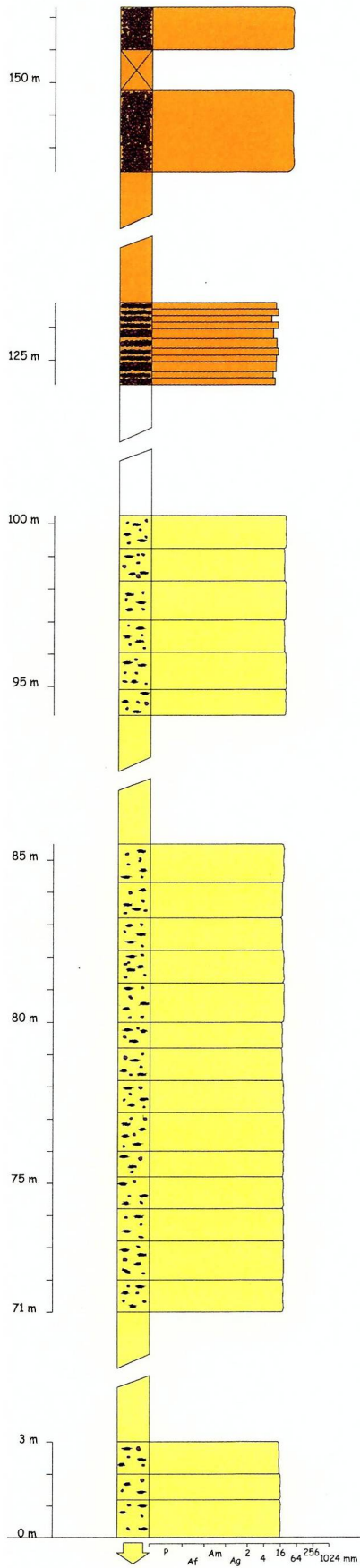


Perfil NIR 39



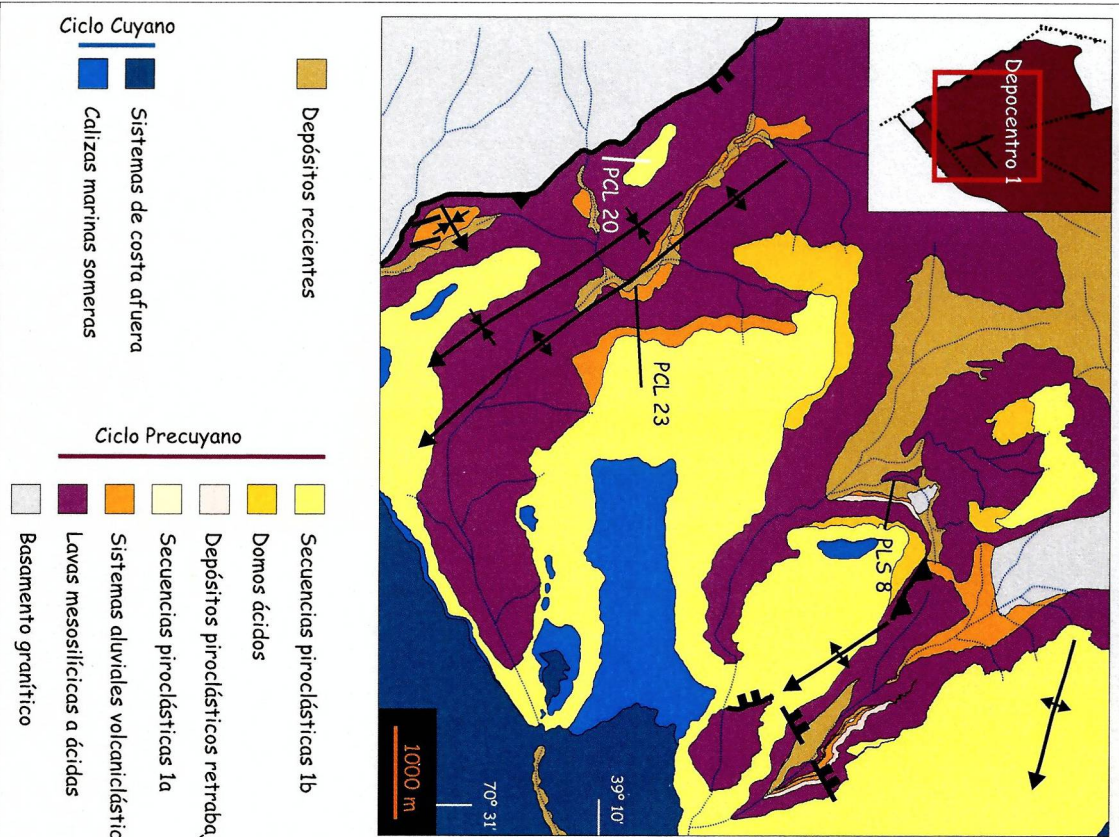
Perfil NIR 39

Perfil NIR 43



Perfil NIR 43

Perfiles litológicos - Localidades PLS, PCL y PPC

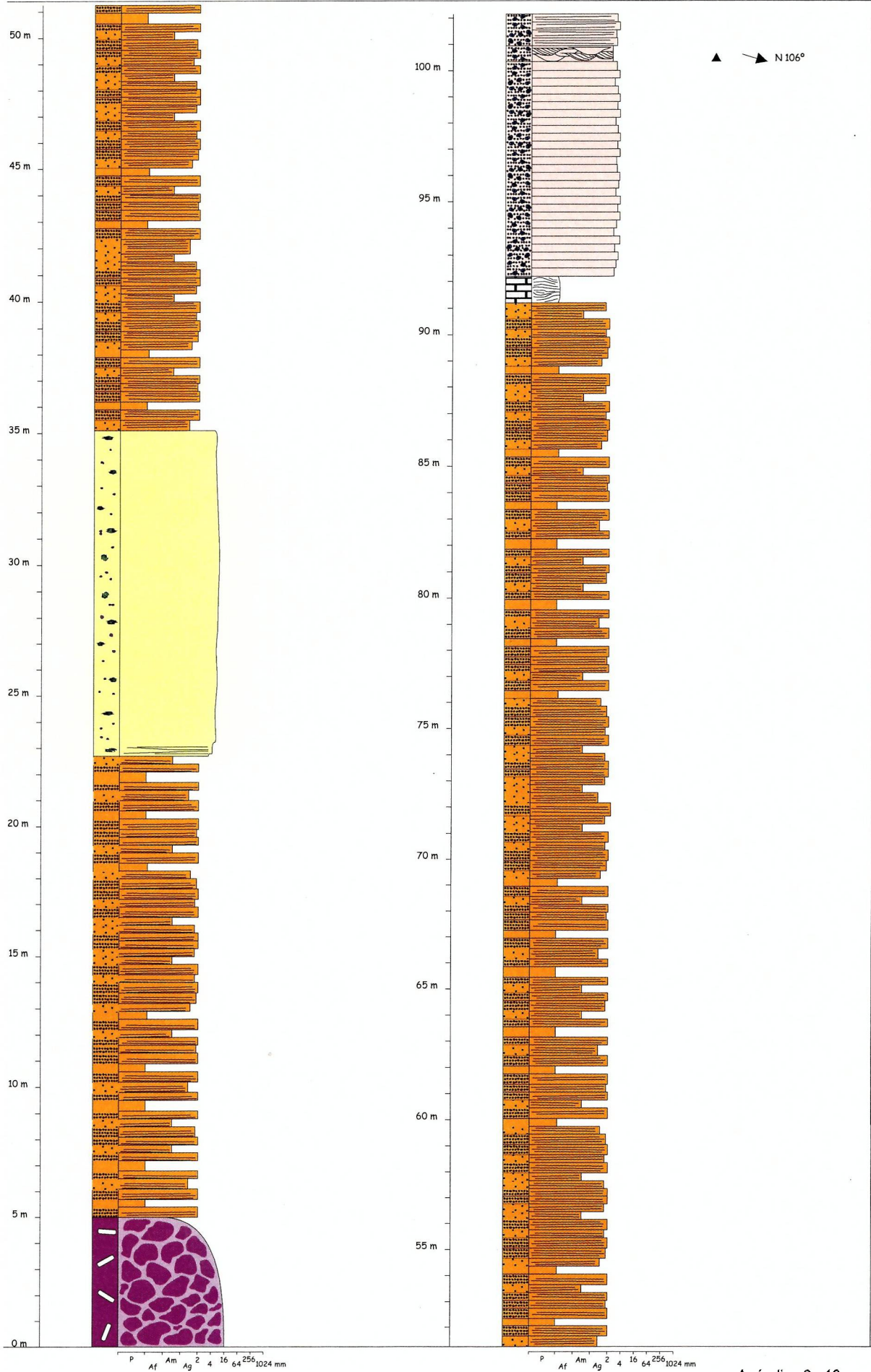


Perfiles litológicos de detalle levantados en la localidad PLT:

- PLS 8: S 39° 8' 21,5"; O 70° 33' 5,1"
- PCL 20: S 39° 9' 43,8"; O 70° 35' 31,6"
- PCL 23: S 39° 9' 49,1"; O 70° 34' 27,7"
- PPC 4: S 39° 6' 38,4"; O 70° 31' 44,1"

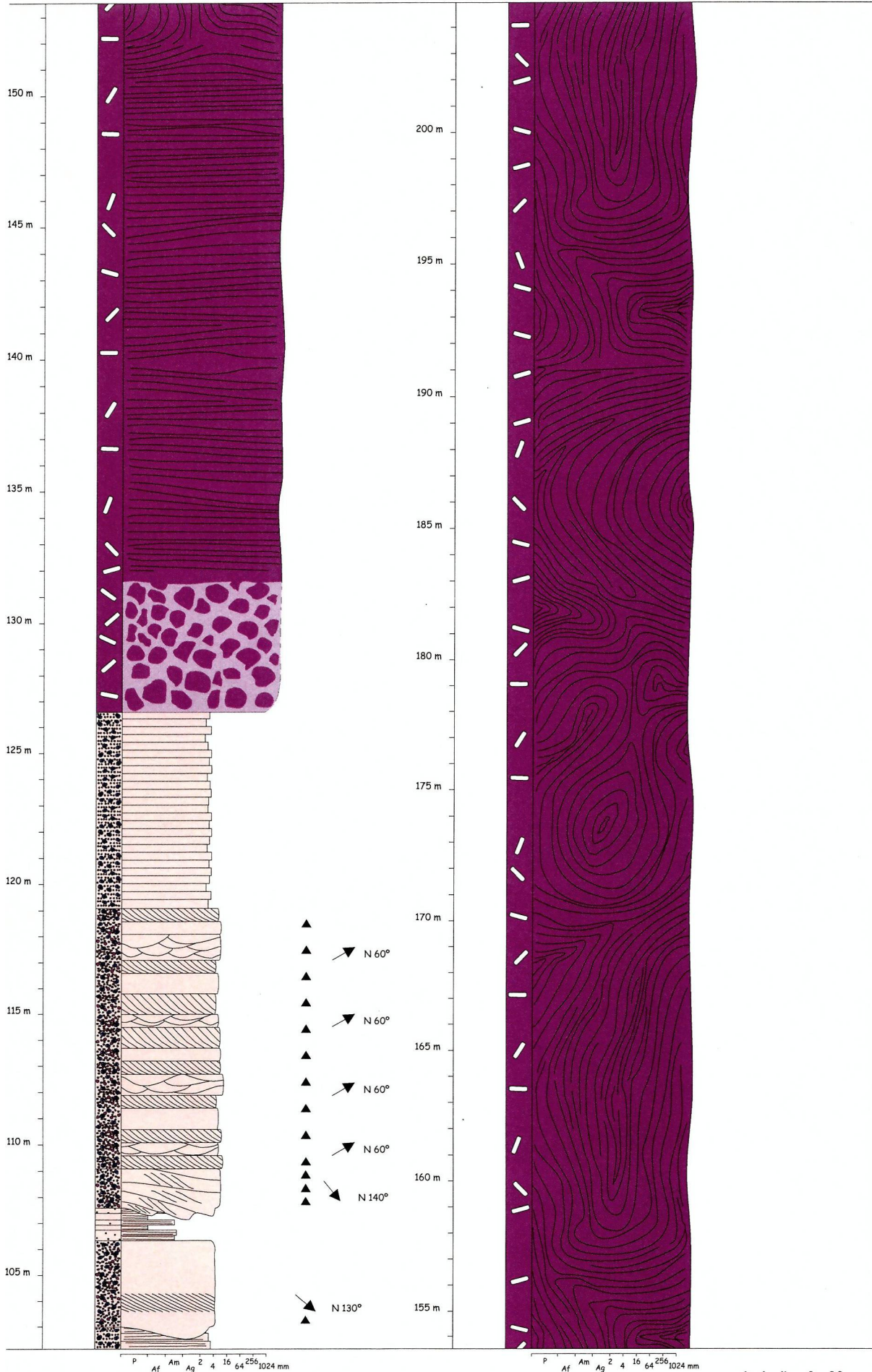


Perfil PLS 8



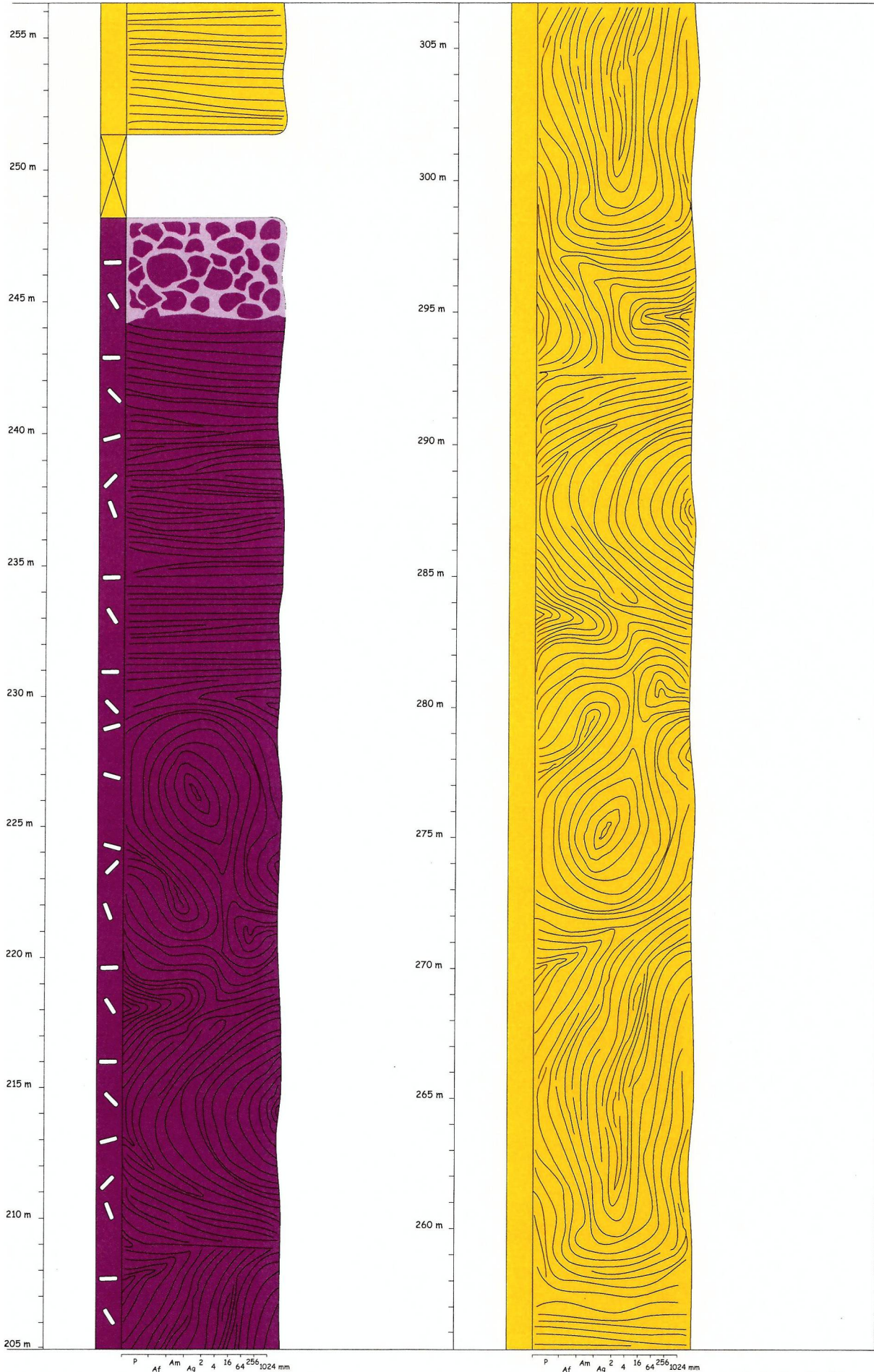
Perfil PLS 8 - Hoja 1

Perfil PLS 8



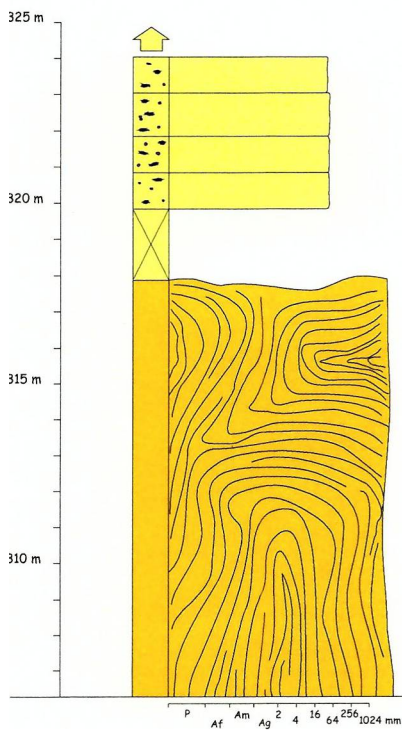
Perfil PLS 8 - Hoja 2

Perfil PLS 8



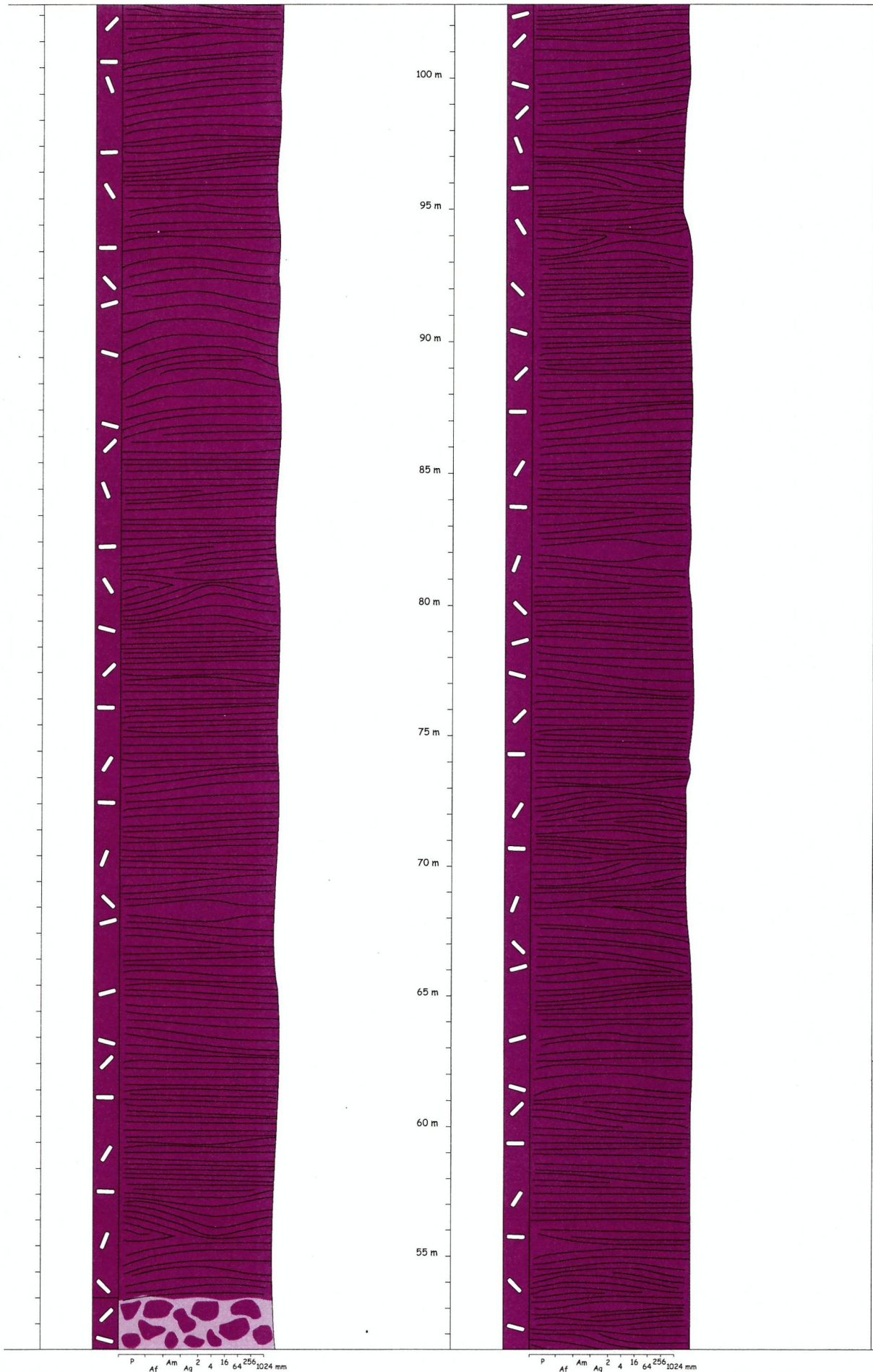
Perfil PLS 8 - Hoja 3

Perfil PLS 8



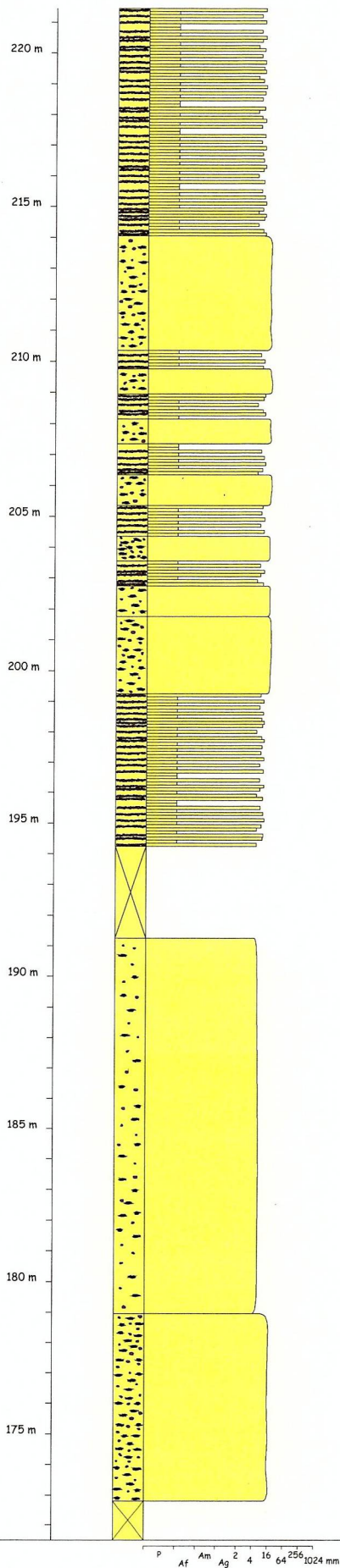
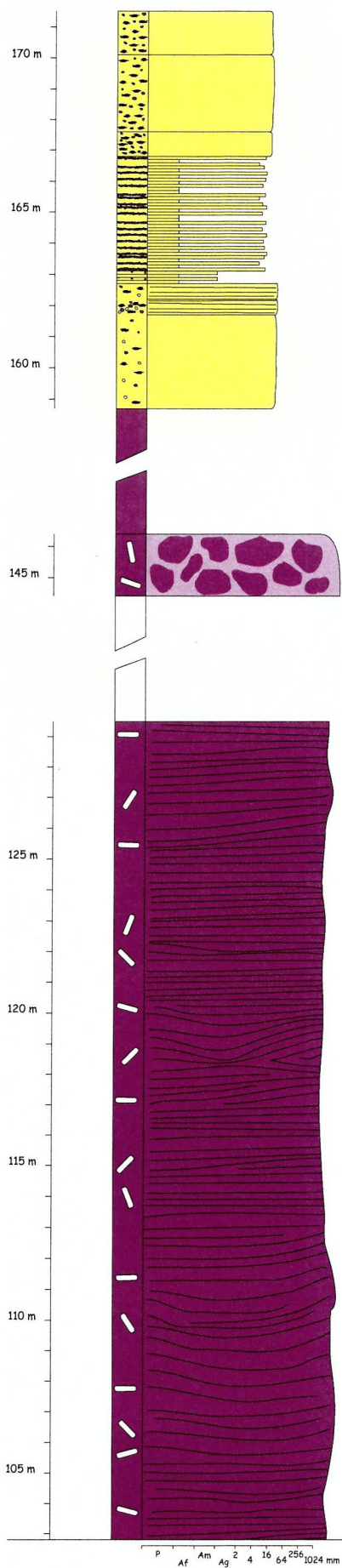
Perfil PLS 8 - Hoja 4

Perfil PCL 20



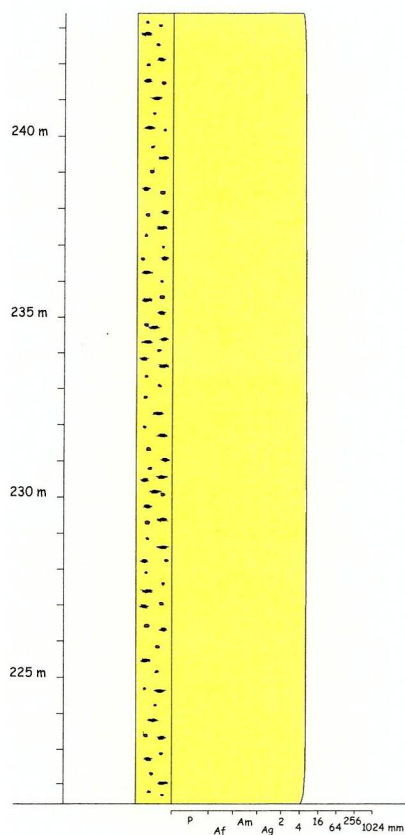
Perfil PCL 20 - Hoja 1

Perfil PCL 20



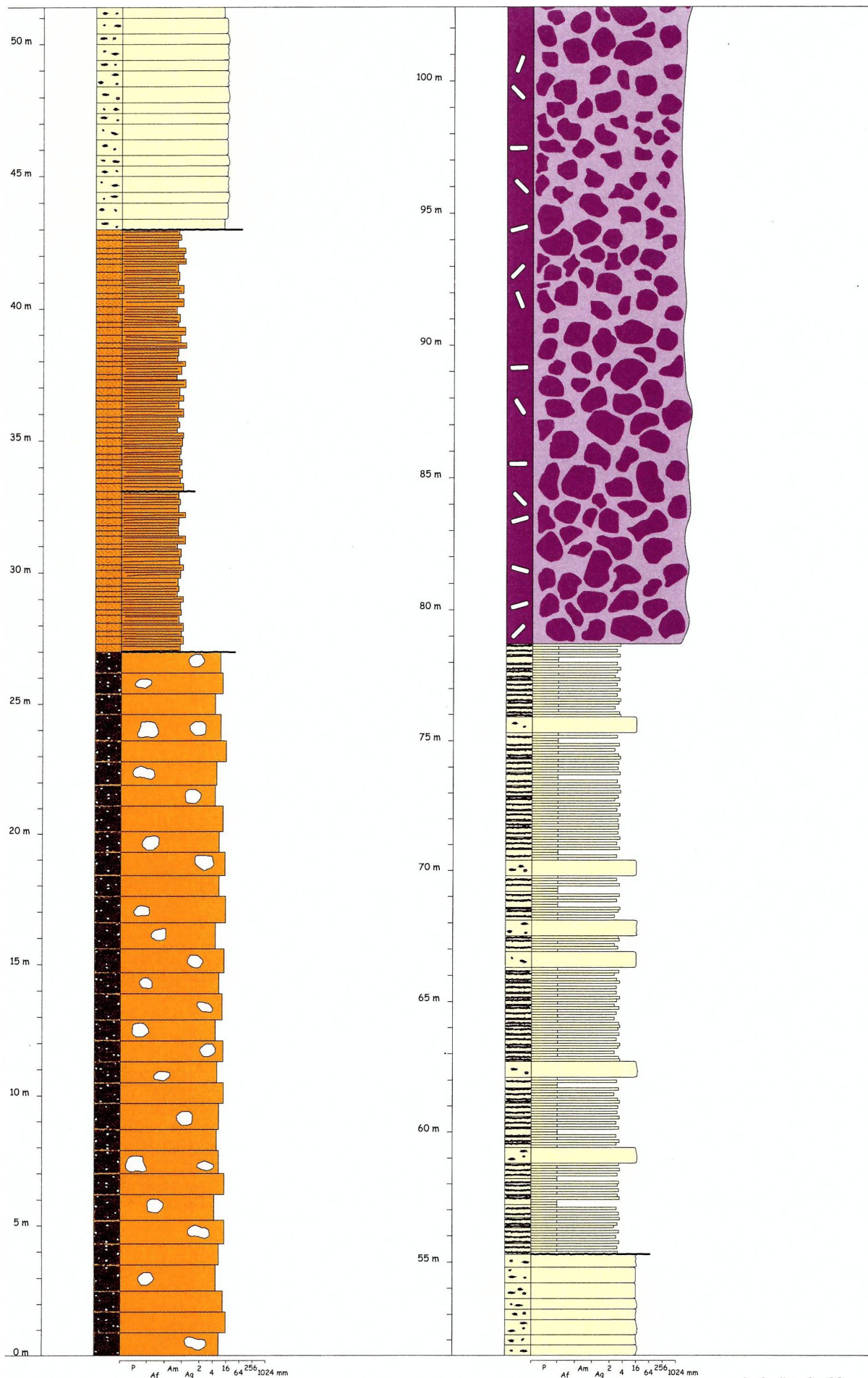
Perfil PCL 20 - Hoja 2

Perfil PCL 20



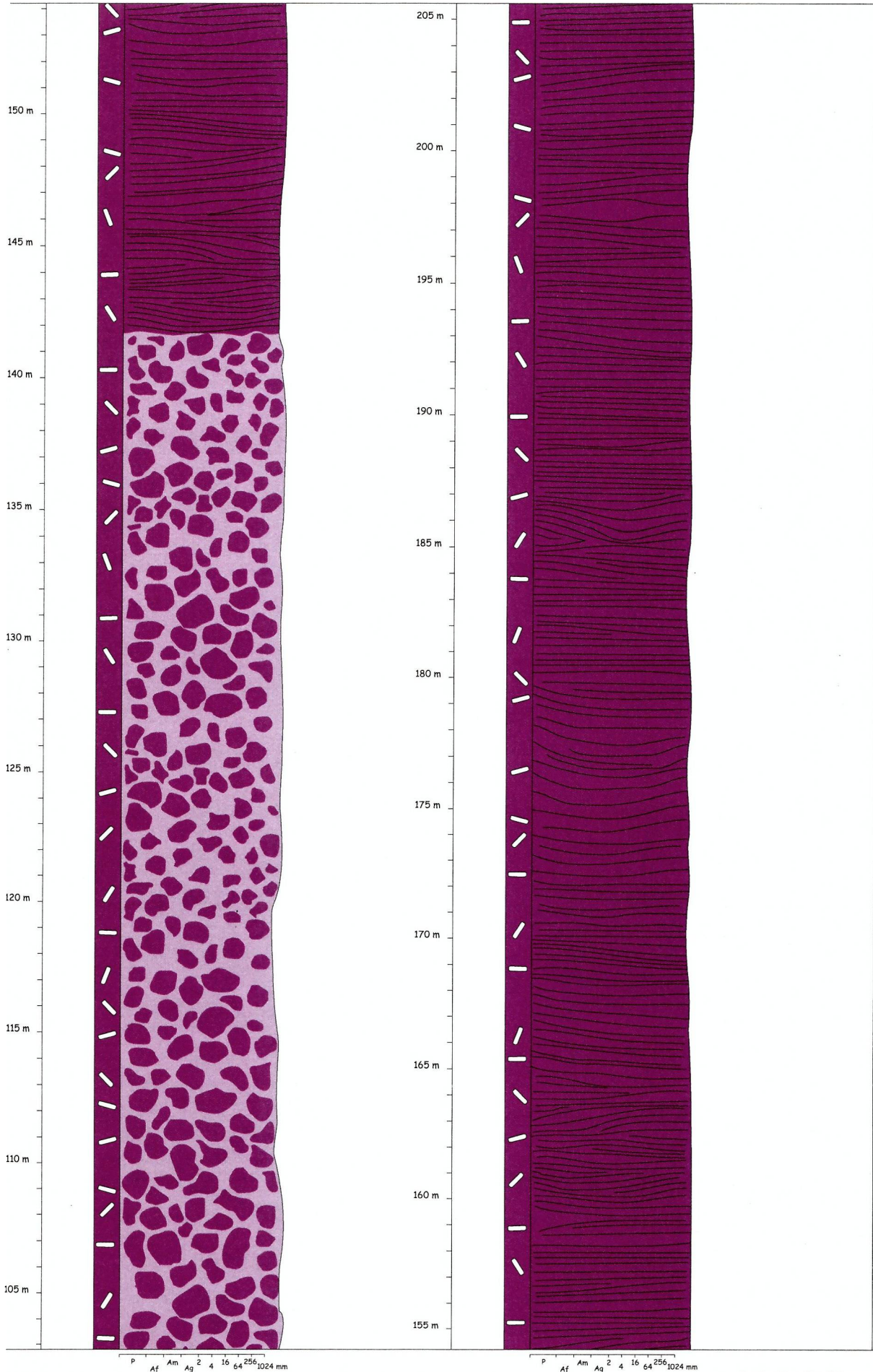
Perfil PCL 20 - Hoja 3

Perfil PCL 23



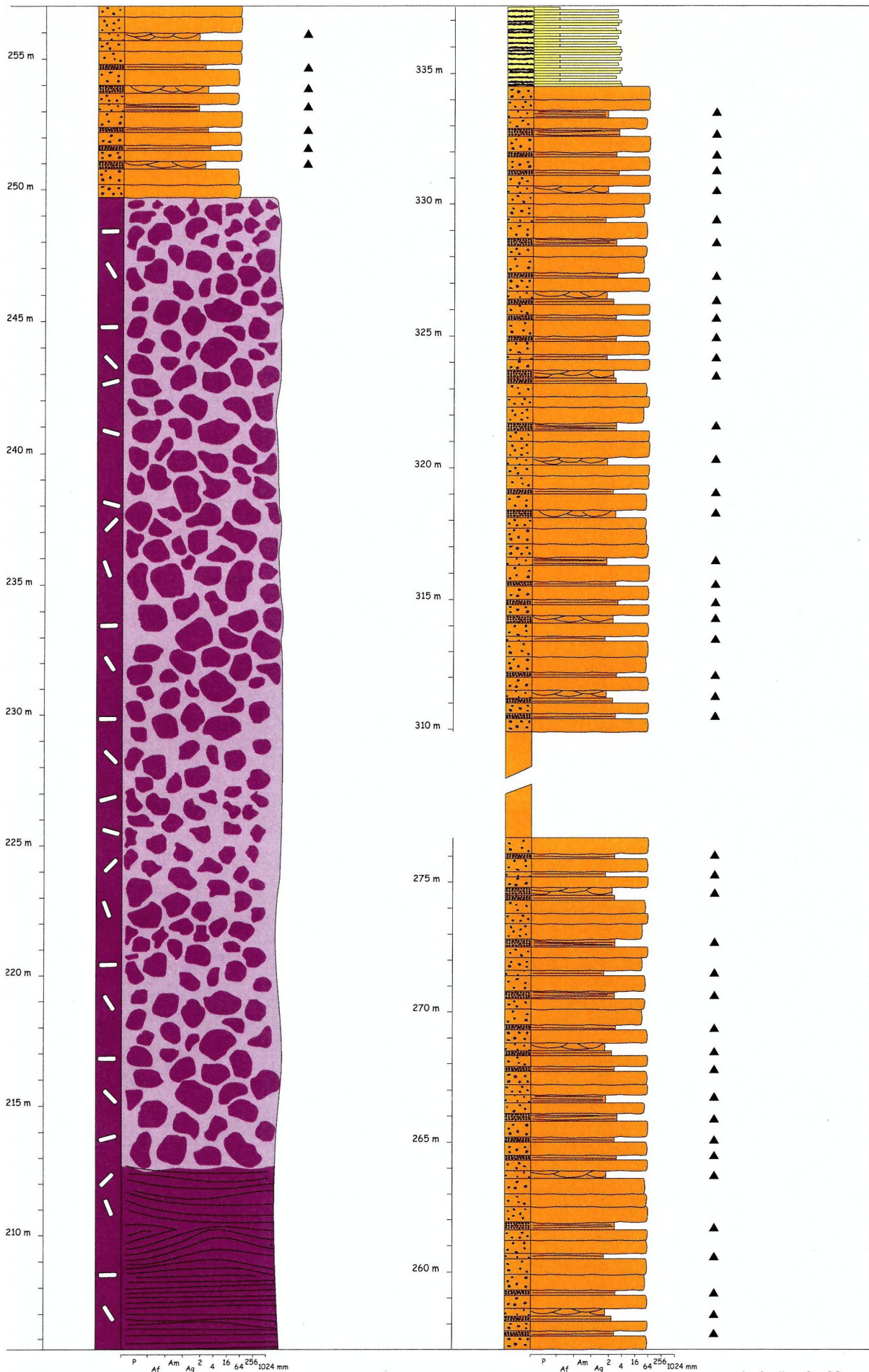
Perfil PCL 23 - Hoja 1

Perfil PCL 23



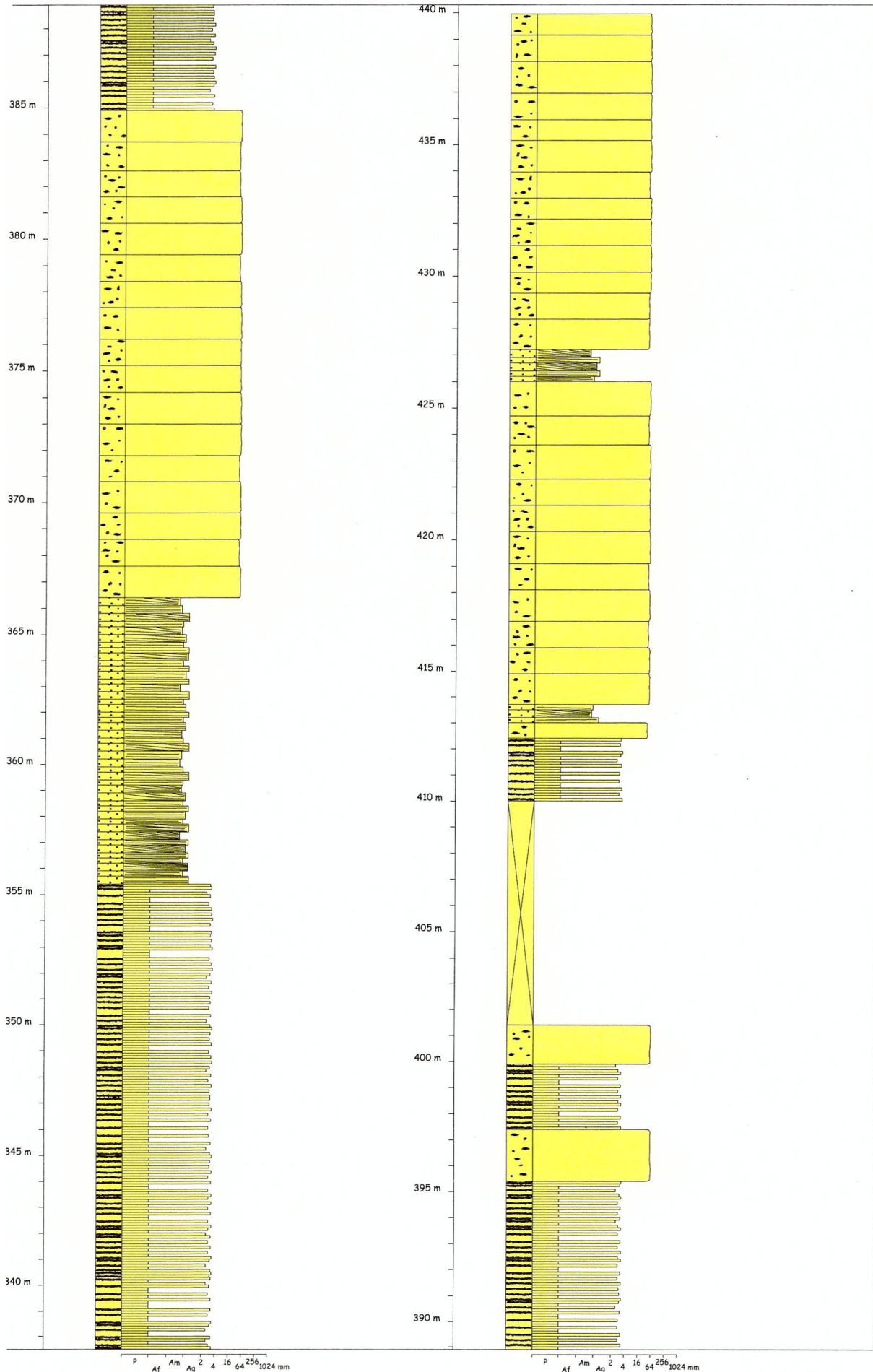
Perfil PCL 23 - Hoja 2

Perfil PCL 23



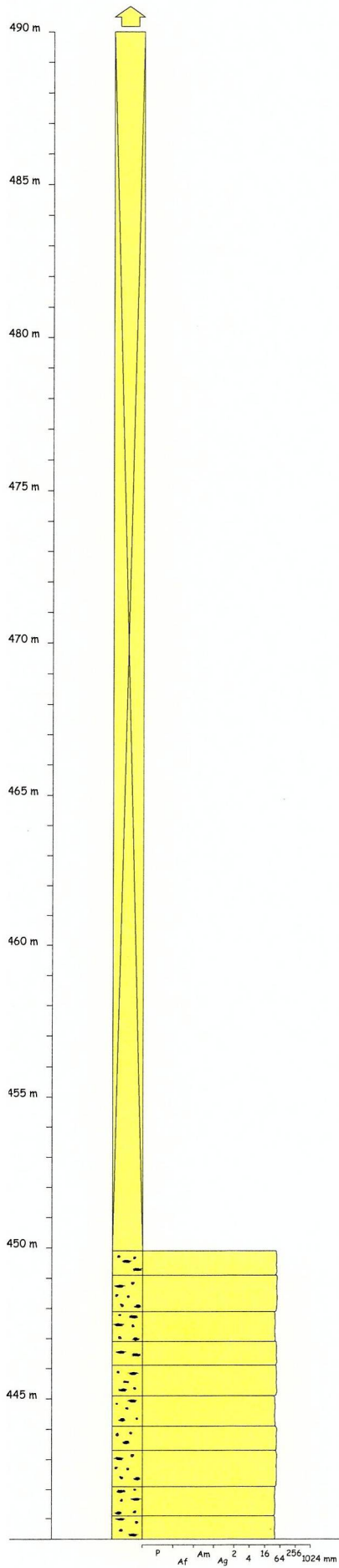
Perfil PCL 23 - Hoja 3

Perfil PCL 23



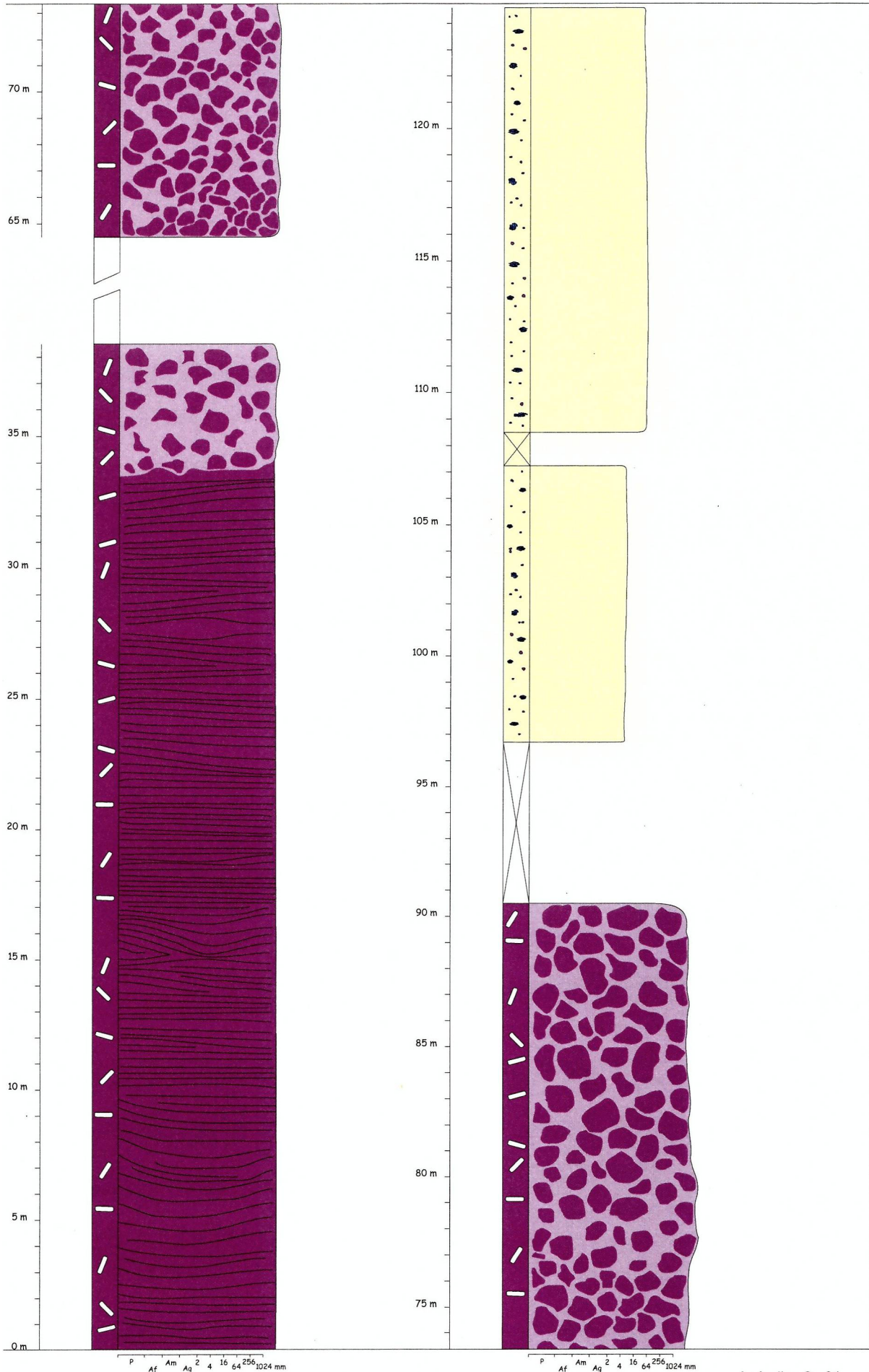
Perfil PCL 23 - Hoja 4

Perfil PCL 23



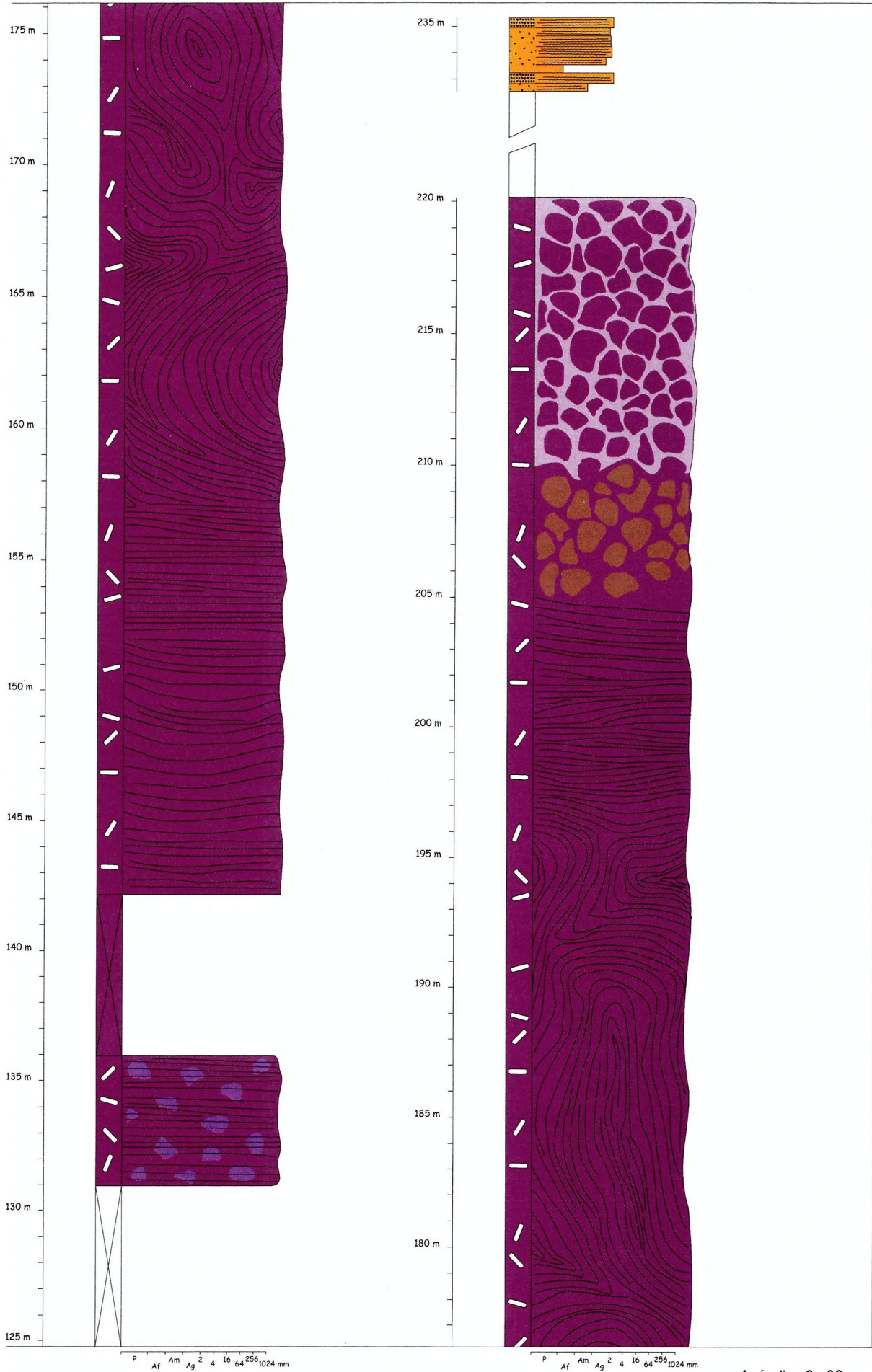
Perfil PCL 23 - Hoja 5

Perfil PPC 4



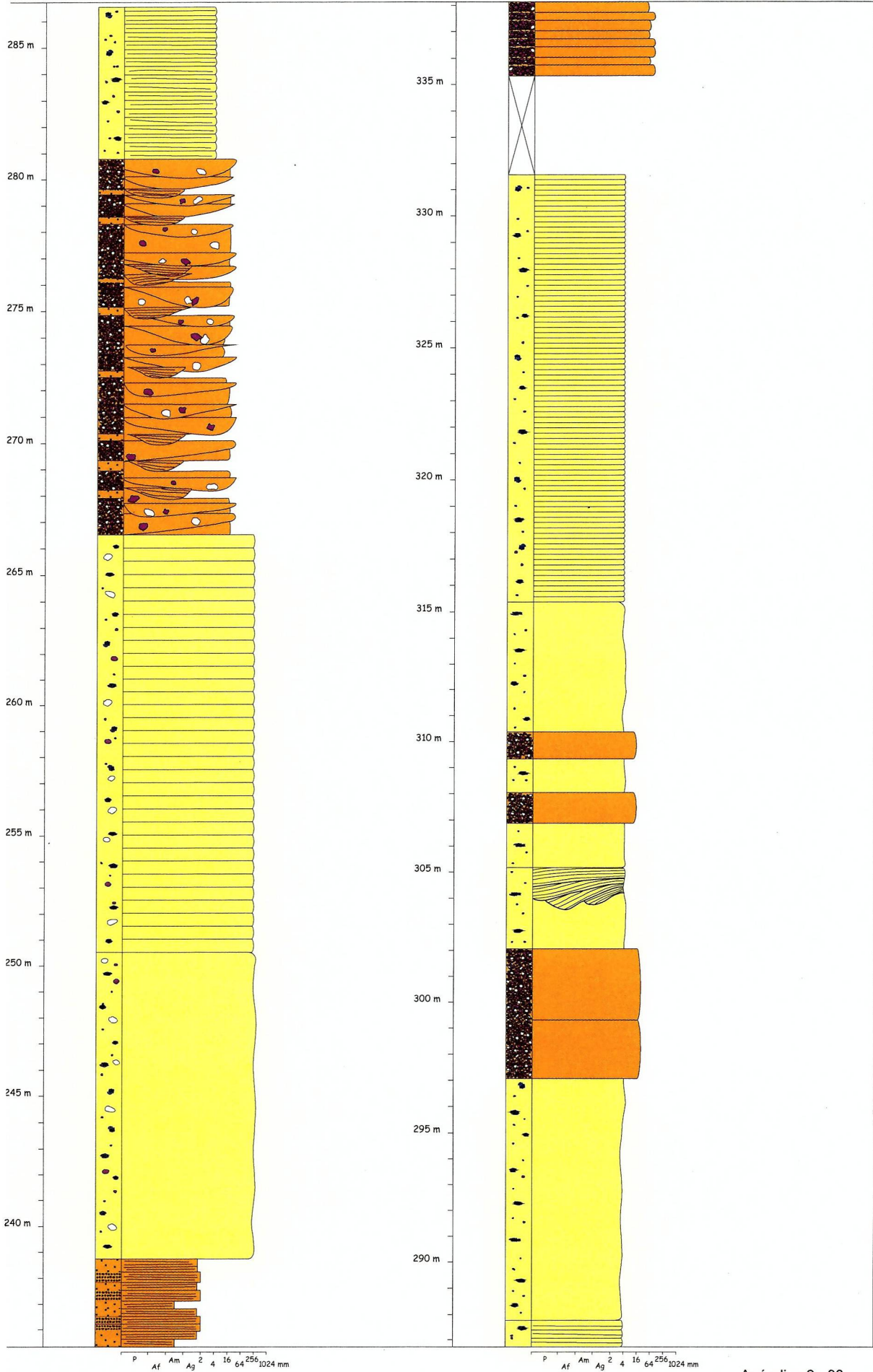
Perfil PPC 4 - Hoja 1

Perfil PPC 4



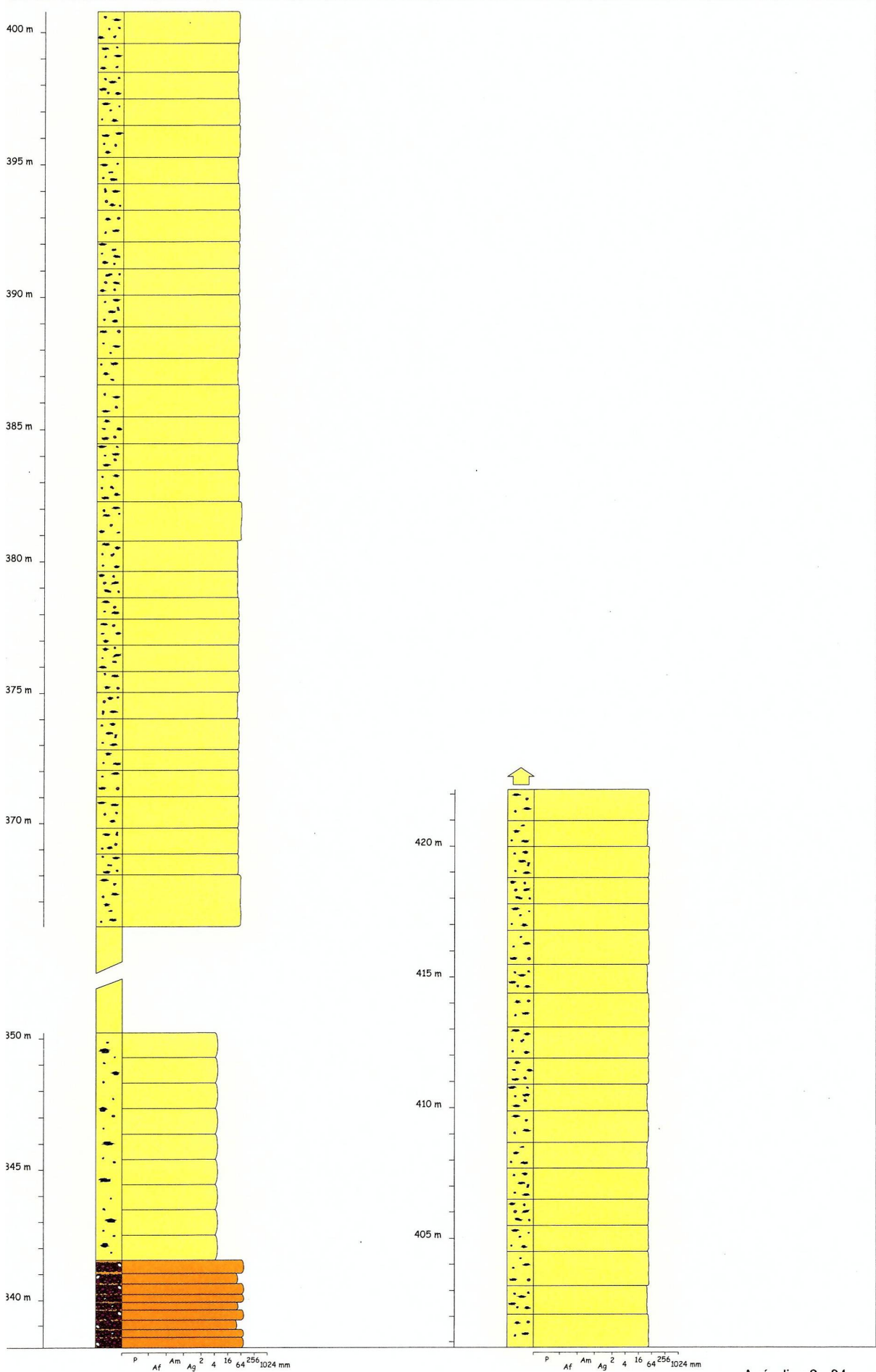
Perfil PPC 4 - Hoja 2

Perfil PPC 4



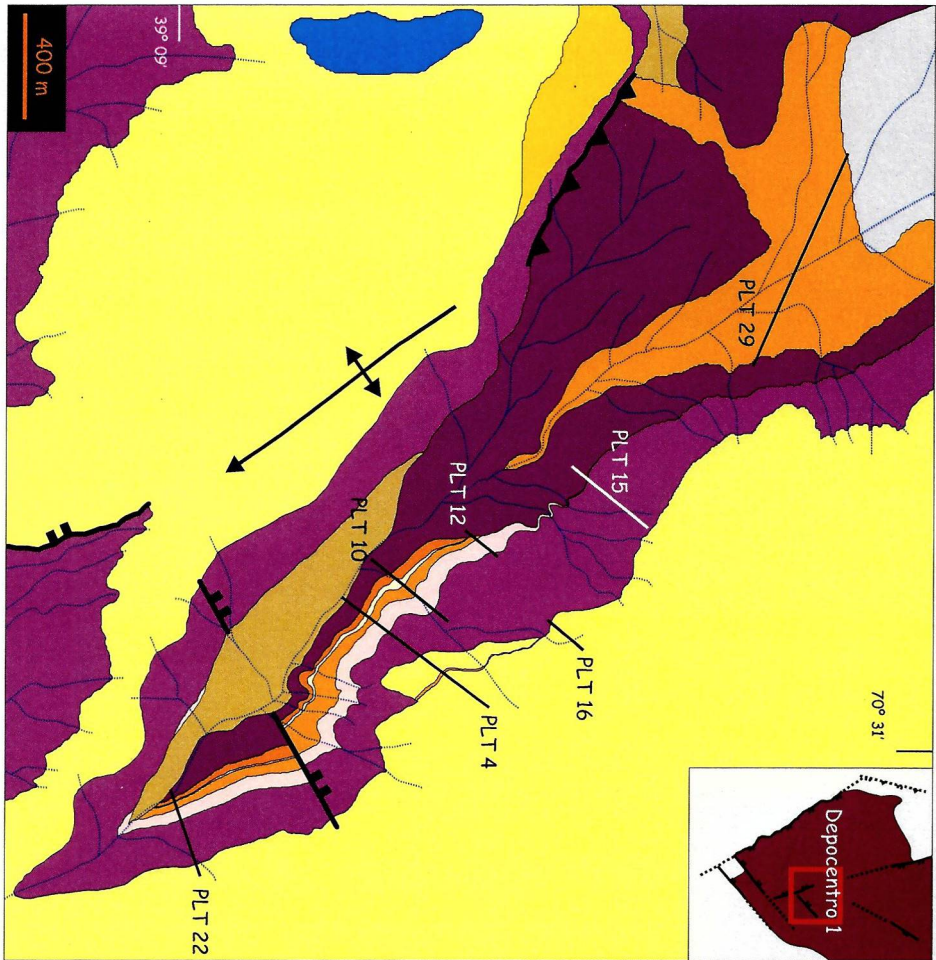
Perfil PPC 4 - Hoja 3

Perfil PPC 4



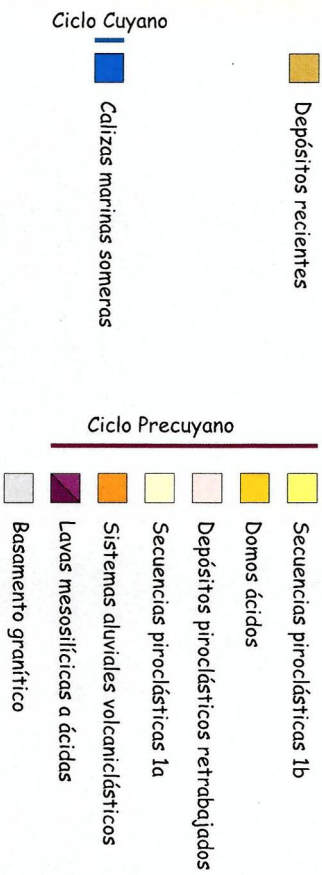
Perfil PPC 4 - Hoja 4

Perfiles litológicos - Localidad PLT

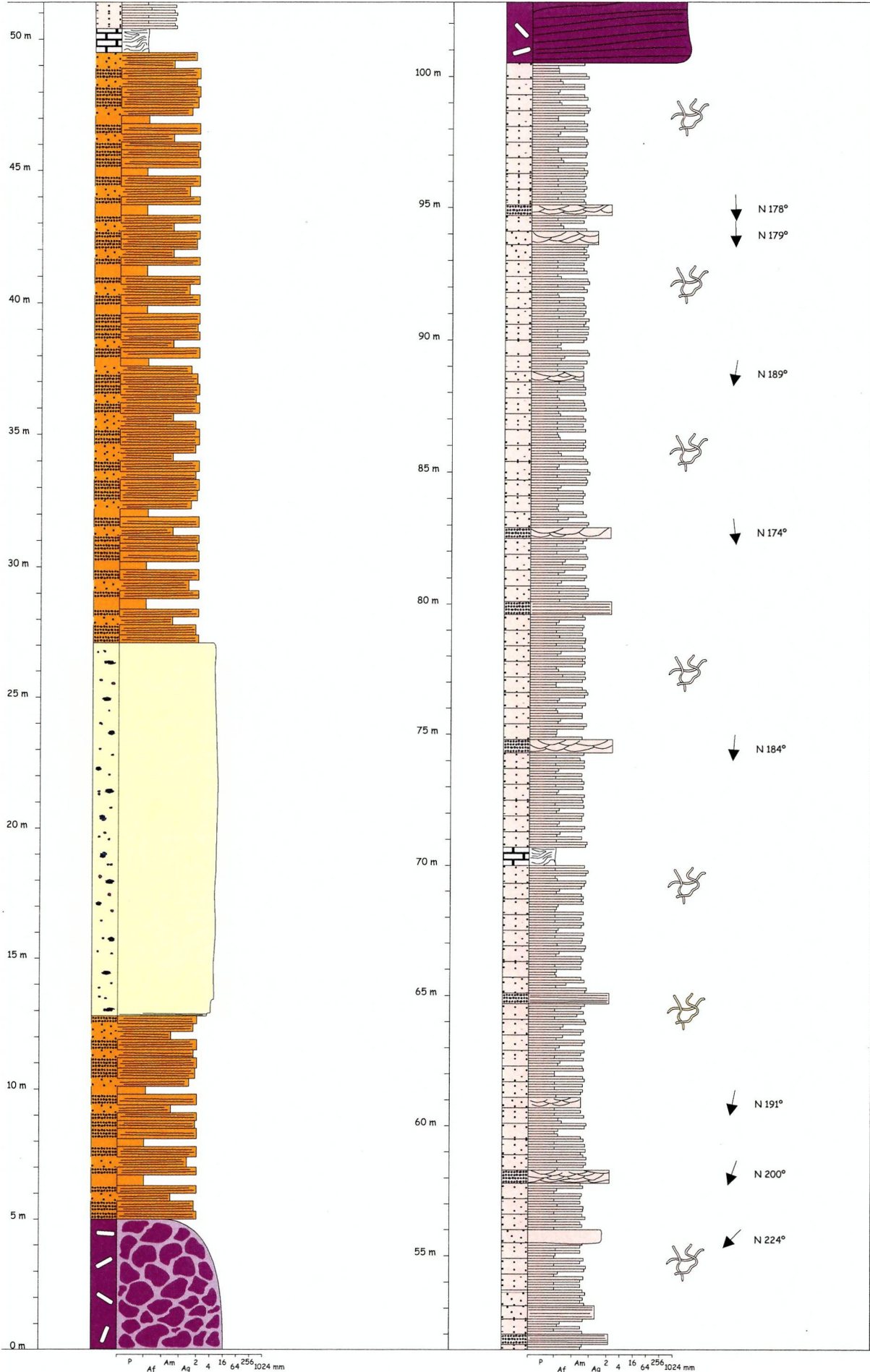


Perfiles litológicos de detalle levantados en la localidad PLT:

- PLT 4: S 39° 8' 35,3"; O 70° 31' 19,2"
- PLT 10: S 39° 8' 26"; O 70° 31' 32,2"
- PLT 12: S 39° 8' 19,1"; O 70° 31' 29,8"
- PLT 15: S 39° 8' 5,3"; O 70° 31' 41,8"
- PLT 16: S 39° 7' 59,2"; O 70° 31' 39,8"
- PLT 22: S 39° 8' 56,4"; O 70° 30' 52,4"
- PLT 29: S 39° 7' 51,5"; O 70° 32' 16,5"

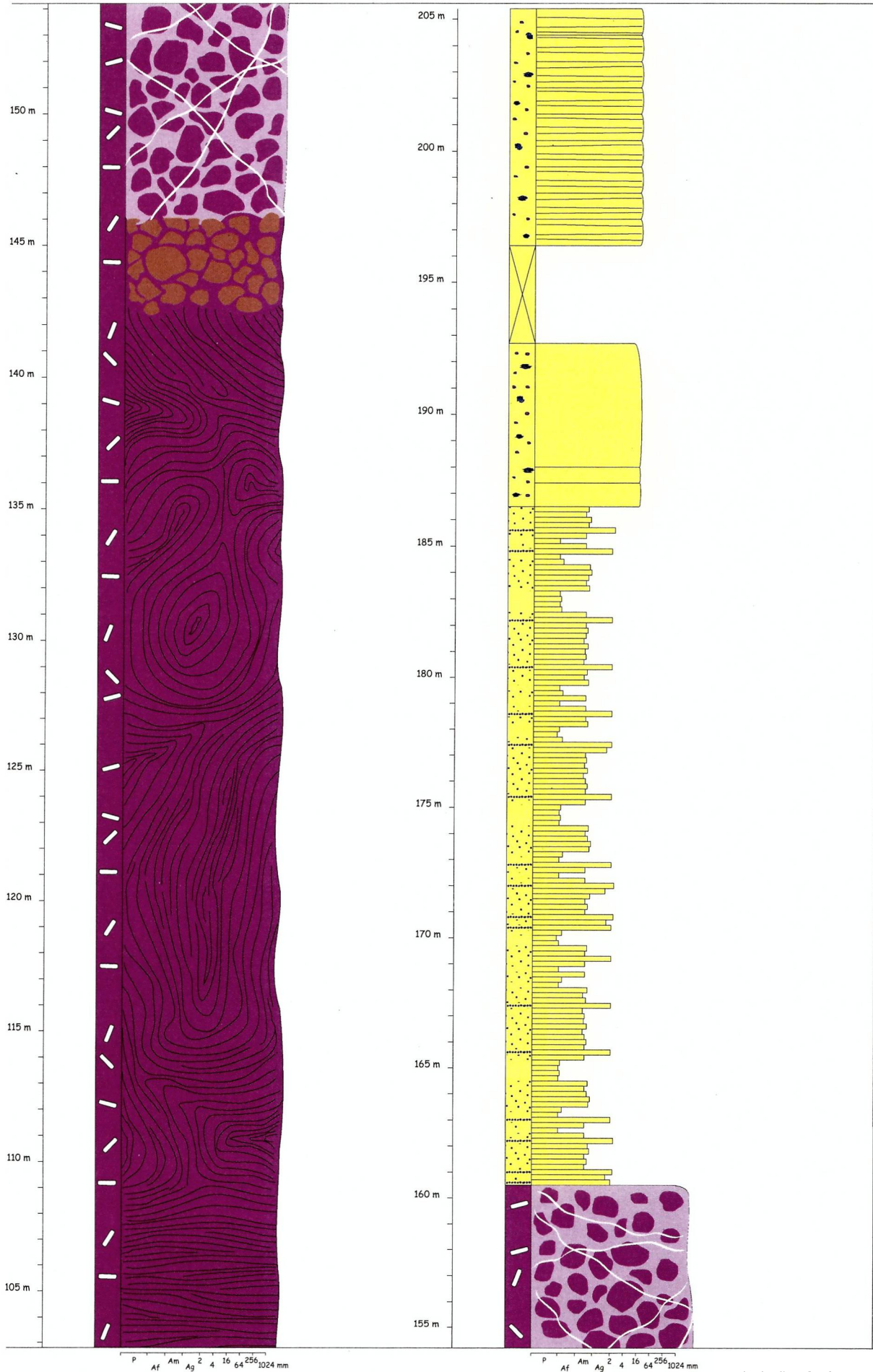


Perfil PLT 4



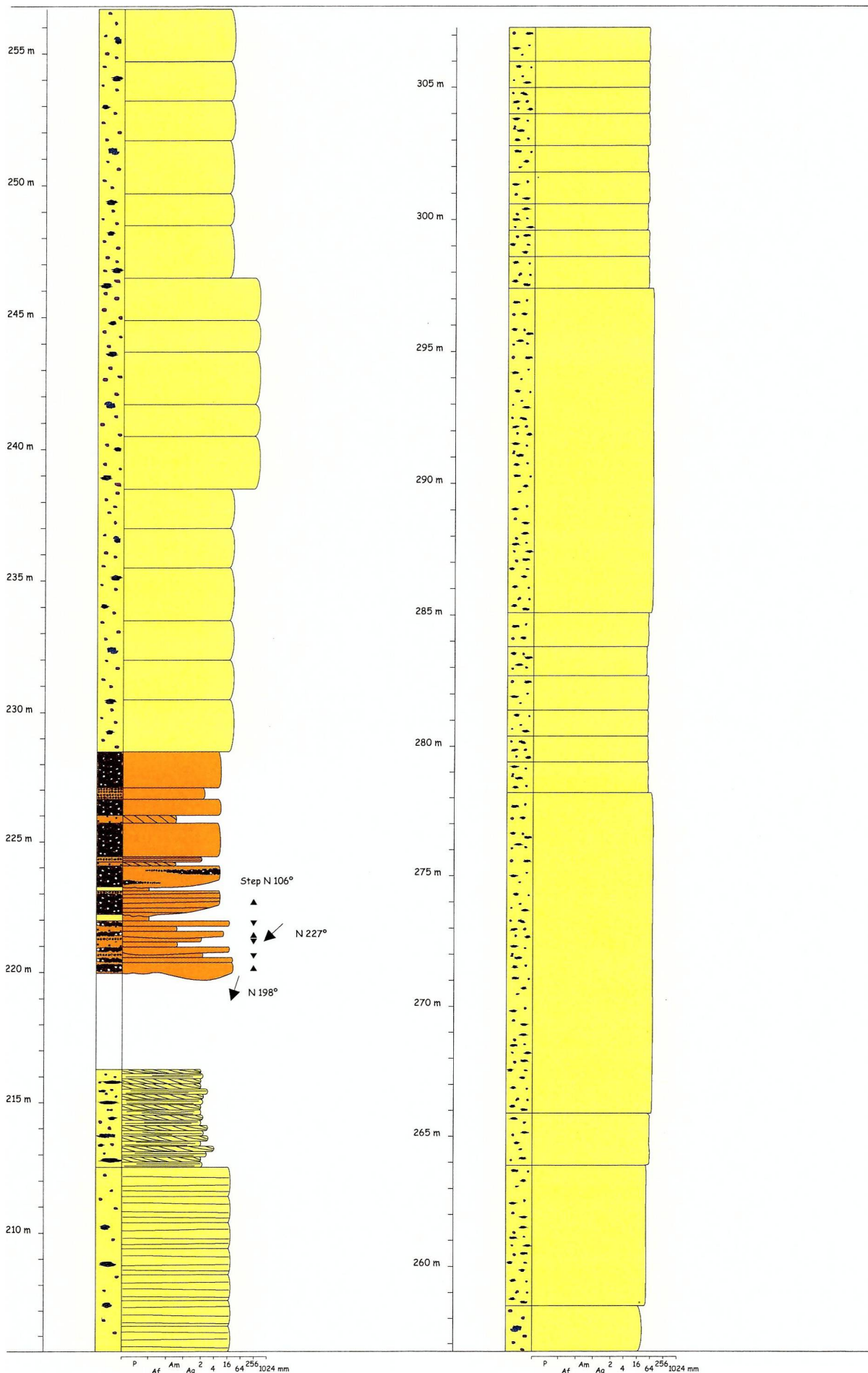
Perfil PLT 4 - Hoja 1

Perfil PLT 4



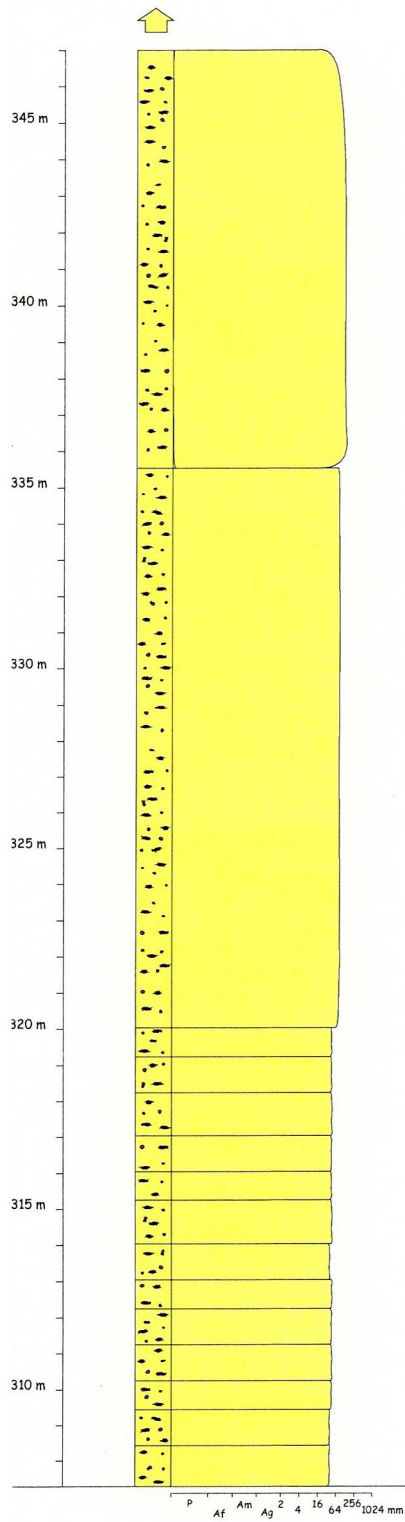
Perfil PLT 4 - Hoja 2

Perfil PLT 4



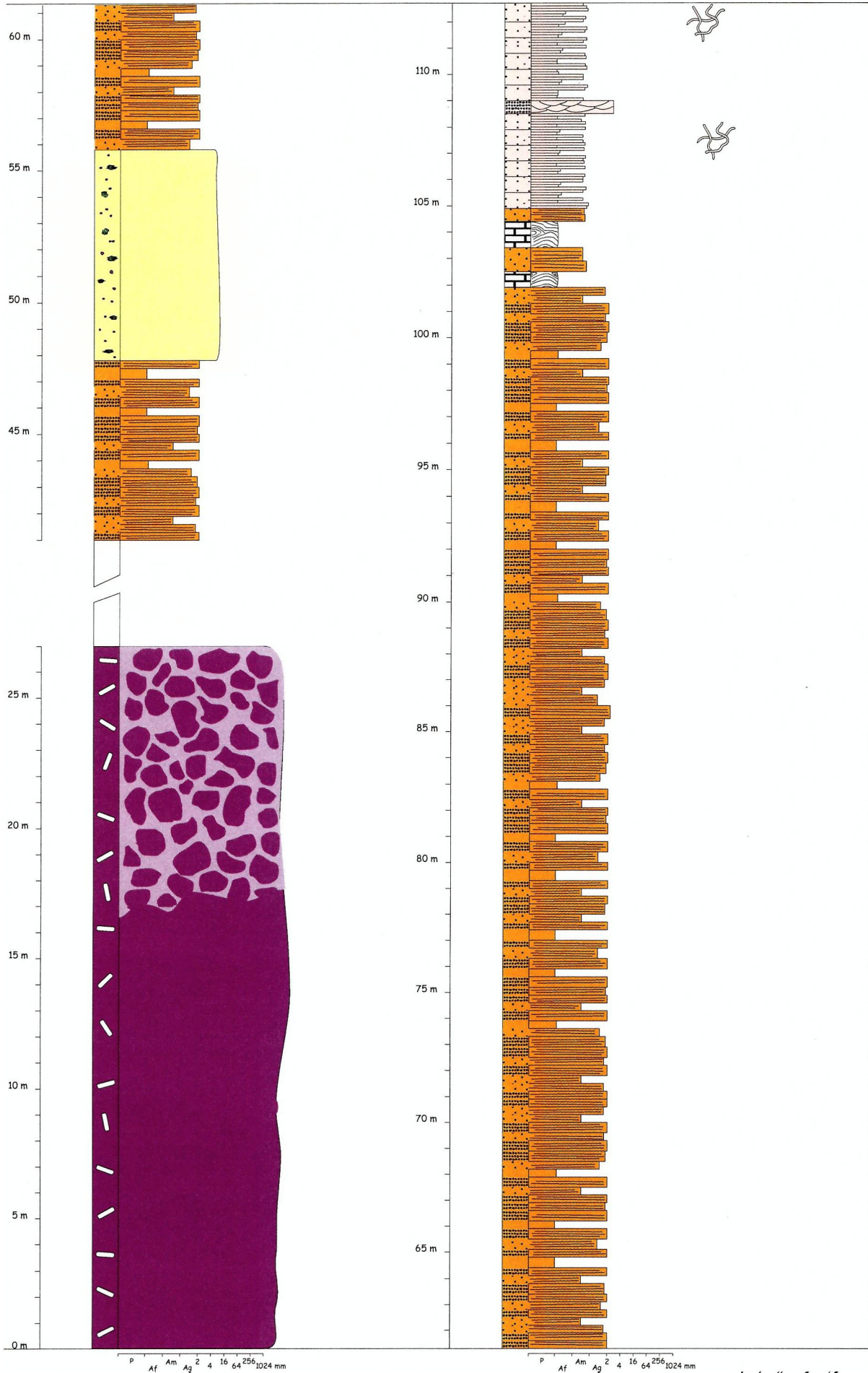
Perfil PLT 4 - Hoja 3

Perfil PLT 4



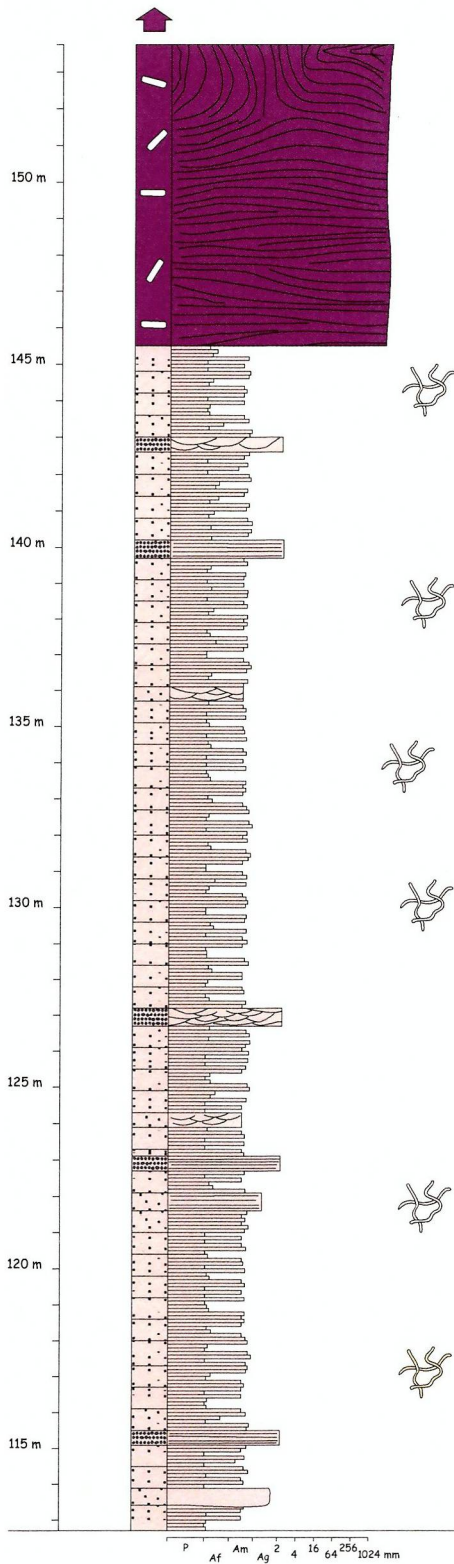
Perfil PLT 4 - Hoja 4

Perfil PLT 10



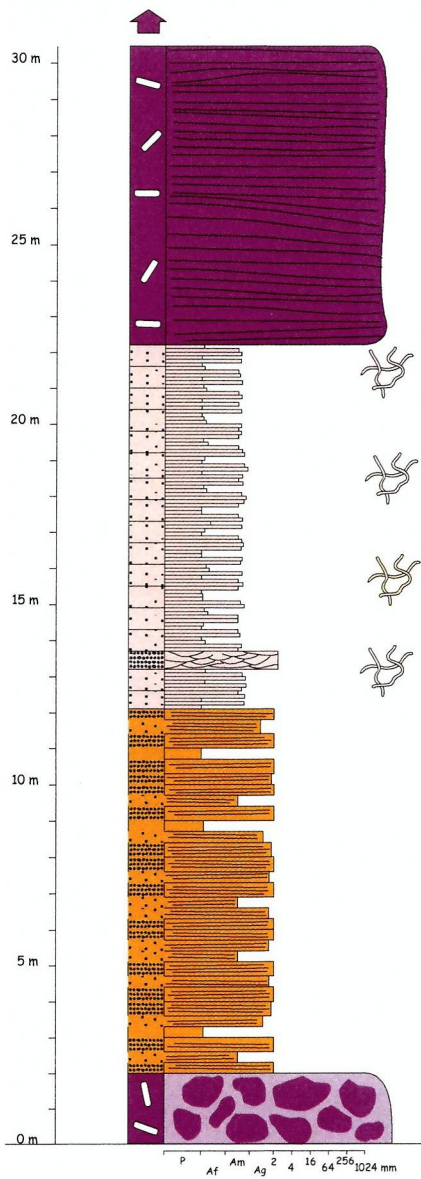
Perfil PLT 10 - Hoja 1

Perfil PLT 10



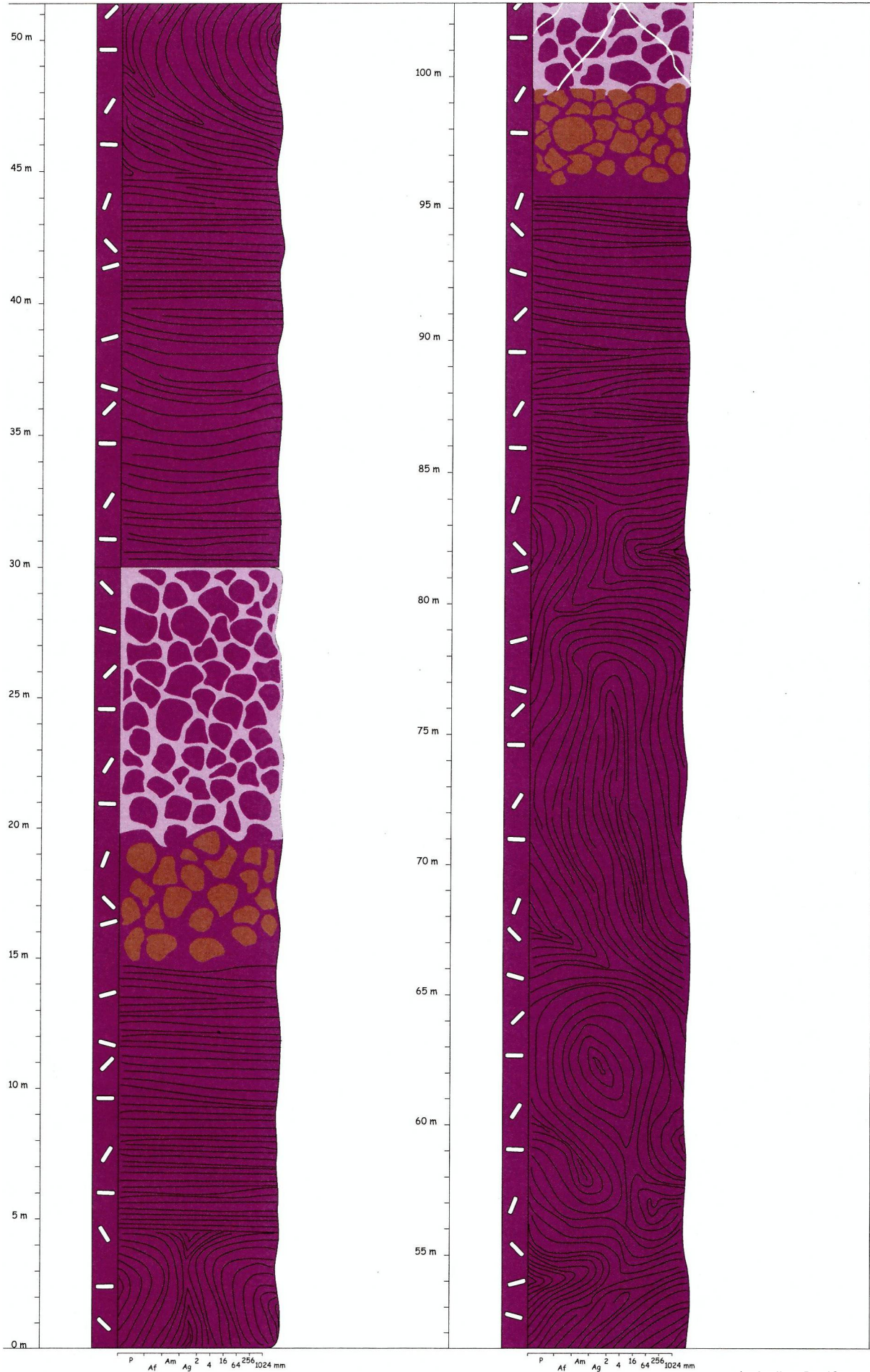
Perfil PLT 10 - Hoja 2

Perfil PLT 12



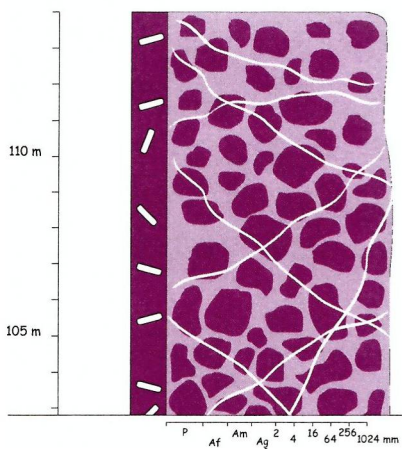
Perfil PLT 12

Perfil PLT 15



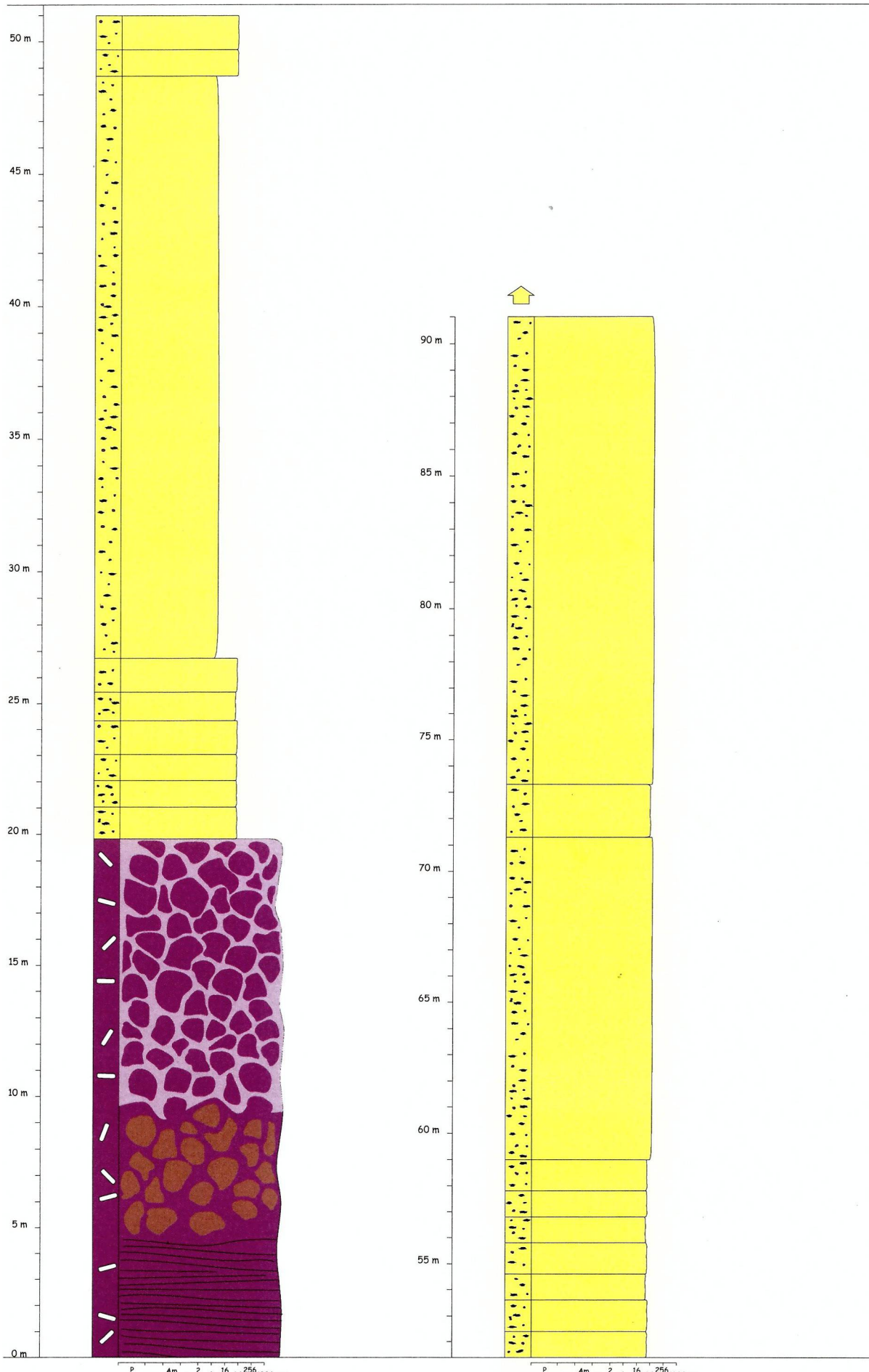
Perfil PLT 15 - Hoja 1

Perfil PLT 15



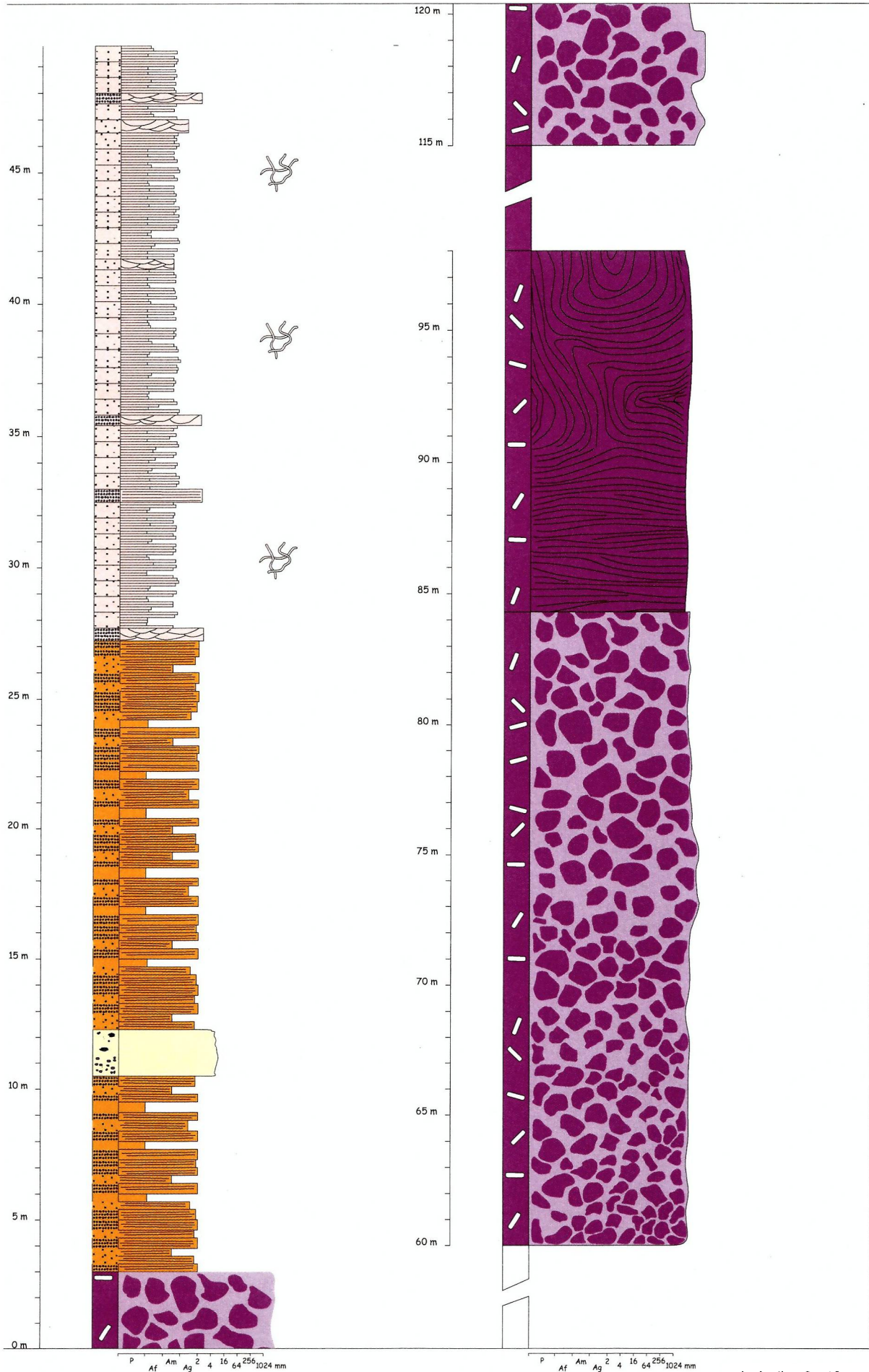
Perfil PLT 15 - Hoja 2

Perfil PLT 16



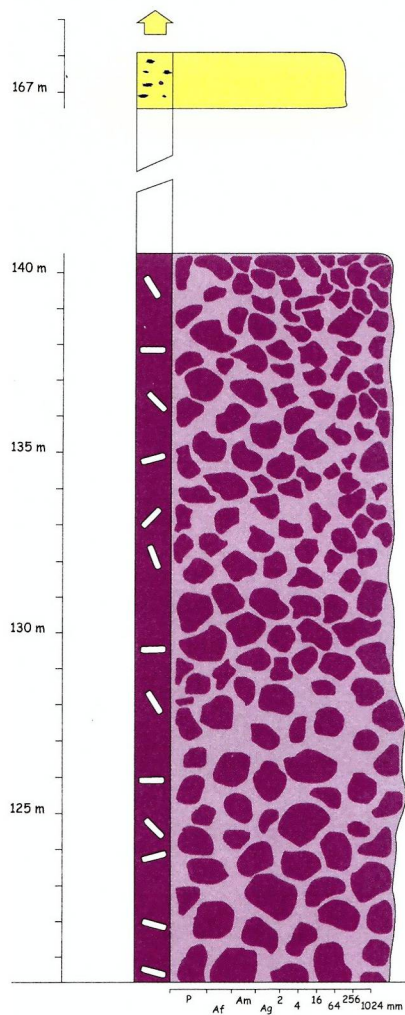
Perfil PLT 16

Perfil PLT 22



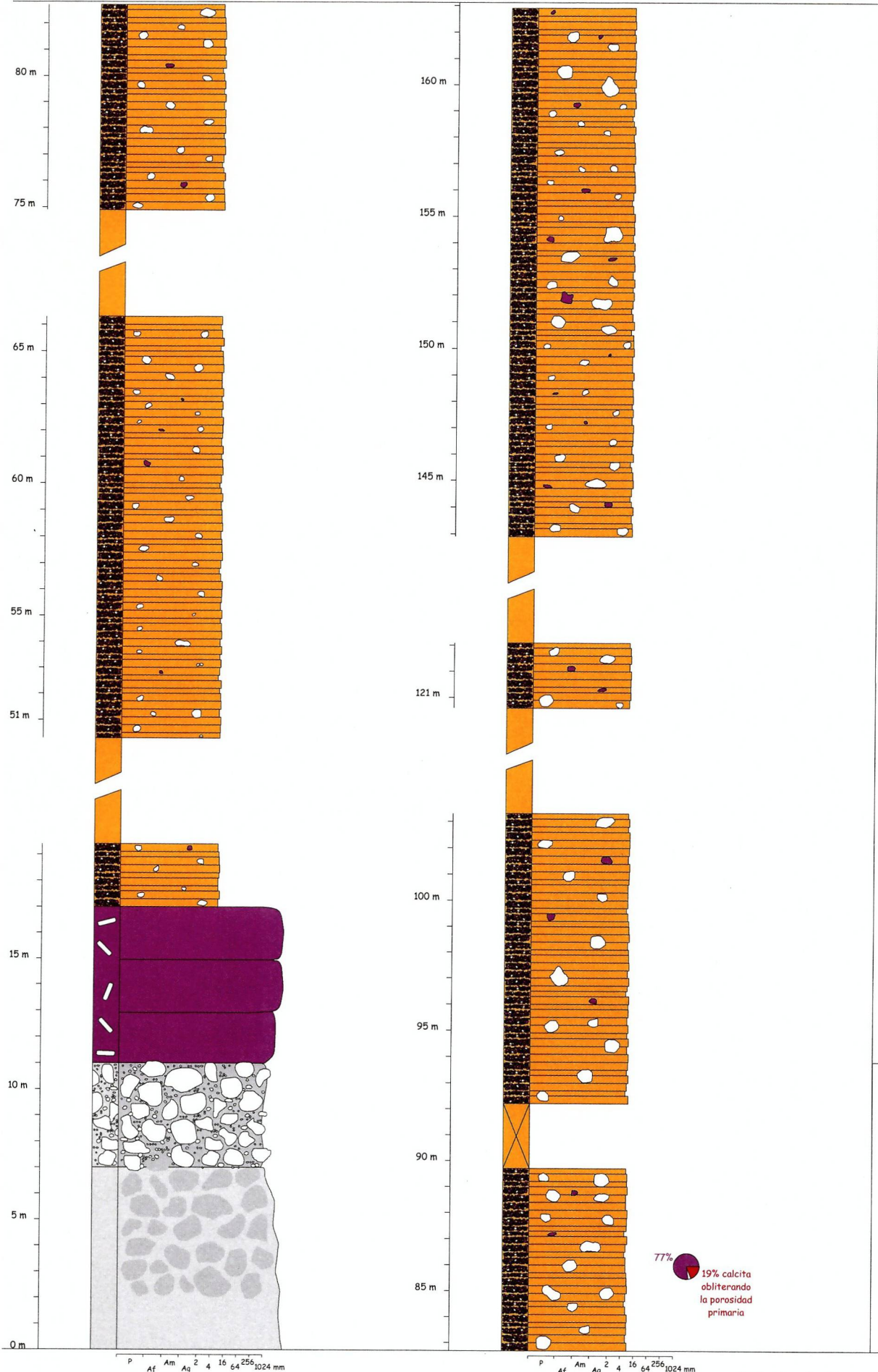
Perfil PLT 22 - Hoja 1

Perfil PLT 22



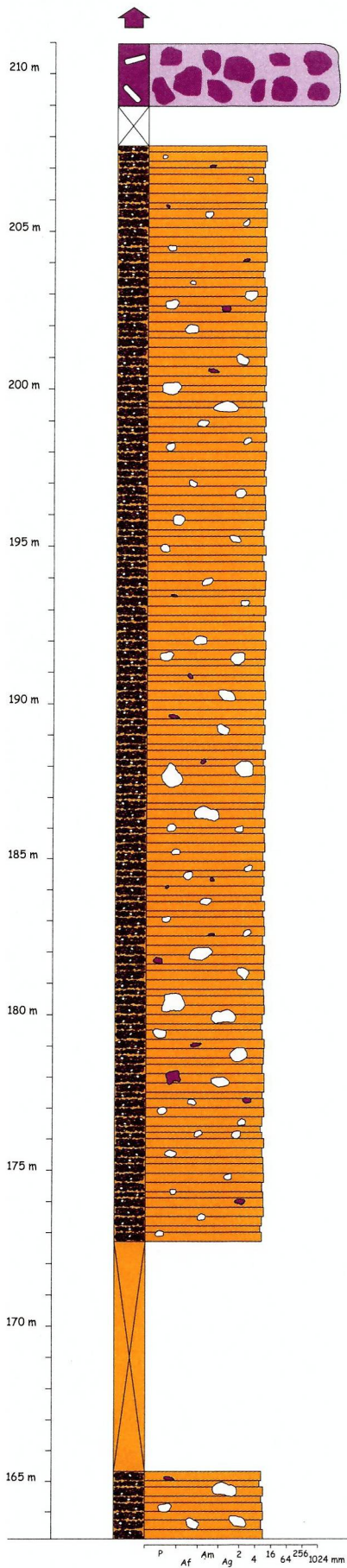
Perfil PLT 22 - Hoja 2

Perfil PLT 29



Perfil PLT 29 - Hoja 1

Perfil PLT 29

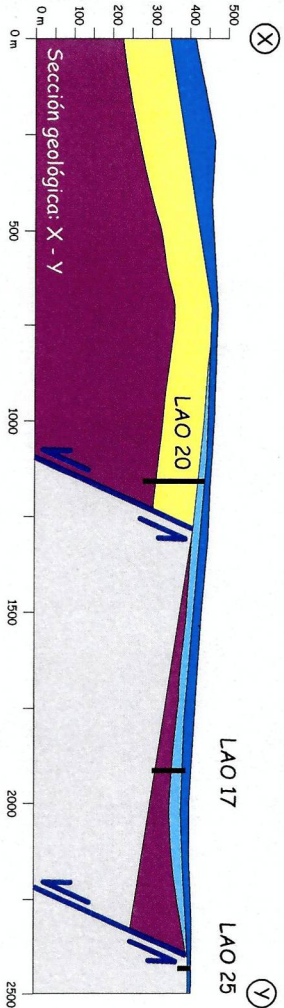
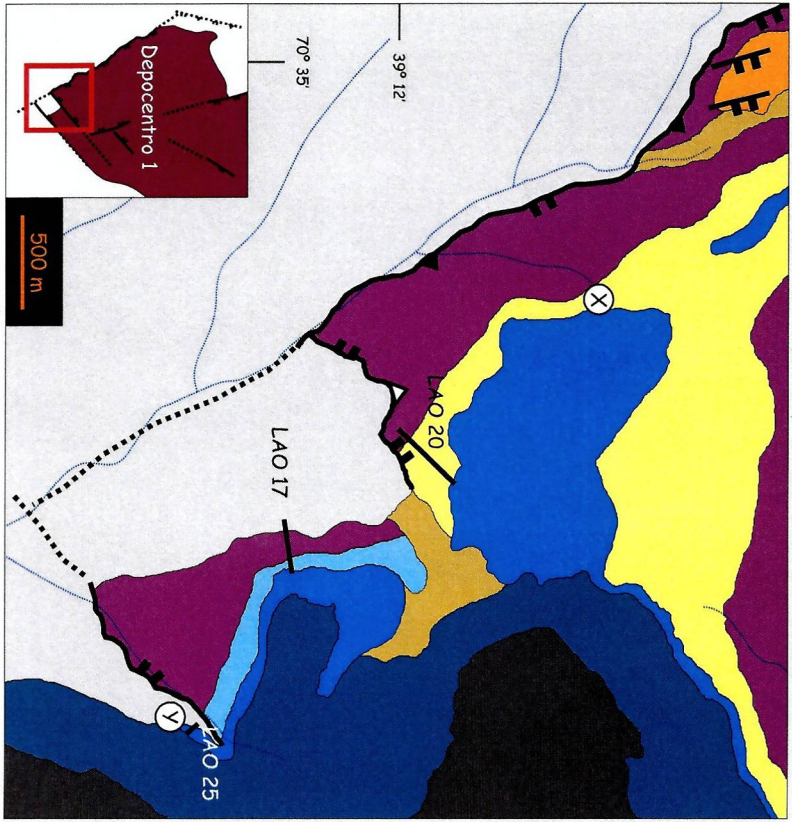



















Perfil PLT 29 - Hoja 2

Perfiles litológicos de detalle - Localidad LAO

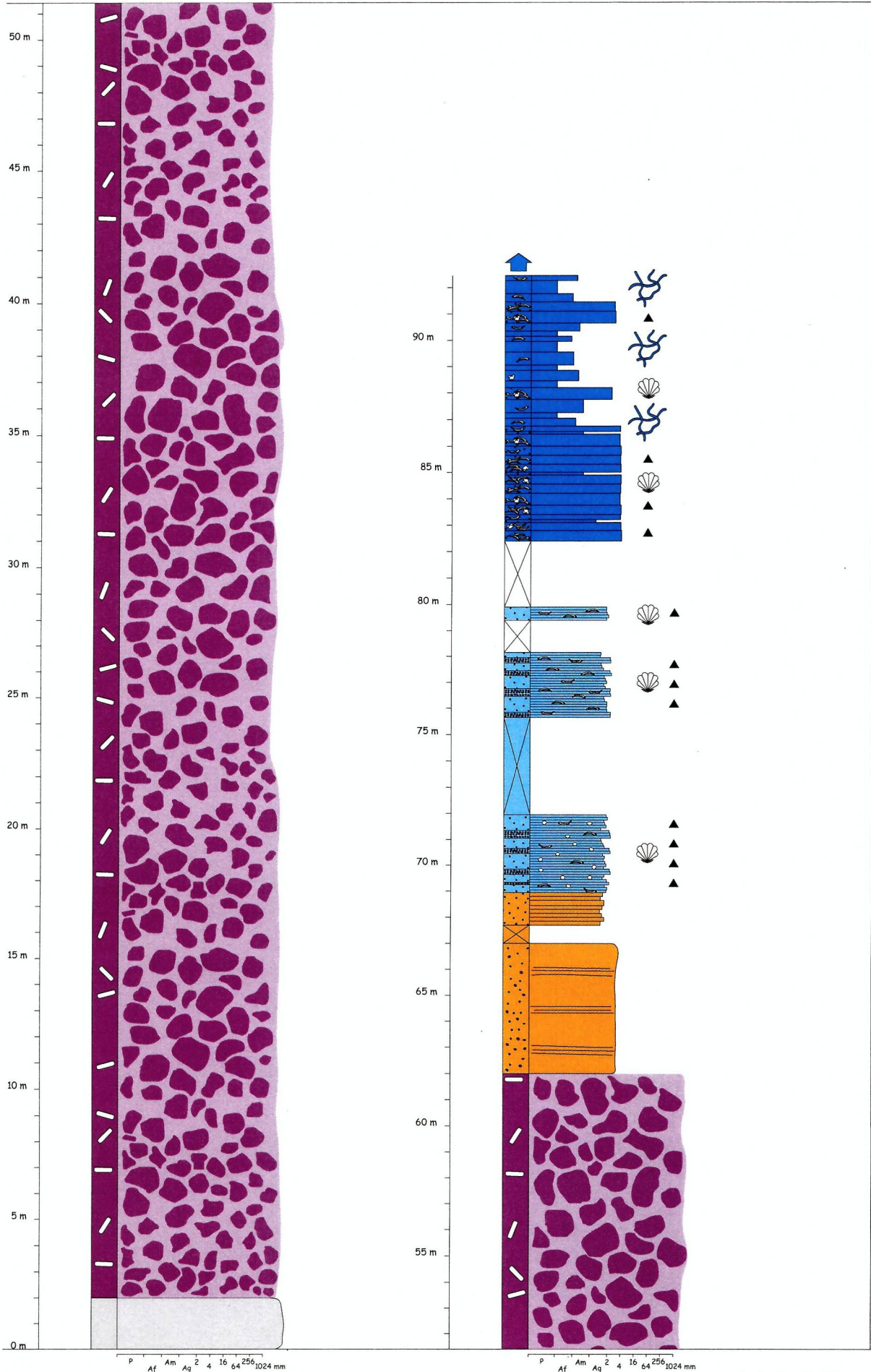
Perfiles litológicos de detalle levantados en la localidad LAO:

- LAO 17: S 39° 12' 21.3"; O 70° 33' 11.2"
- LAO 20: S 39° 11' 51"; O 70° 33' 36.5"
- LAO 25: 39° 12' 38.1" O 70° 32' 41.2"



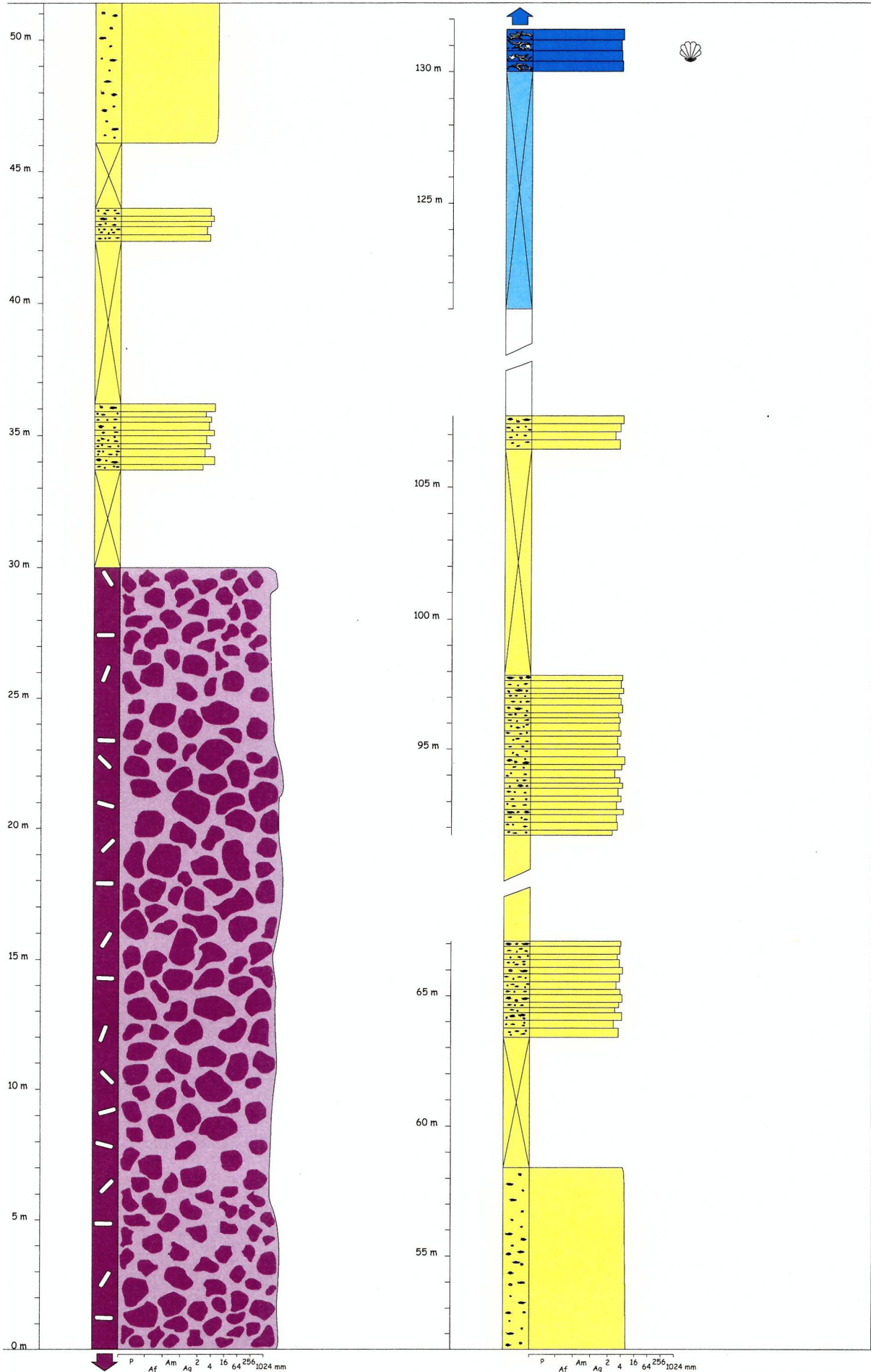
- | | |
|--|---|
|  Depósitos modernos |  Secuencias piroclásticas 1b |
|  Volcanismo cenozoico |  Sistemas aluviales volcanoclásticos |
|  Sistemas de costa afuera |  Lavas mesosilíceas a ácidas |
|  Calizas marinas someras |  Basamento granítico |
|  Sistemas silicoclásticos someros | |
-
- | | |
|---|---|
| Ciclo Cuyano | |
|  |  |
|  |  |
| Ciclo Precuyano | |
|  |  |
|  |  |

Perfil LAO 17



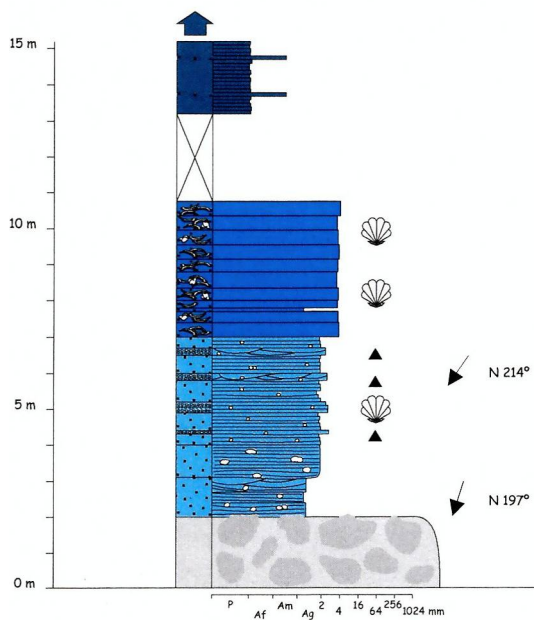
Perfil LAO 17

Perfil LAO 20



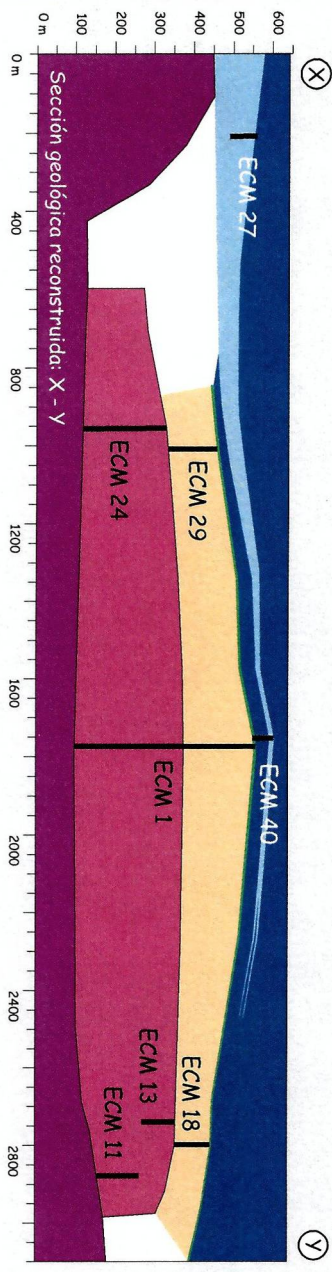
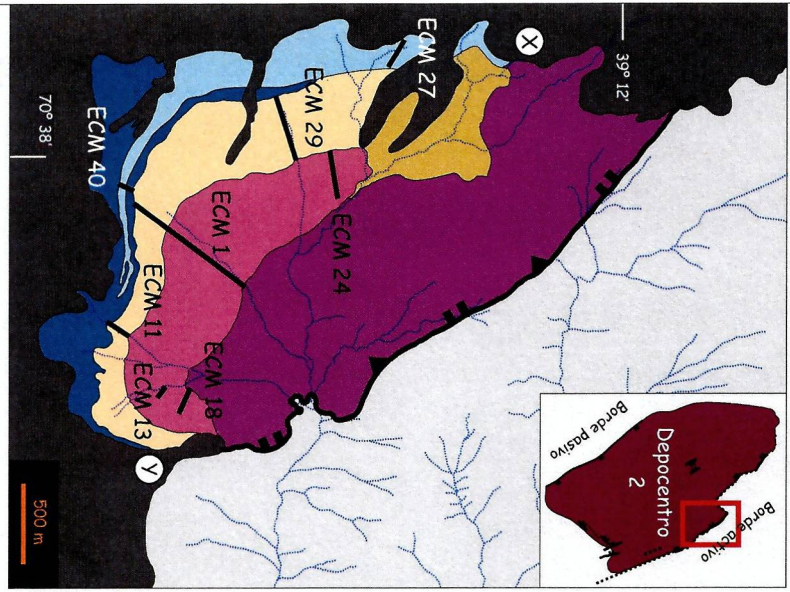
Perfil LAO 20

Perfil LAO 25



Perfil LAO 25

Perfiles litológicos de detalle - Localidad ECM



Perfiles litológicos de detalle levantados en la localidad ECM:

- ECM 1: S 39° 13' 14,5"; O 70° 37' 33,1"
- ECM 11: S 39° 13' 30"; O 70° 37' 1,6"
- ECM 13: S 39° 13' 34,6"; O 70° 37' 1,4"
- ECM 18: S 39° 13' 43,3"; O 70° 37' 6,7"
- ECM 24: S 39° 12' 47,3"; O 70° 38' 5,1"
- ECM 27: S 39° 12' 43,8"; O 70° 38' 36,7"
- ECM 29: S 39° 13' 1,1"; O 70° 38' 3,6"
- ECM 40: S 39° 13' 38,7"; O 70° 37' 44"

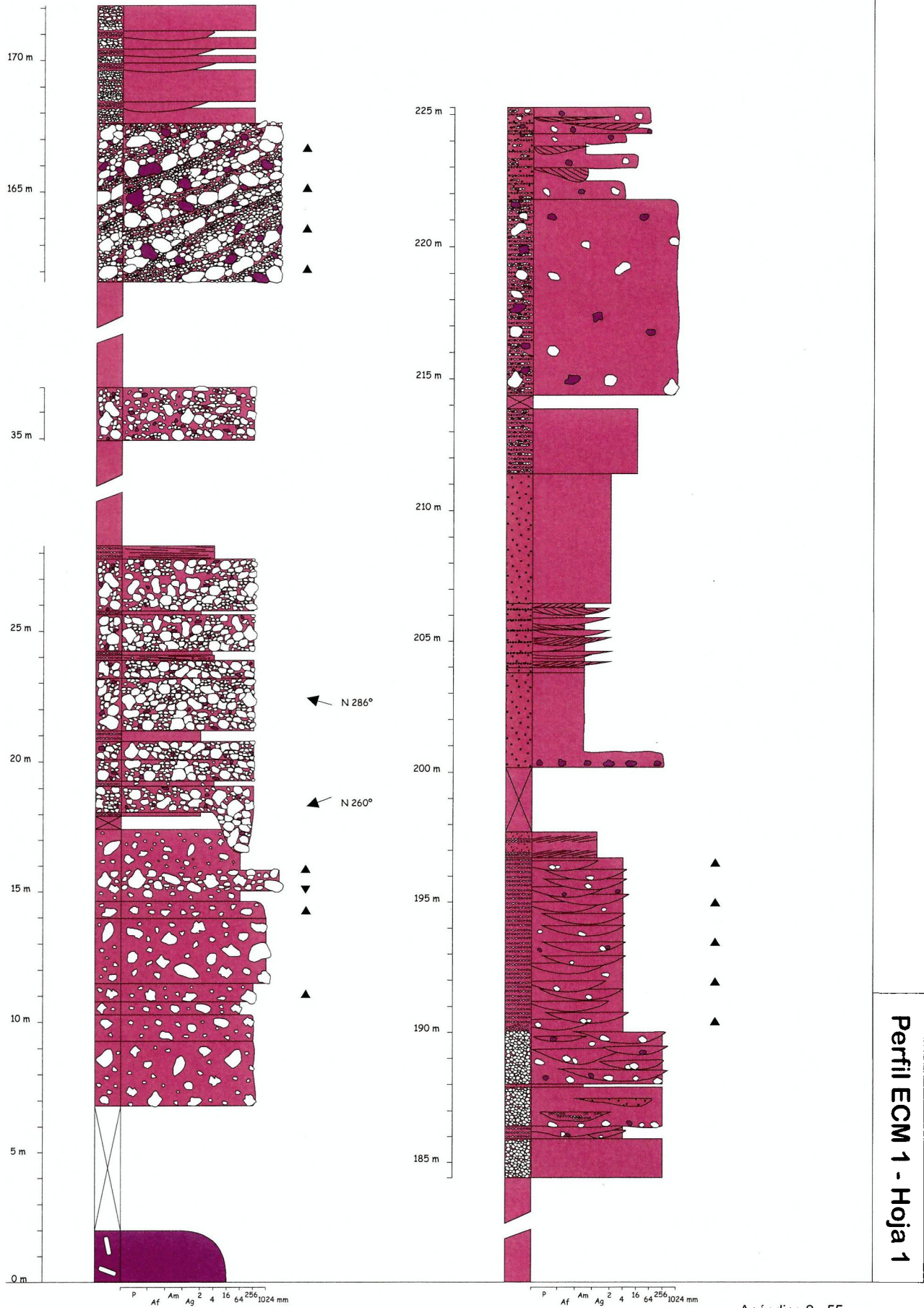
Ciclo Cuyano

- Depósitos recientes
- Volcanismo cenozoico
- SRMS
- Sistemas de costa afuera
- Sistemas deltaicos gravosos

Ciclo Precuyano

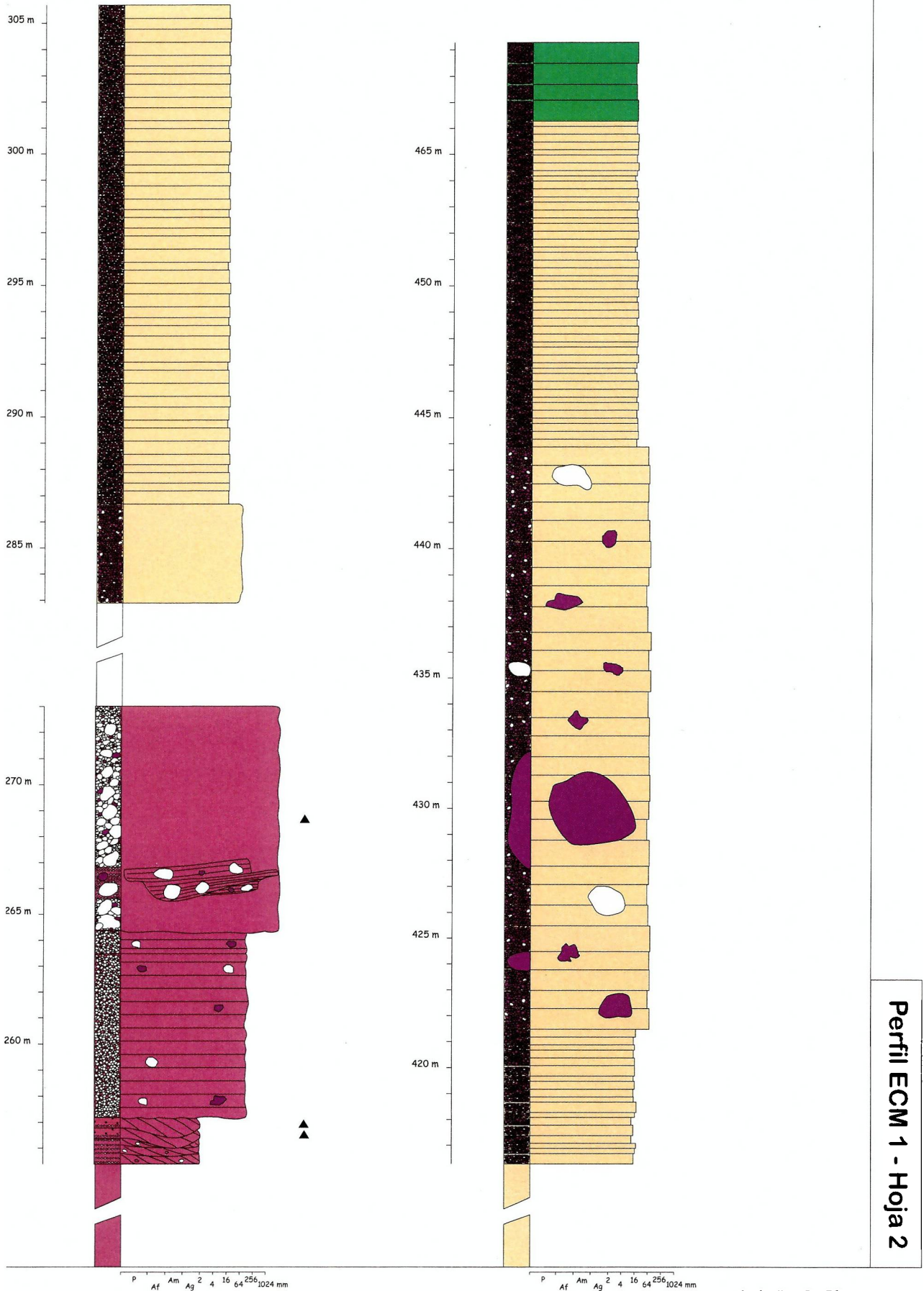
- Abanico aluvial (flujos hiperconcentrados)
- Abanico aluvial (flujos de detritos)
- Lavas mesosilíceas a ácidas
- Basamento granítico

Perfil ECM 1



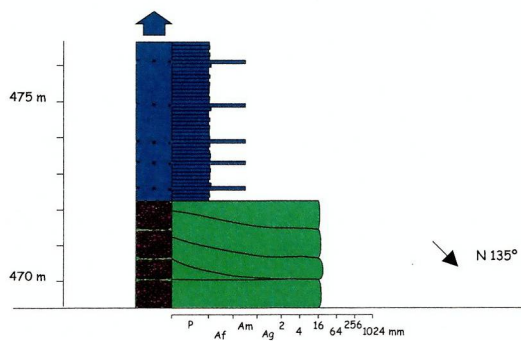
Perfil ECM 1 - Hoja 1

Perfil ECM 1



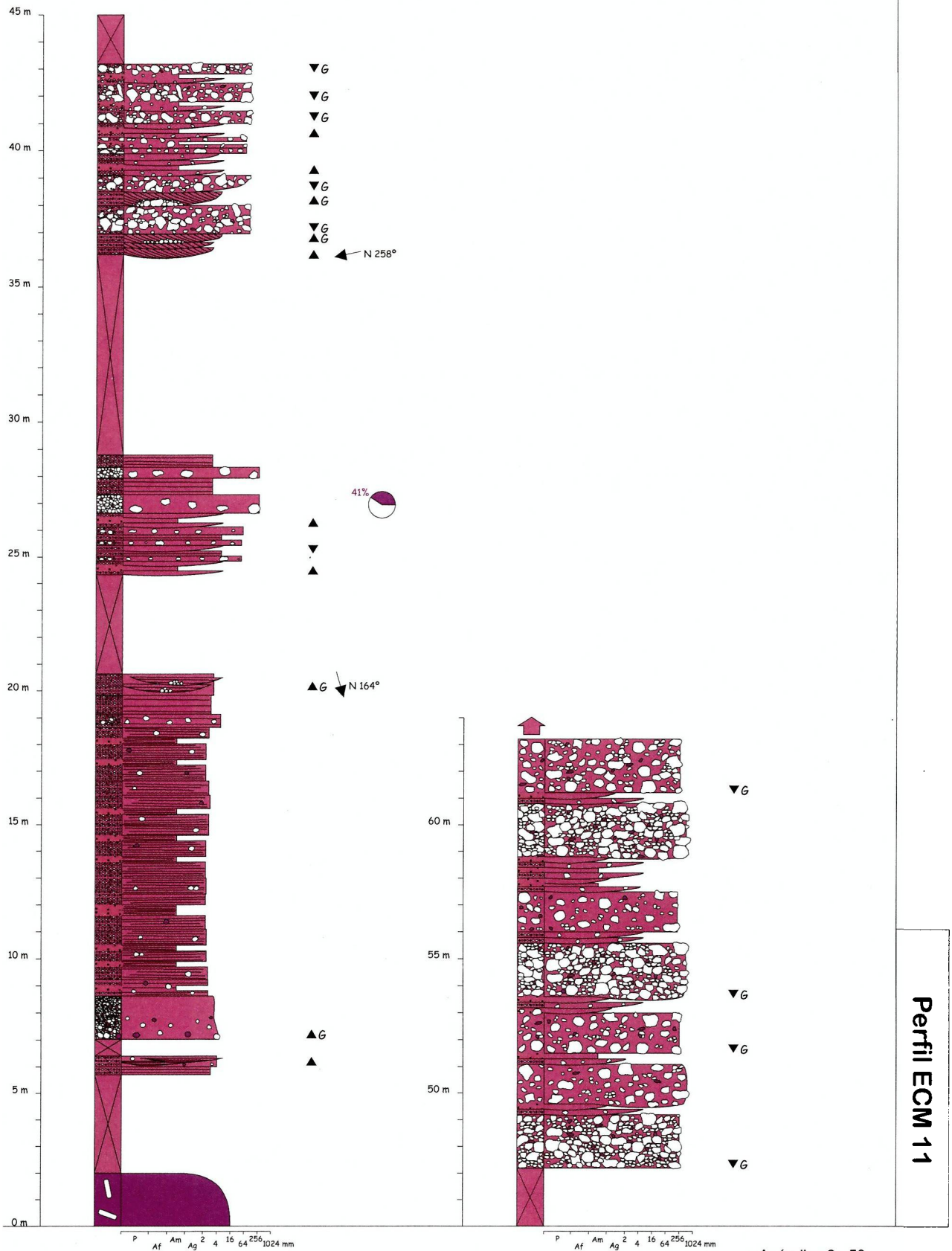
Perfil ECM 1 - Hoja 2

Perfil ECM 1



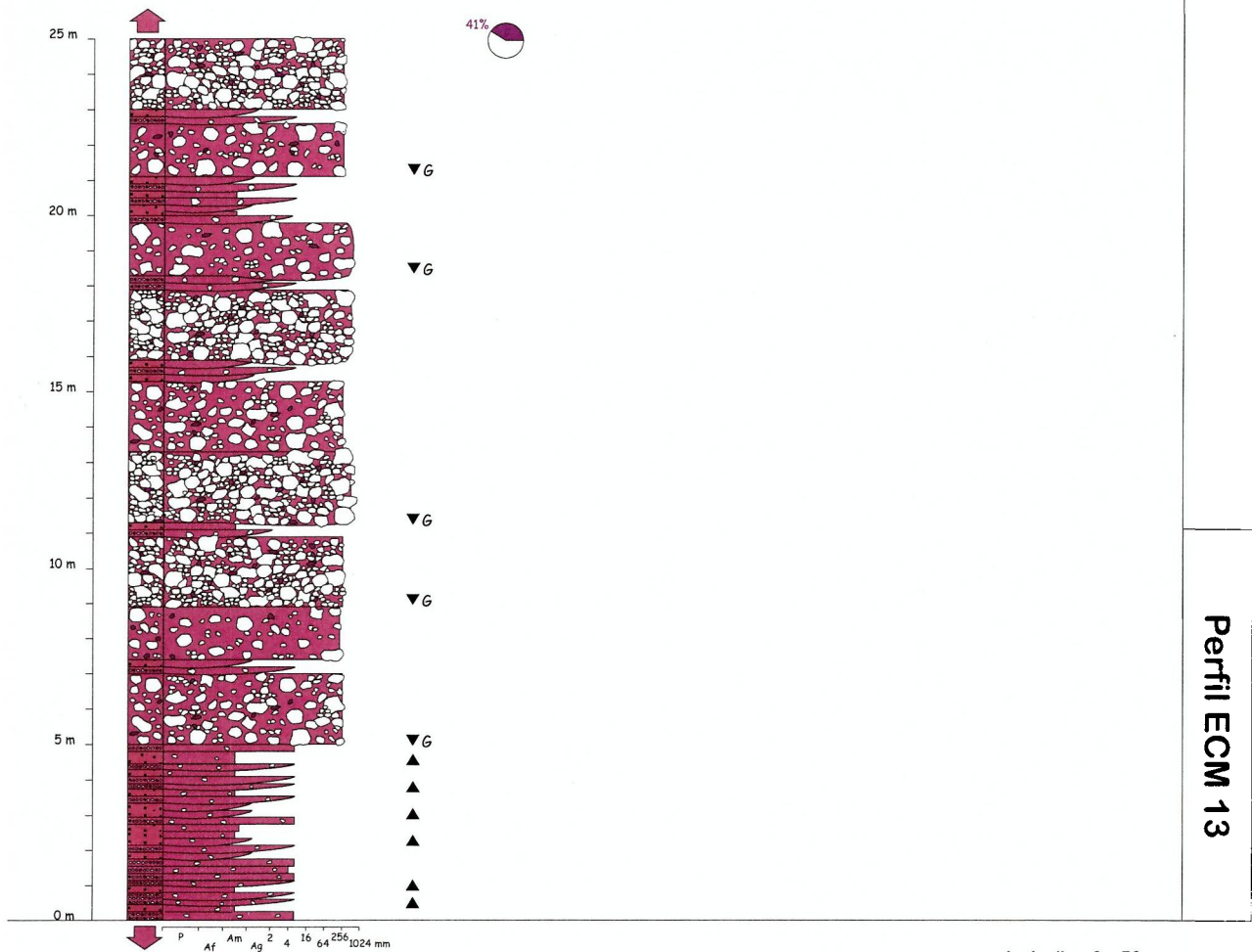
Perfil ECM 1 - Hoja 3

Perfil ECM 11

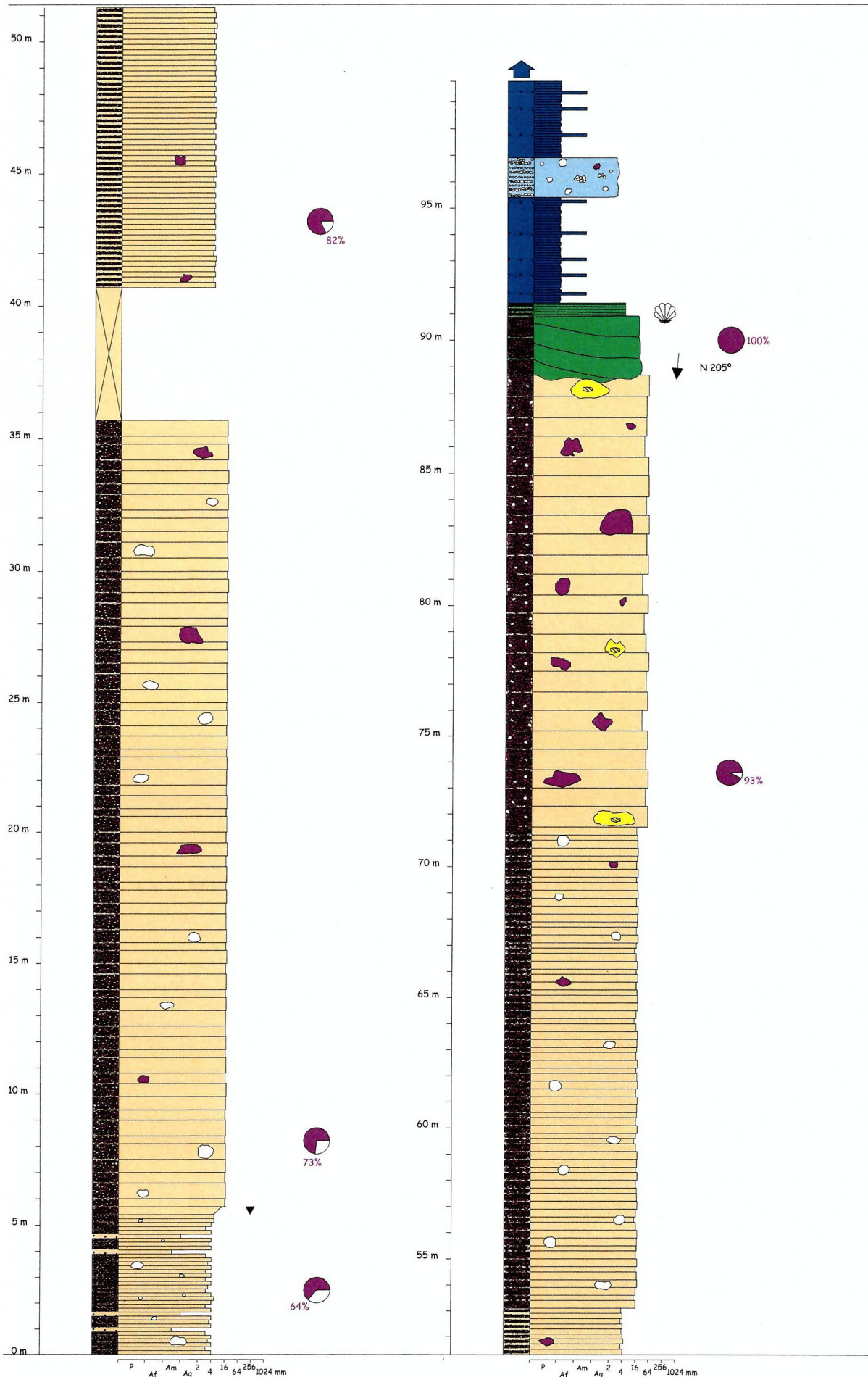


Perfil ECM 11

Perfil ECM 13

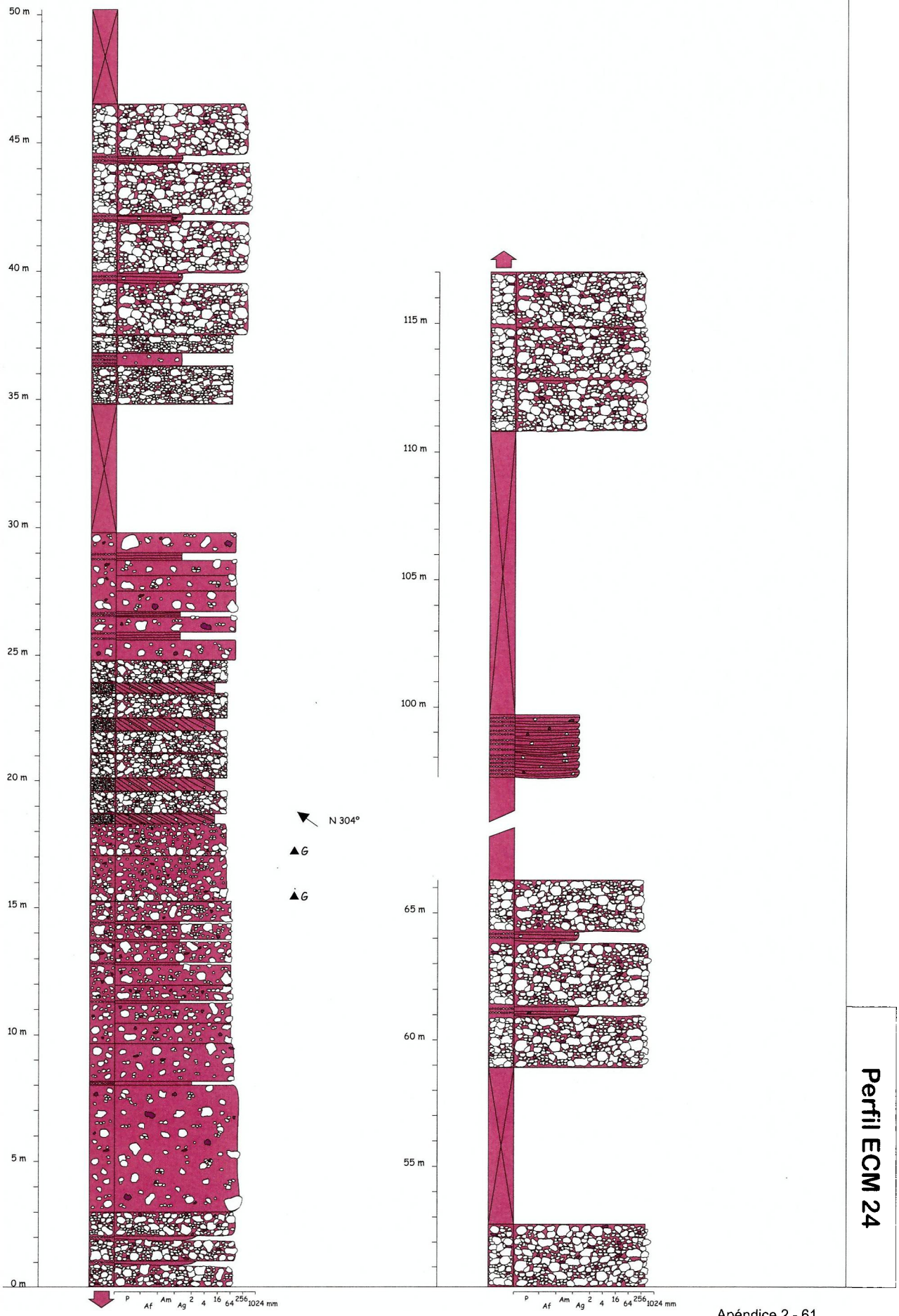


Perfil ECM 18



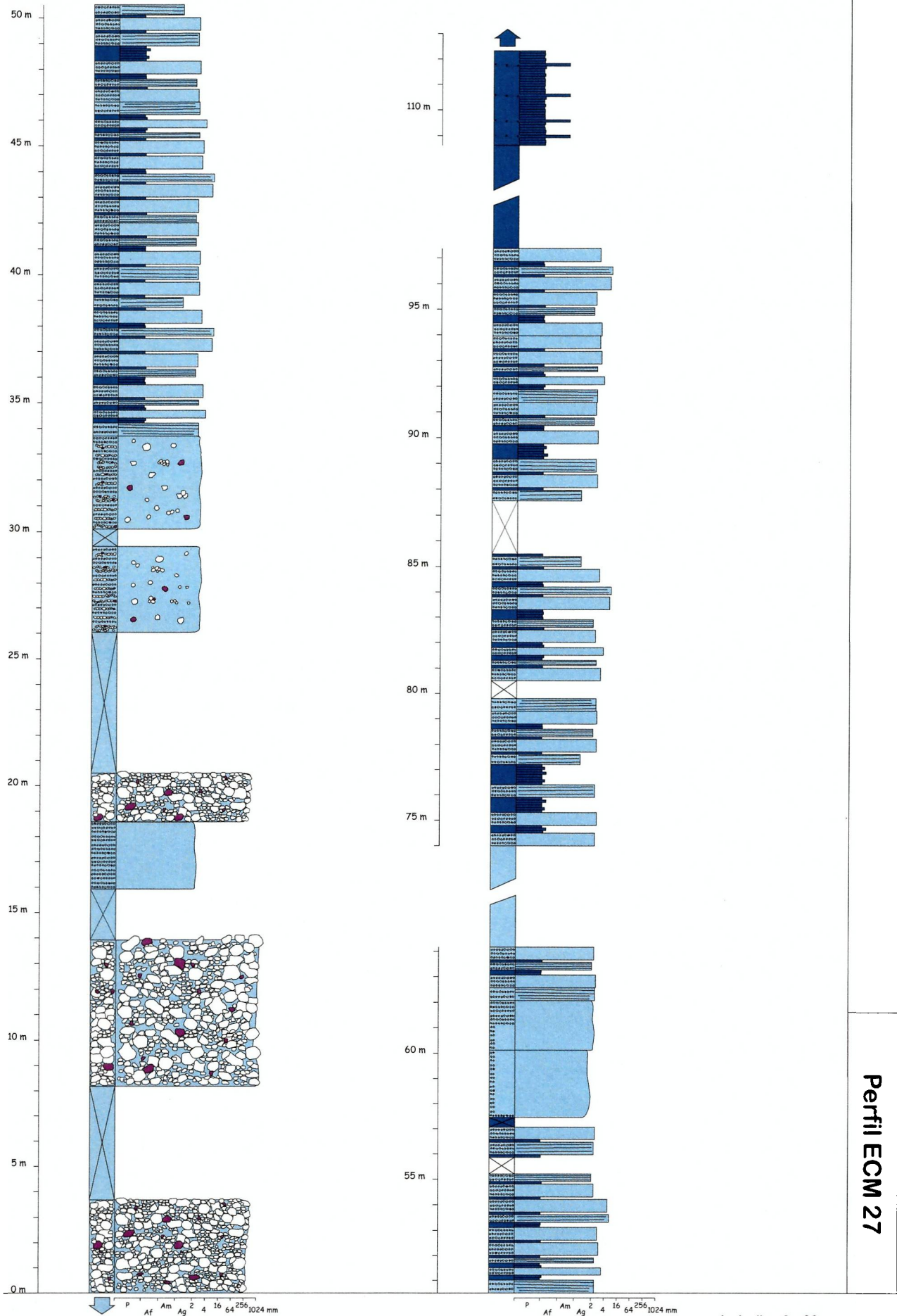
Perfil ECM 18

Perfil ECM 24



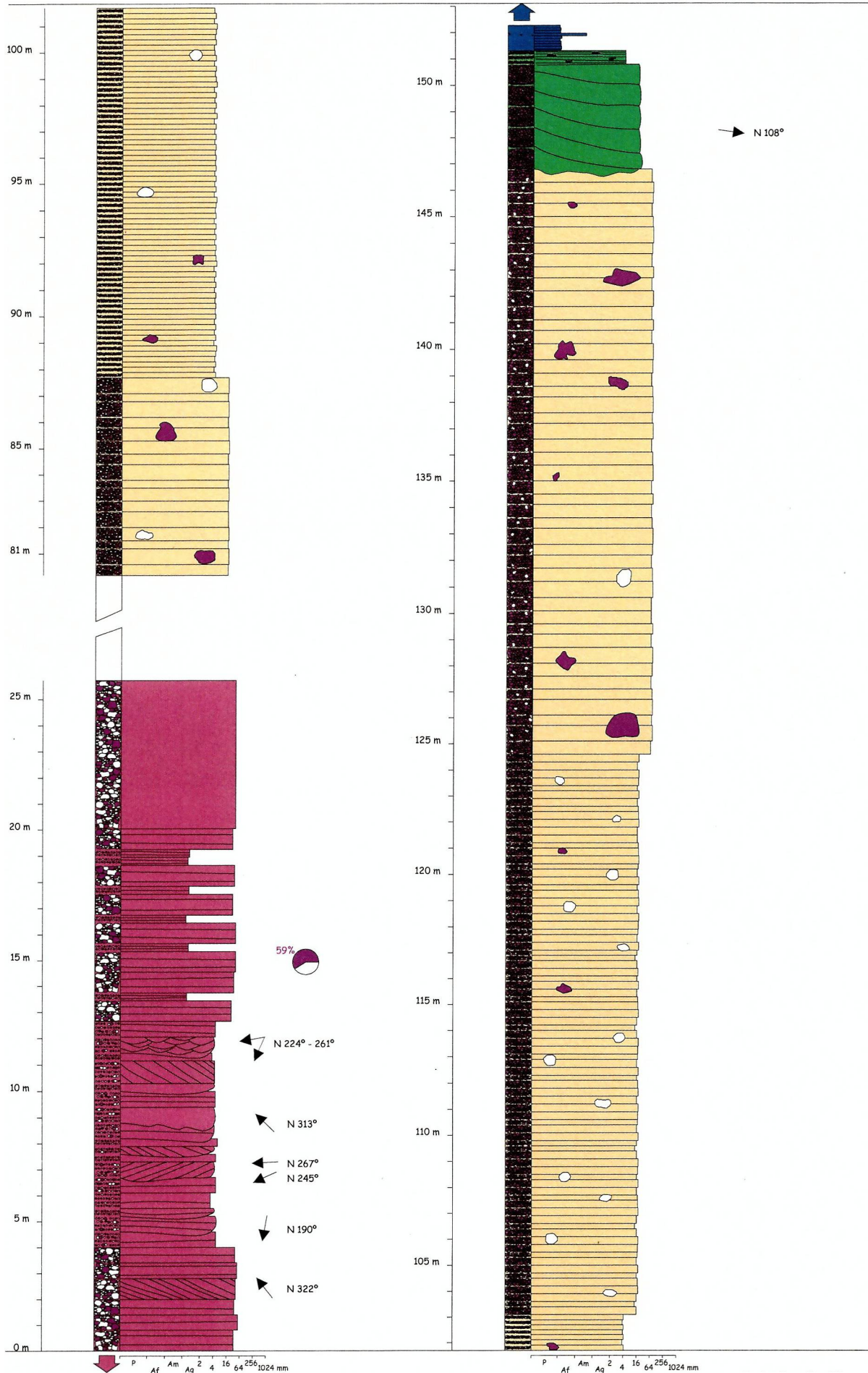
Perfil ECM 24

Perfil ECM 27



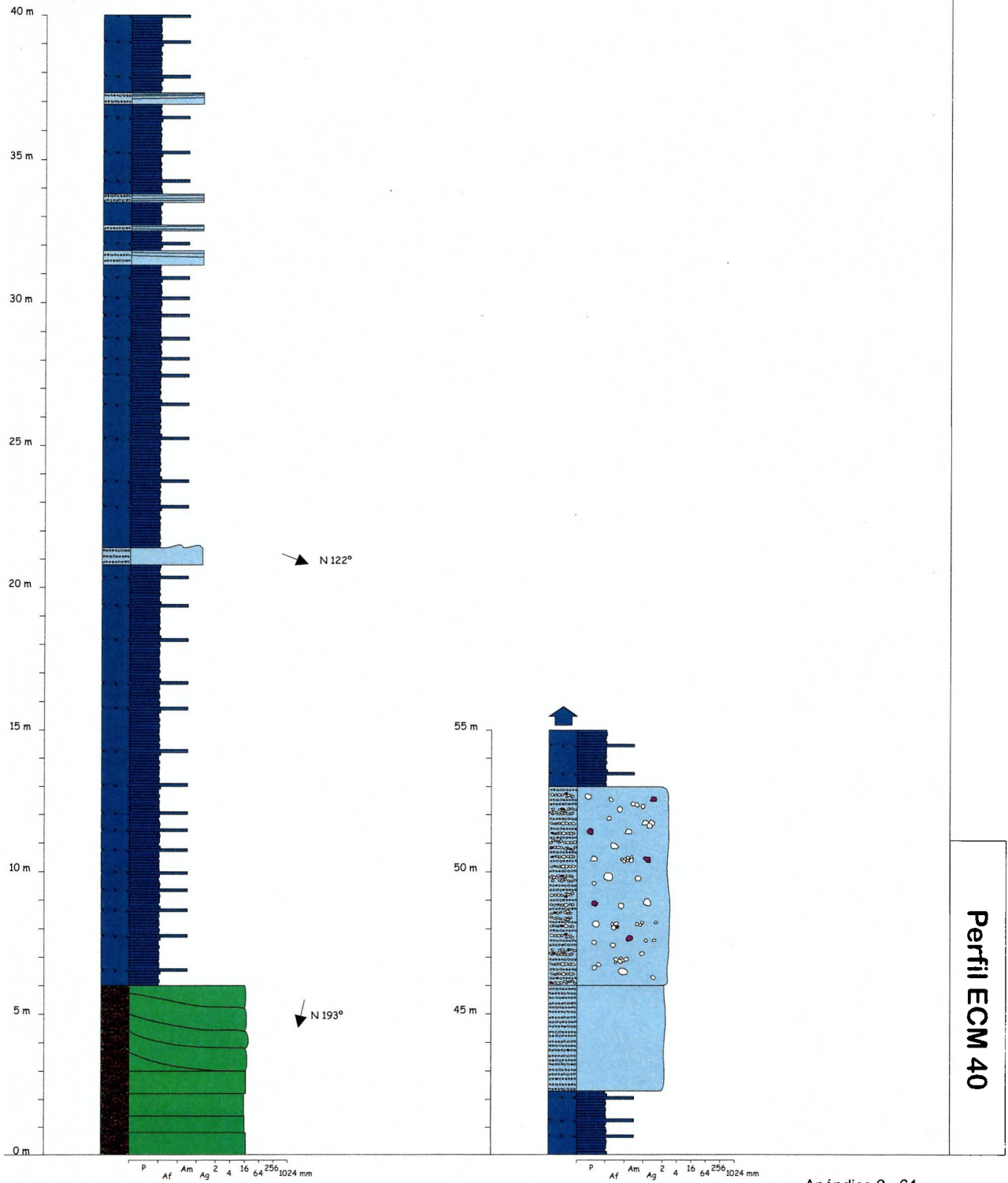
Perfil ECM 27

Perfil ECM 29



Perfil ECM 29

Perfil ECM 40

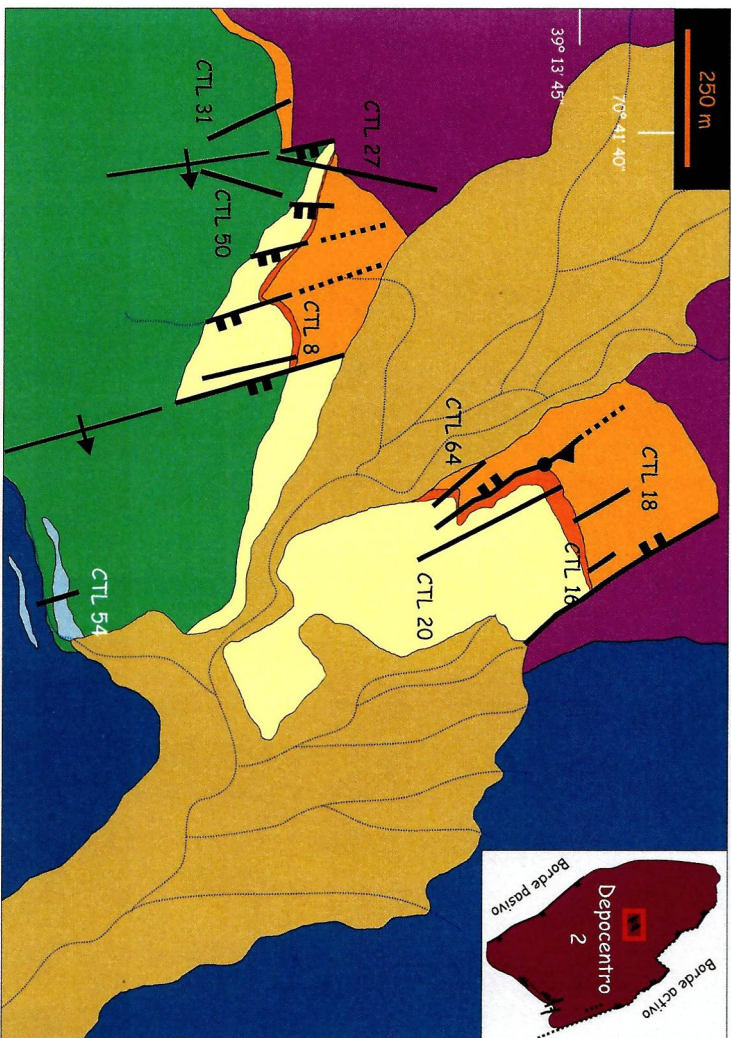
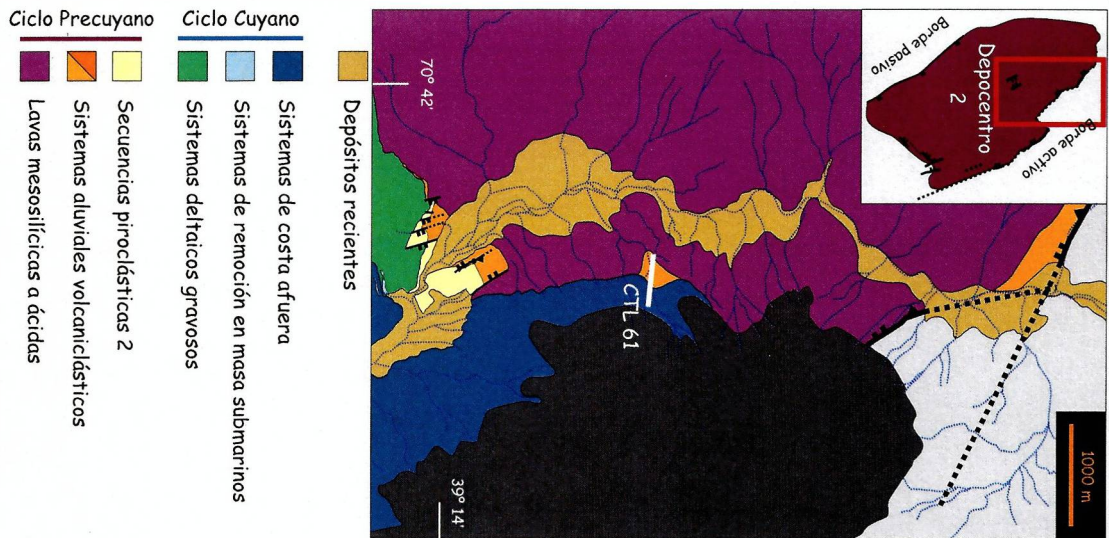


Perfil ECM 40

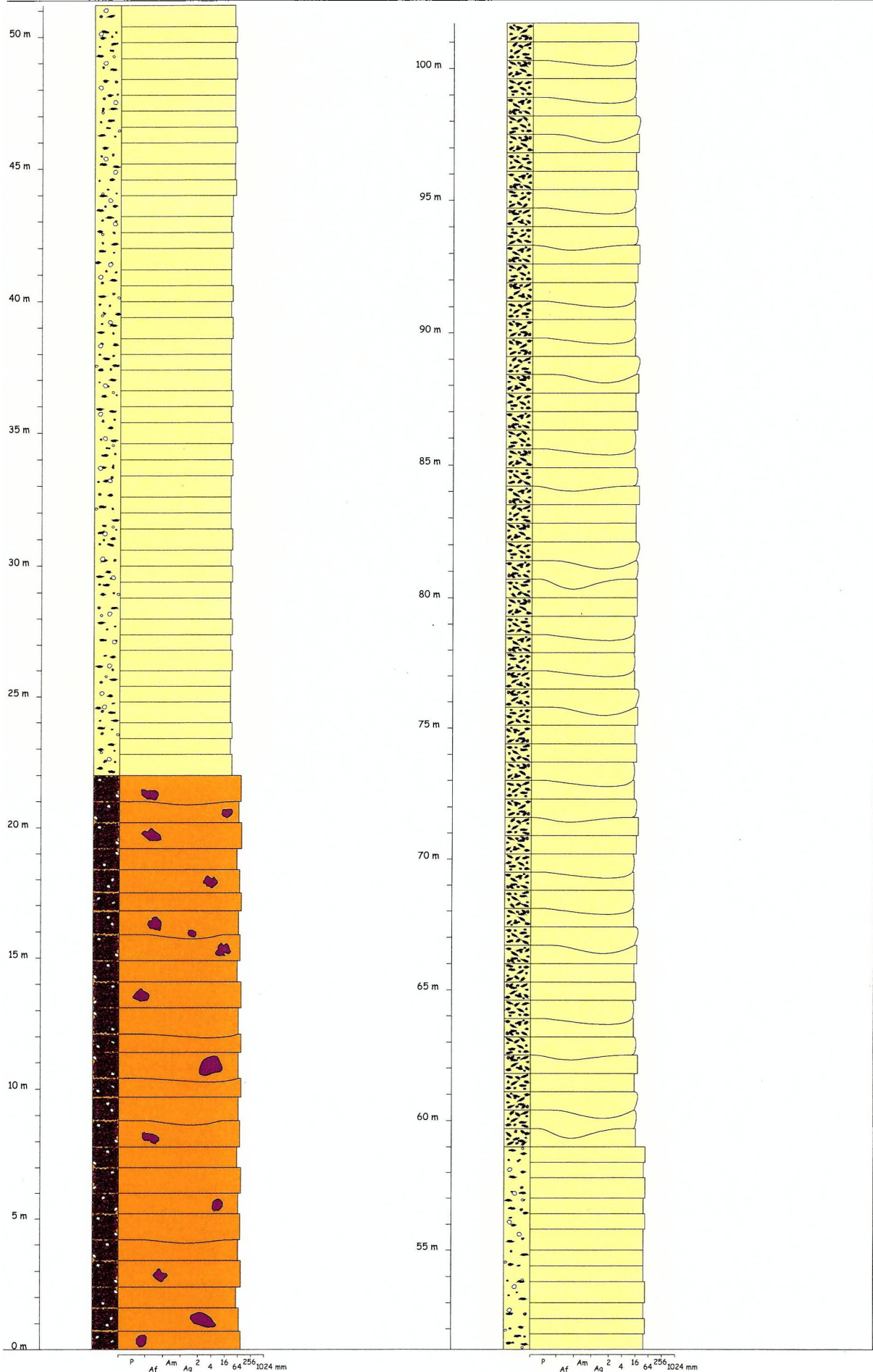
Perfiles litológicos de detalle - Localidad CTL

Perfiles litológicos de detalle levantados en la localidad CTL:

- | | |
|--|--|
| - CTL 8: S 39° 14' 3,3"; O 70° 41' 19,3" | - CTL 31: S 39° 14' 1,4"; O 70° 41' 44,3" |
| - CTL 16: S 39° 13' 41,3"; O 70° 41' 4,1" | - CTL 50: S 39° 14' 3,1"; O 70° 41' 33,1" |
| - CTL 18: S 39° 13' 40,3"; O 70° 41' 10,7" | - CTL 54: S 39° 13' 19,5"; O 70° 41' 14,5" |
| - CTL 20: S 39° 13' 45,3"; O 70° 41' 10,2" | - CTL 61: S 39° 12' 47"; O 70° 40' 50,1" |
| - CTL 27: S 39° 13' 55,2"; O 70° 41' 36,2" | - CTL 64: S 39° 13' 49,4"; O 70° 41' 14,3" |

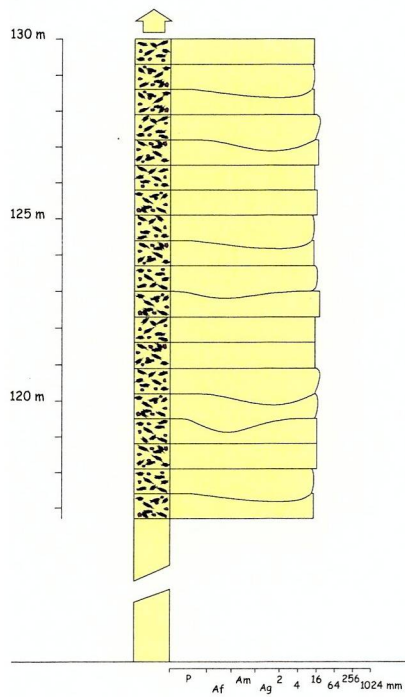


Perfil CTL 8



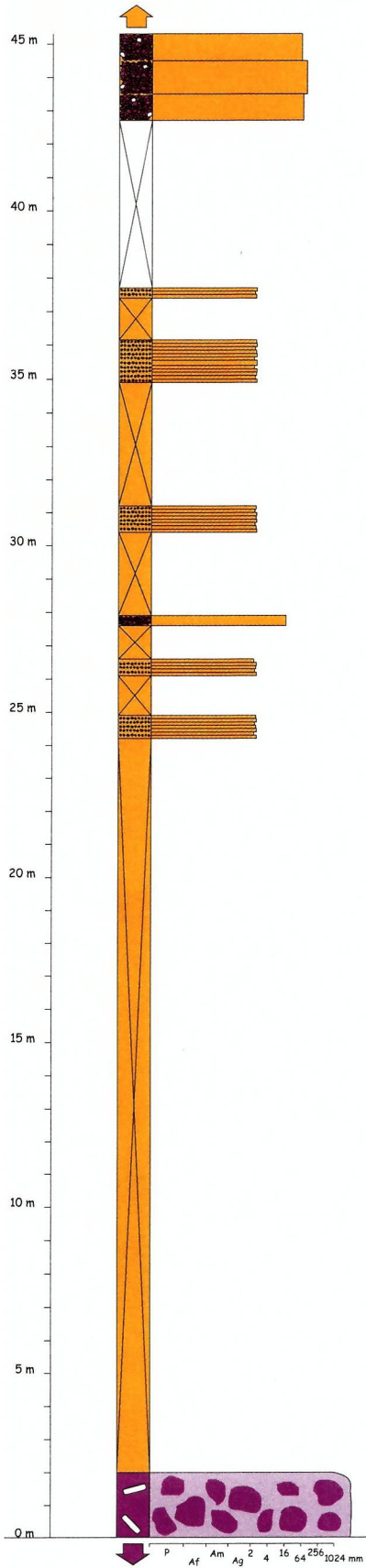
Perfil CTL 8 - Hoja 1

Perfil CTL 8



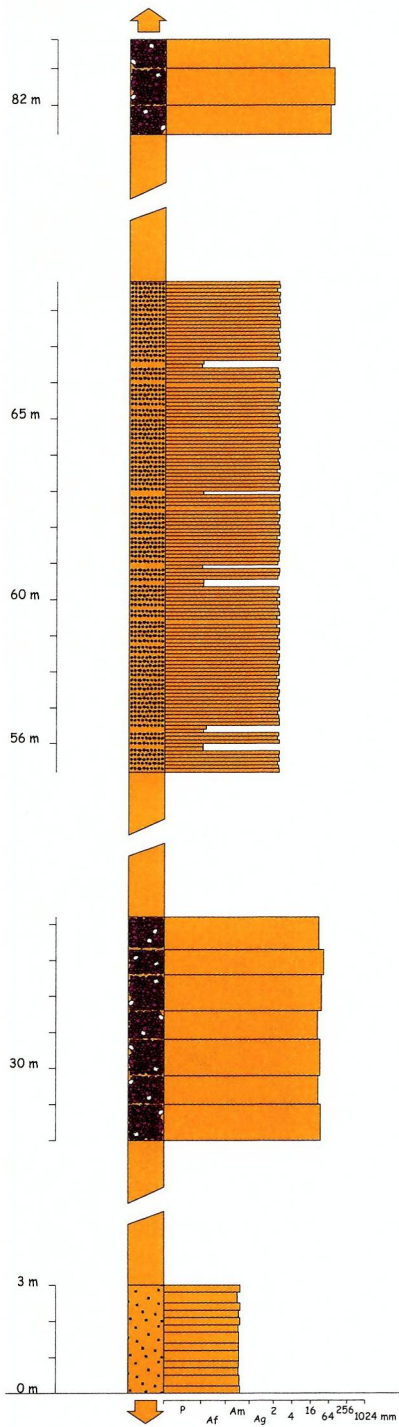
Perfil CTL 8 - Hoja 2

Perfil CTL 16



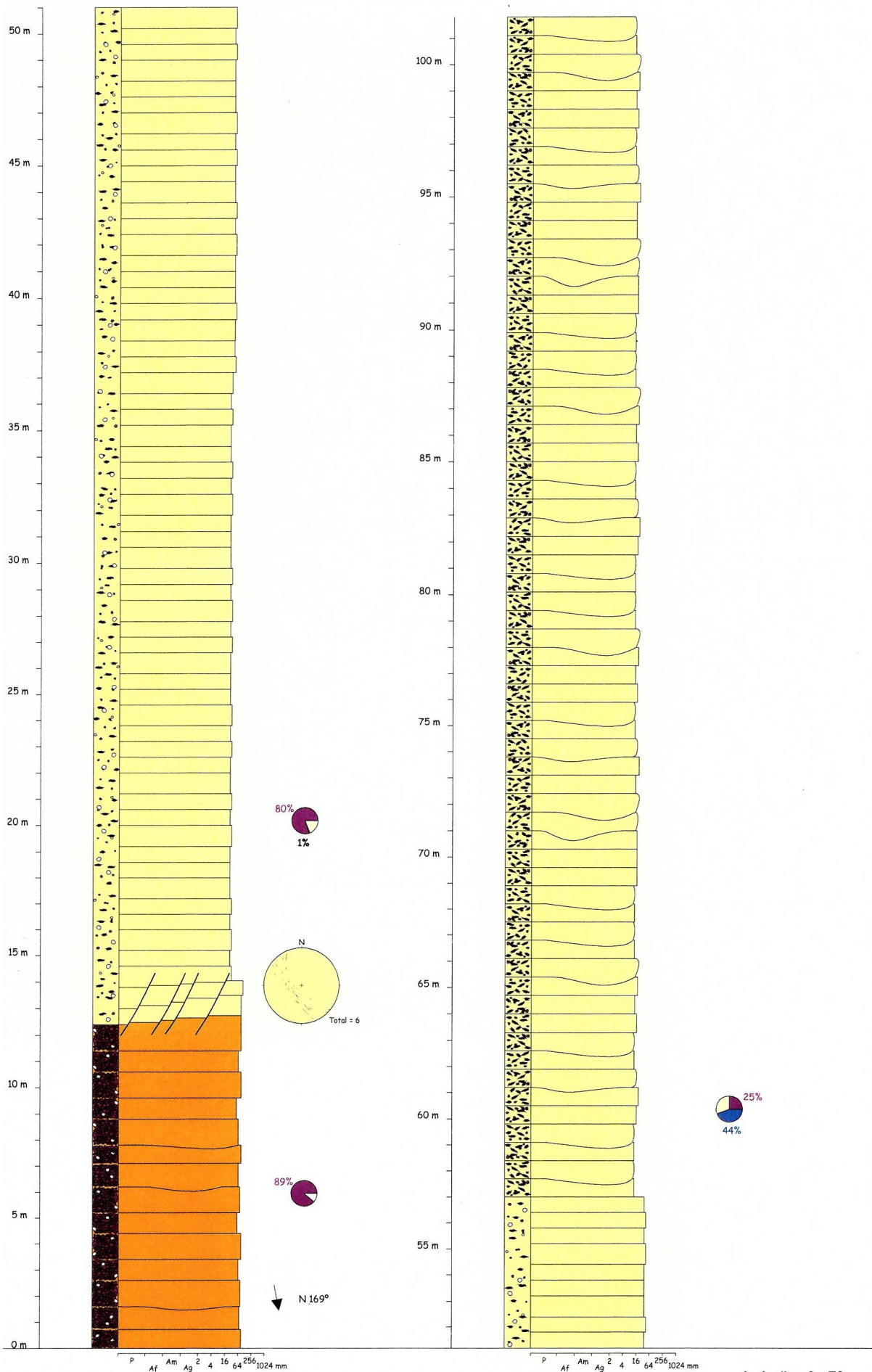
Perfil CTL 16

Perfil CTL 18



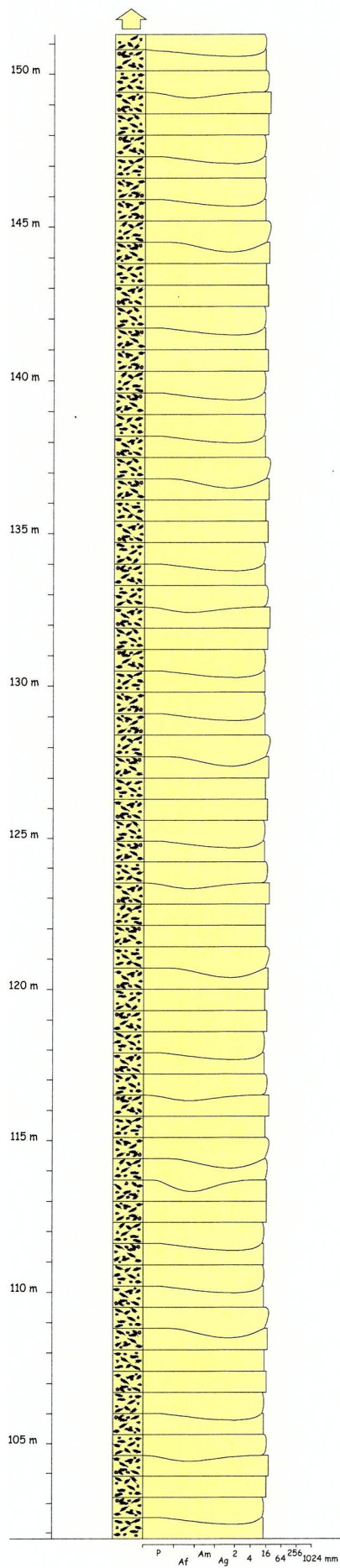
Perfil CTL 18

Perfil CTL 20



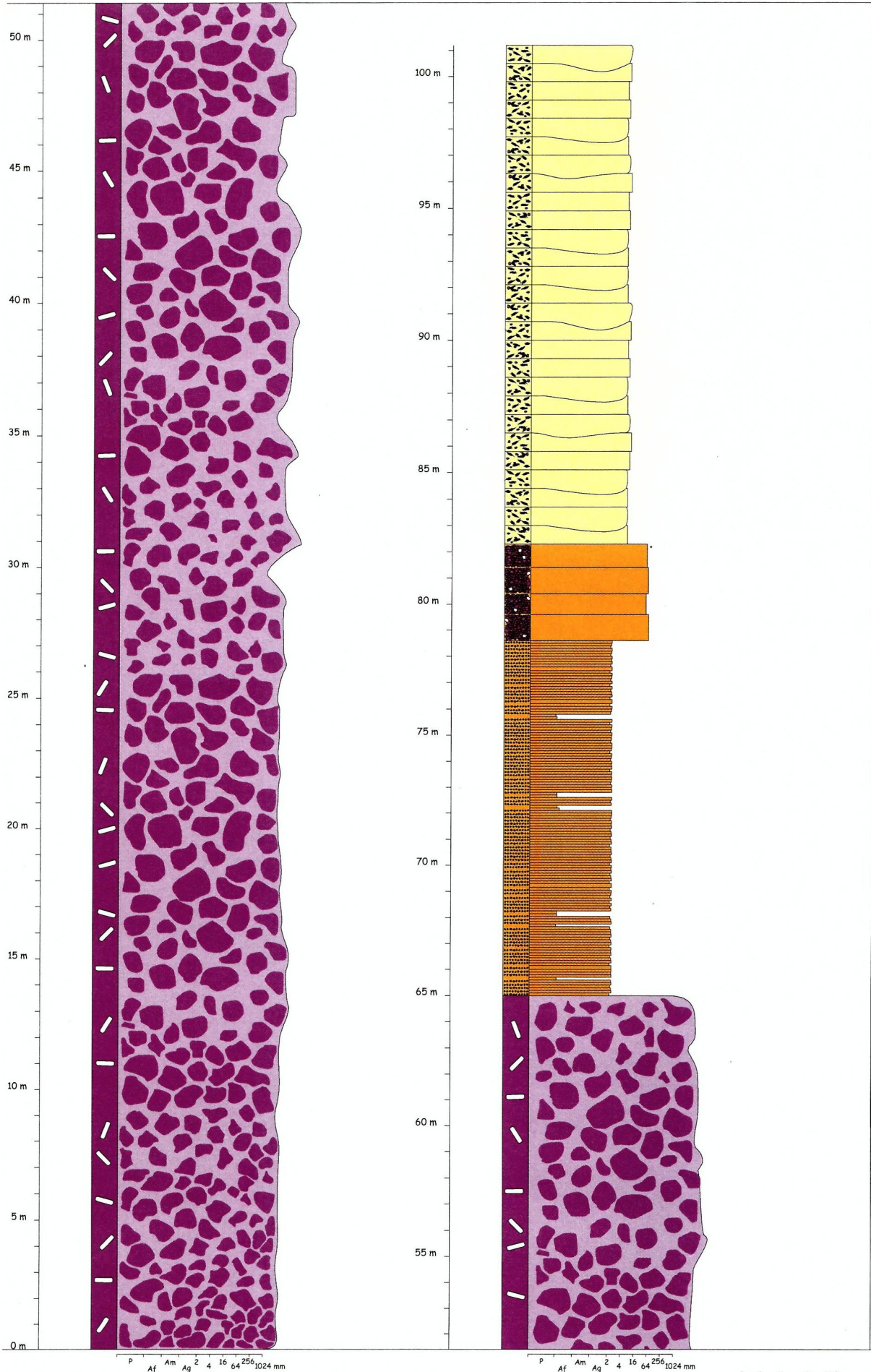
Perfil CTL 20 - Hoja 1

Perfil CTL 20



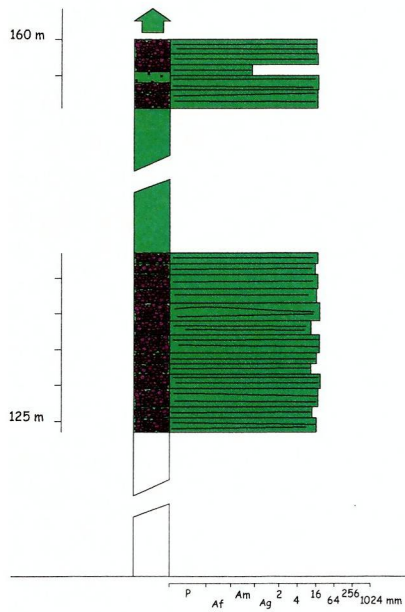
Perfil CTL 20 - Hoja 2

Perfil CTL 27



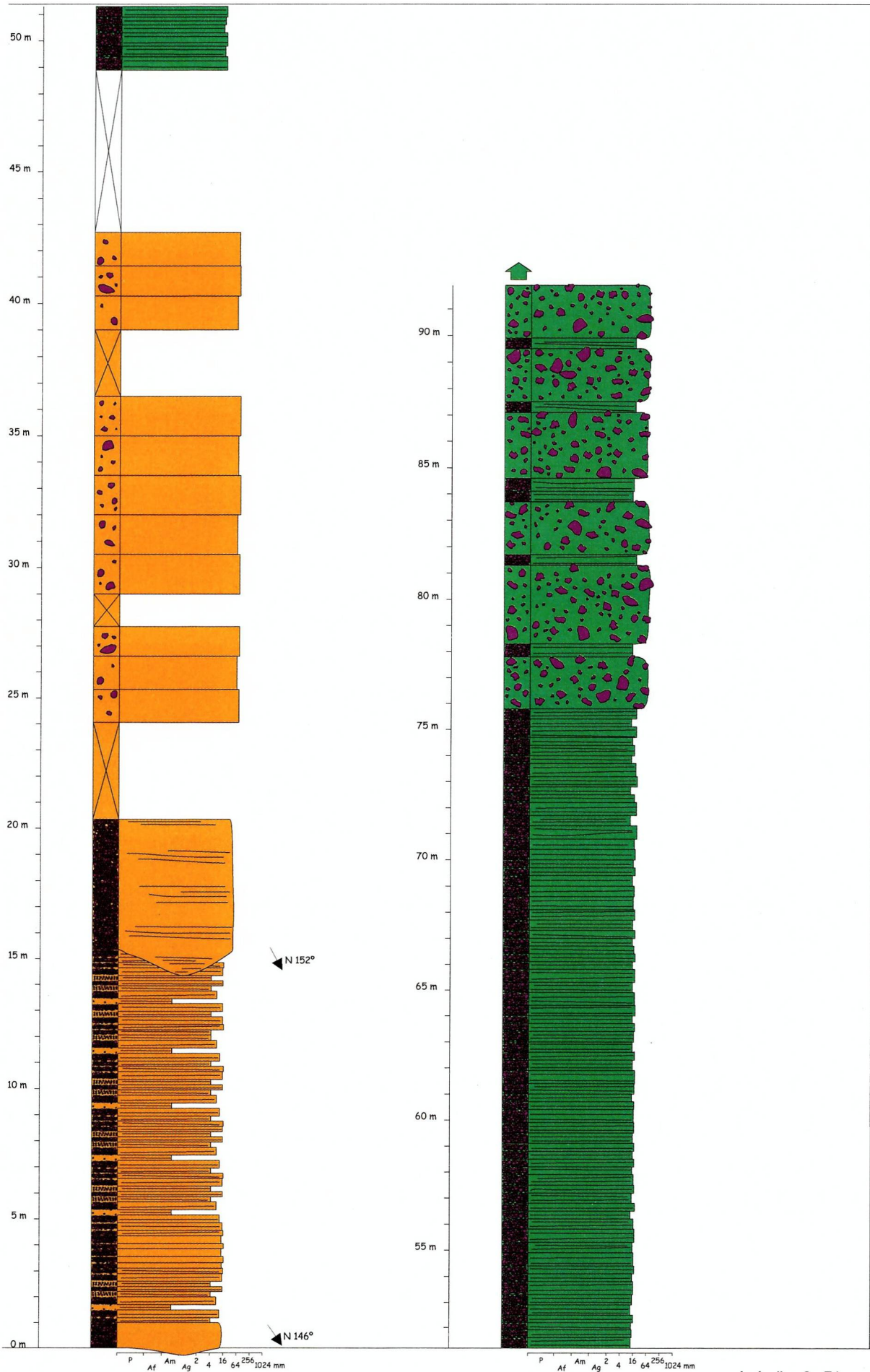
Perfil CTL 27 - Hoja 1

Perfil CTL 27



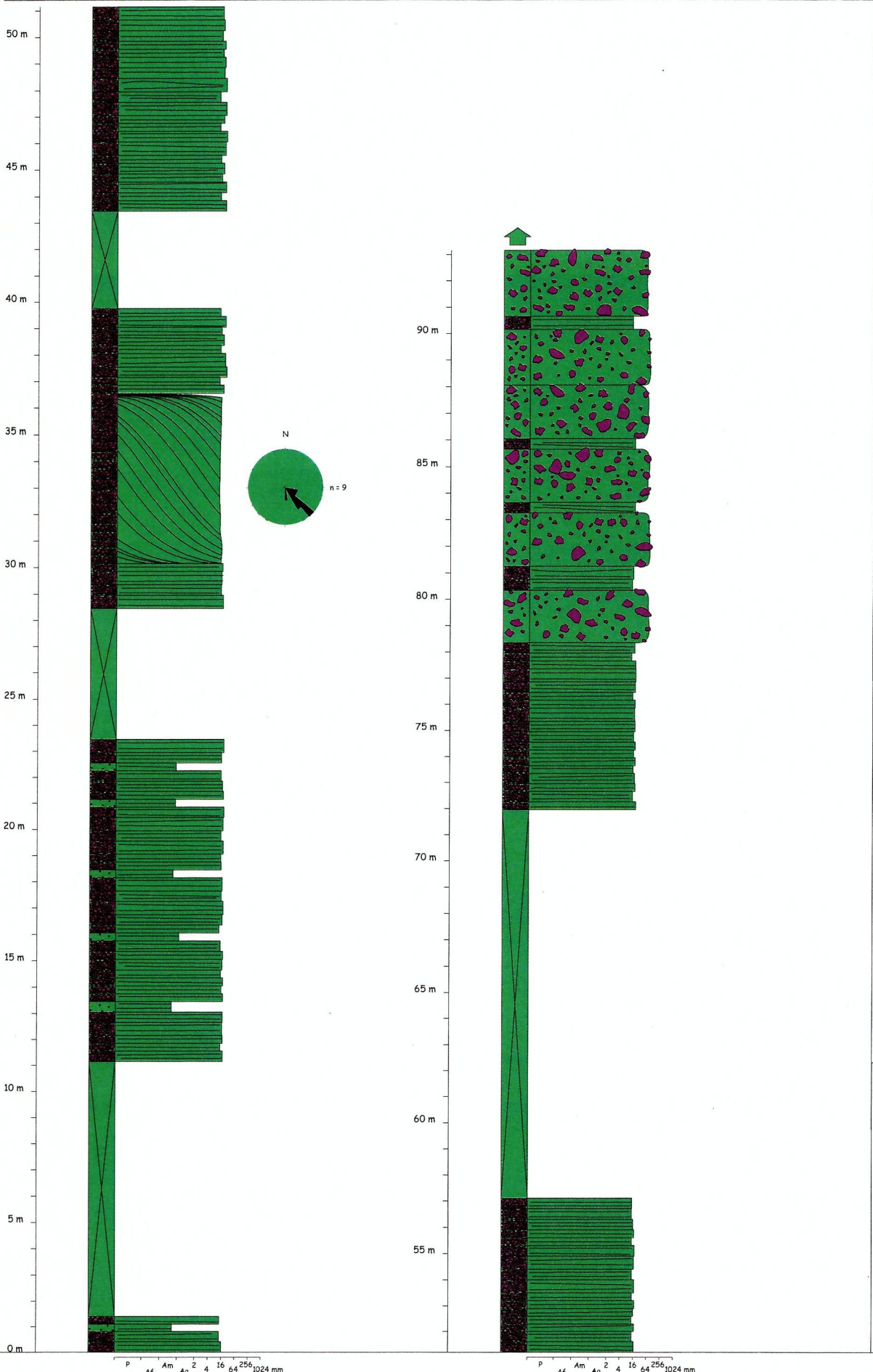
Perfil CTL 27 - Hoja 2

Perfil CTL 31



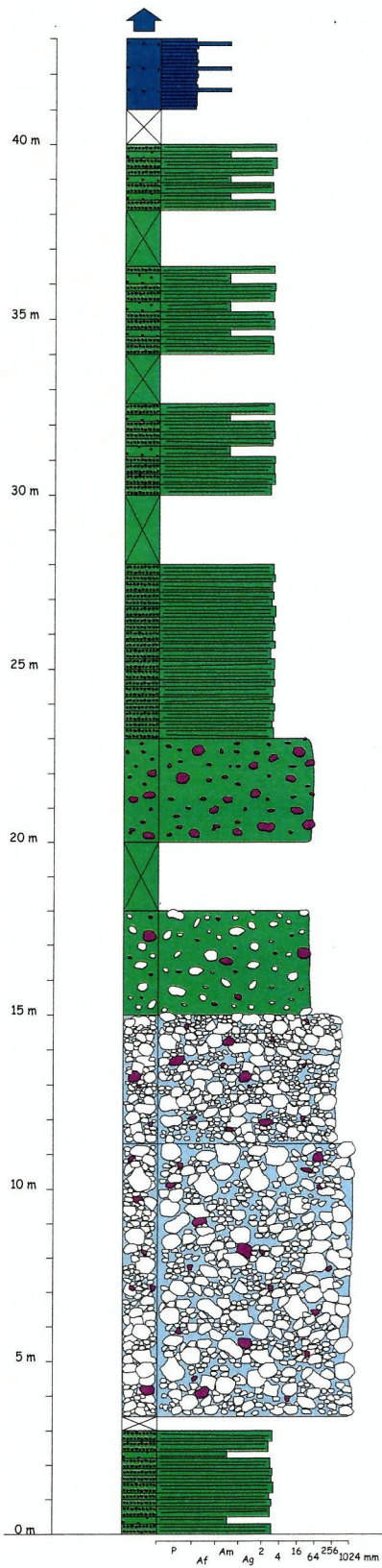
Perfil CTL 31

Perfil CTL 50



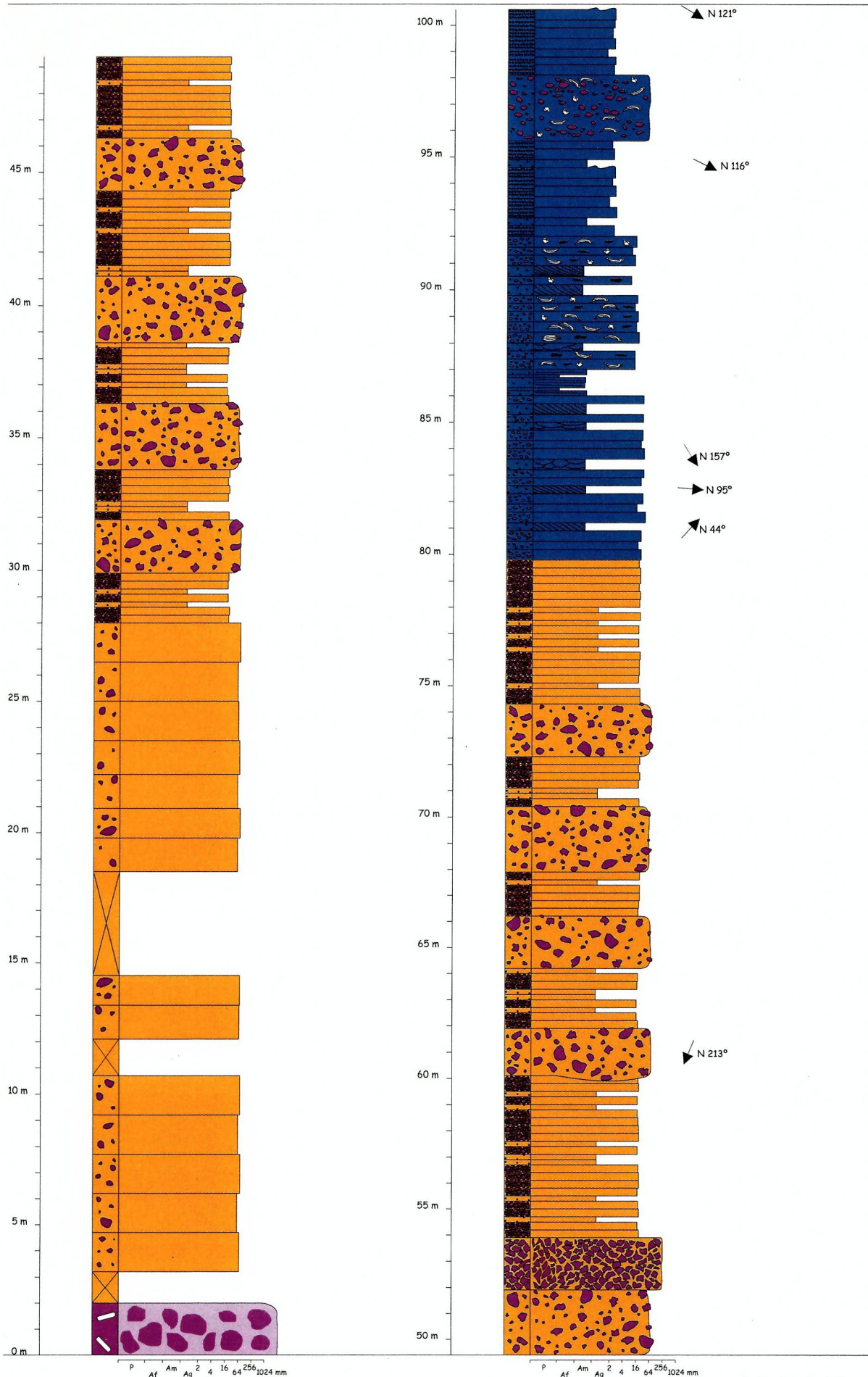
Perfil CTL 50

Perfil CTL 54



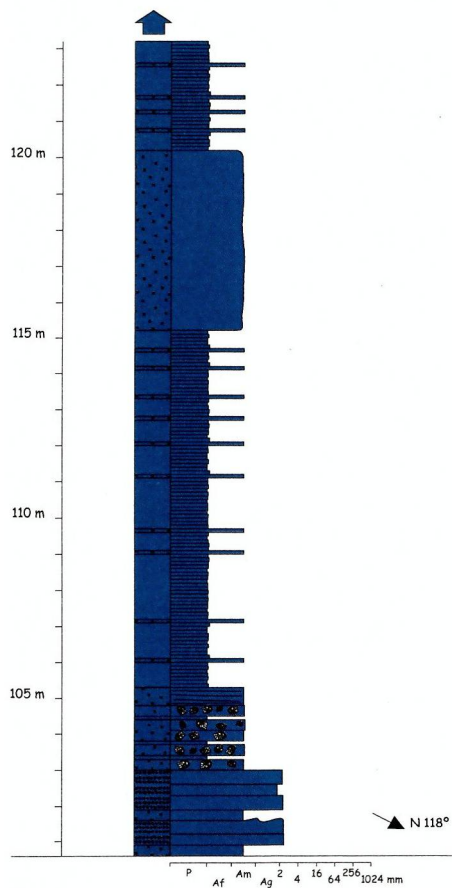
Perfil CTL 54

Perfil CTL 61



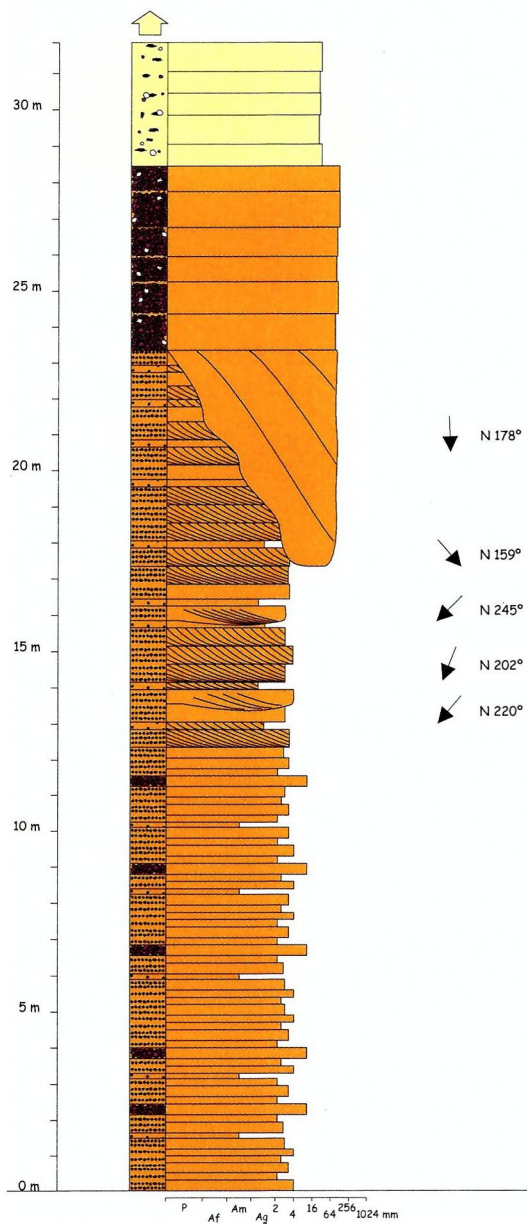
Perfil CTL 61 - Hoja 1

Perfil CTL 61



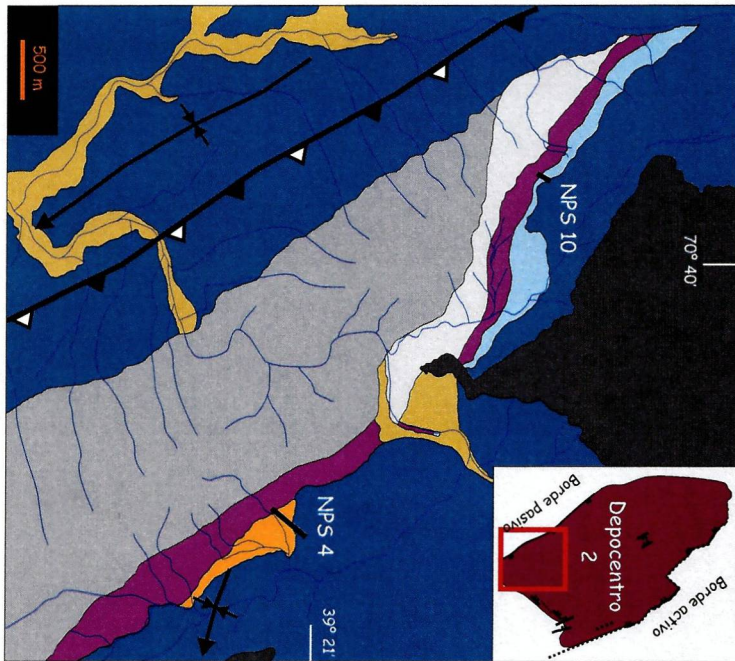
Perfil CTL 61 - Hoja 2

Perfil CTL 64



Perfil CTL 64

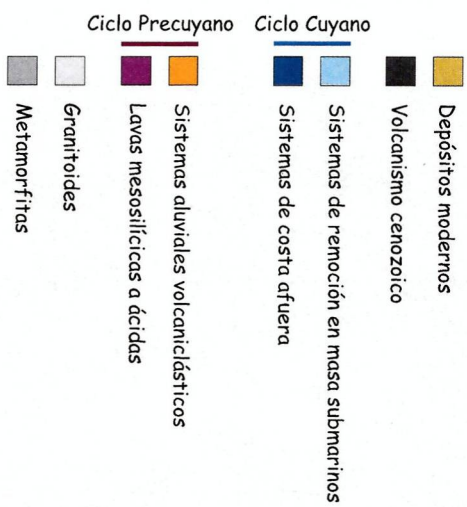
Perfiles litológicos de detalle - Localidad NPS



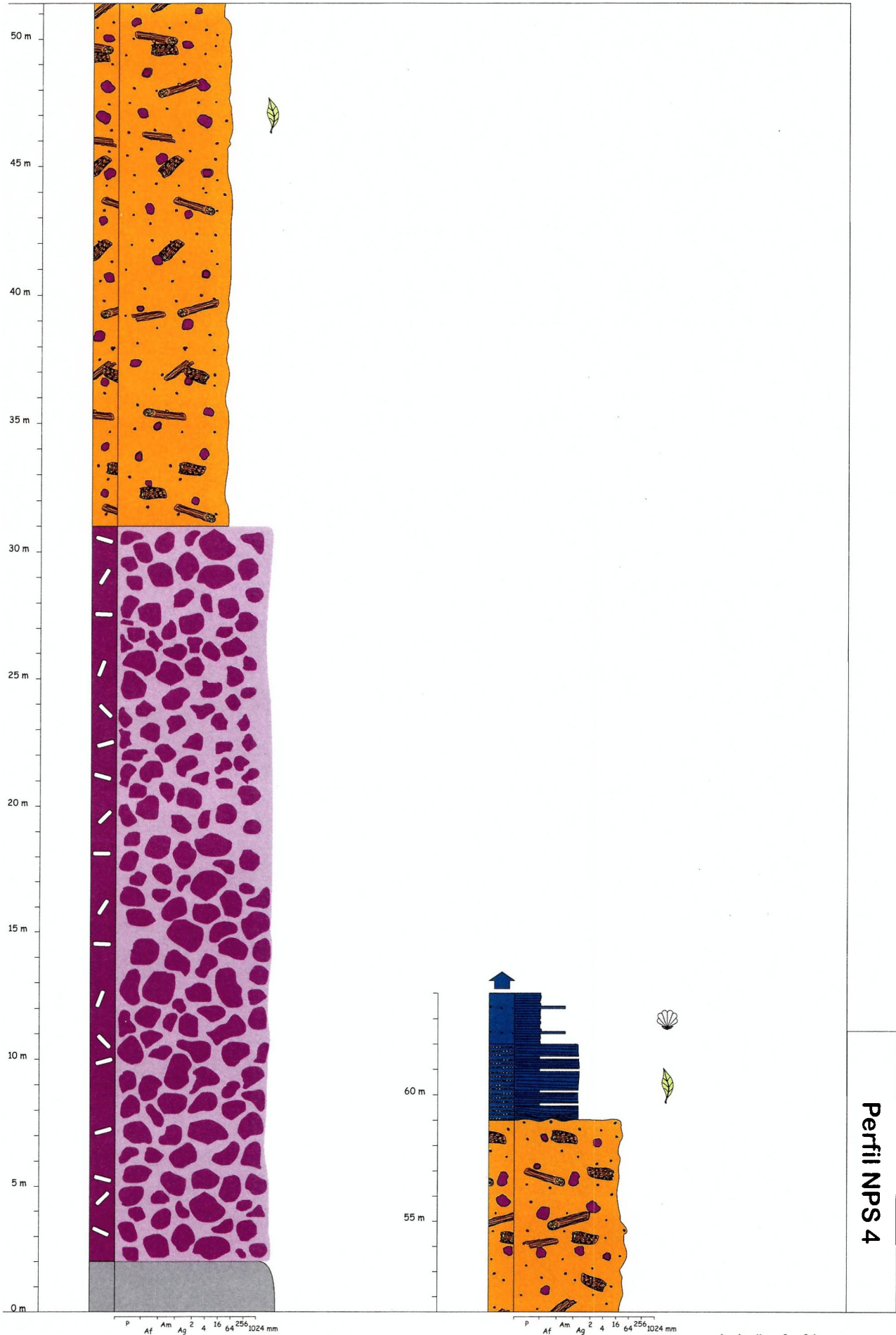
Perfiles litológicos de detalle levantados en la localidad NPS:

- NPS 4: S 39° 21' 6,9"; O 70° 38' 33,1"

- NPS 10: S 39° 19' 41,9"; O 70° 40' 41,3"

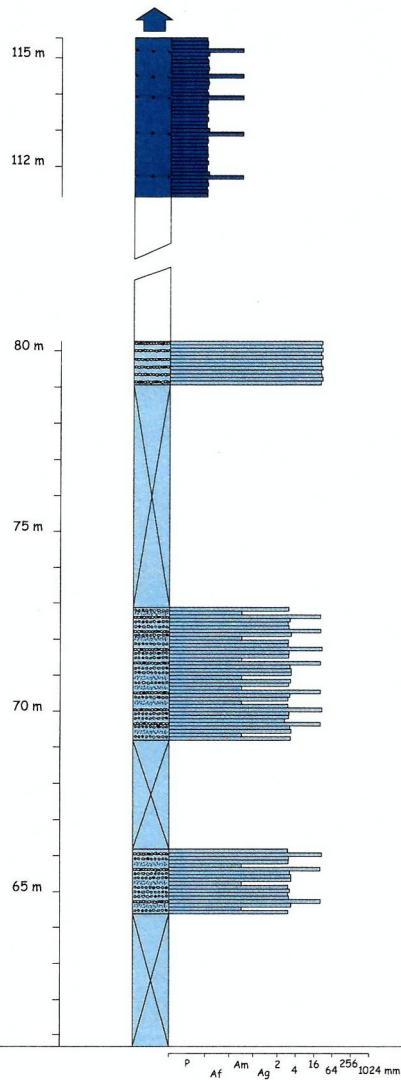
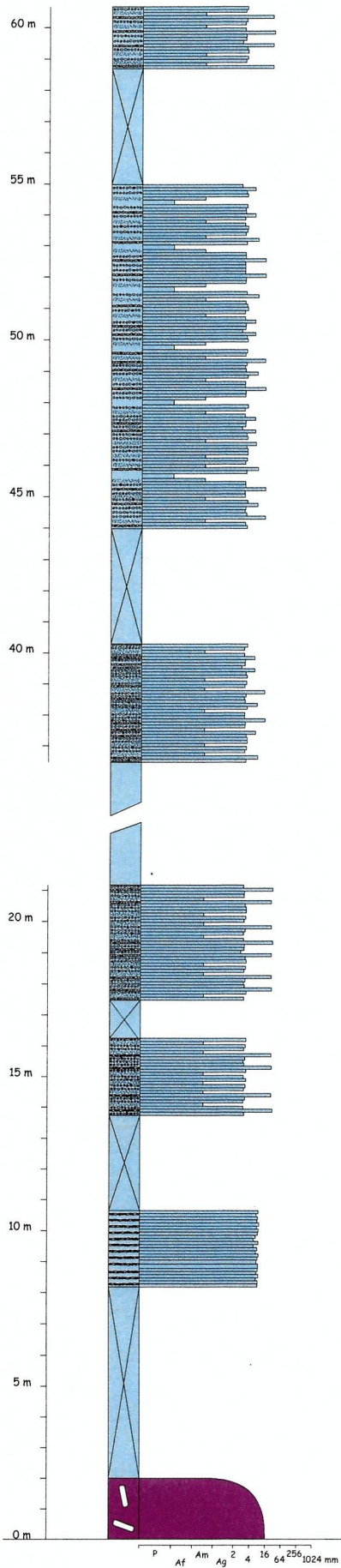


Perfil NPS 4



Perfil NPS 4

Perfil NPS 10



Perfil NPS 10

Apéndice 3 - Tablas de datos provenientes del análisis geoquímico

Trece muestras de roca se extrajeron en el campo con el fin de ser analizadas geoquímicamente. Se trituraron mediante un molino de mandíbulas en el Centro de Investigaciones Geológicas, y fueron enviadas a los laboratorios Actlabs® en Canadá. Allí se determinaron valores de elementos mayoritarios, minoritarios y trazas por análisis de FUS-ICP e ICP-MS (*Fusion Inductively Coupled Plasma* y *Fusion Inductively Coupled Plasma Mass Spectrometry*). En este anexo se incluyen las tablas con los datos originales provenientes del análisis geoquímico de las trece muestras tratadas.

Final Report
Activation Laboratories

Latitud	Longitud	Simbolo analitico	Unidades	Limite de deteccion	SiO2		Al2O3		Fe2O3(T)		MnO		MgO		CaO		Na2O		K2O		TiO2		P2O5		LOI		Total
					FUS-ICP	%	FUS-ICP	%	FUS-ICP	%	FUS-ICP	%	FUS-ICP	%	FUS-ICP	%	FUS-ICP	%	FUS-ICP	%	FUS-ICP	%	FUS-ICP	%	FUS-ICP	%	
39° 2' 42.4"	70° 33' 31.7"	NIR 8			73.36		12.53		3.23		0.057		0.24		1.16		4.34		1.46		0.134		0.03		2.17		98.7
39° 2' 25.6"	70° 33' 33.5"	NIR 10			56.82		15.52		6.92		0.103		3.54		8.26		3.47		0.44		0.939		0.16		3.34		99.51
39° 3' 7.4"	70° 32' 3.8"	NIR 23			65.37		13.95		4.64		0.08		0.8		3.05		6.92		0.34		0.627		0.18		2.62		98.57
39° 2' 25.1"	70° 33' 37.3"	NIR 28			66.29		14.26		4.65		0.128		2.28		1.14		5.43		1.32		0.589		0.15		2.44		98.66
39° 8' 17.5"	70° 31' 33.1"	PLT 26			62.58		14.79		5.32		0.092		0.58		2.52		3.22		4.81		0.729		0.21		3.52		98.37
39° 8' 18.5"	70° 31' 38.3"	PLT 27			72.92		11		3.61		0.04		0.91		0.88		2.63		3.92		0.576		0.19		2.27		98.94
39° 9' 11.8"	70° 30' 44"	PLT 32			61.12		16.49		6.14		0.073		1.1		1.85		3.26		3.8		0.777		0.2		3.76		98.57
39° 9' 18.6"	70° 30' 39.6"	PLT 33			81.84		9.58		1.29		0.015		0.08		0.16		2.39		3.78		0.234		0.03		0.69		100.1
39° 8' 18.4"	70° 32' 47.4"	PLS 22-1			81.78		10.16		0.61		0.004		0.03		0.07		1.99		4.78		0.096		0.03		1.94		100.1
39° 9' 53.8"	70° 35' 26.4"	PCL 22			62.04		16.58		5.68		0.107		0.98		3.36		4.23		3.18		0.773		0.21		1.94		99.07
39° 13' 6.9"	70° 37' 29.1"	ECM 21			65.77		14.24		4.55		0.139		1.17		1.08		2.69		6.53		0.478		0.07		2.12		98.84
39° 12' 25.2"	70° 38' 1.2"	ECM 47			56.17		17.88		7.07		0.56		3.33		1.09		5.78		3.25		0.662		0.15		2.55		98.5
39° 20' 4.7"	70° 39' 46.2"	NPS 12			78.27		11.05		2.97		0.035		0.37		0.68		5.24		0.72		0.285		0.06		1.08		100.7

Final Report
Activation Laboratories



Simbolo analítico	Unidades	Sc	Be	V	Ba	Sr	Y	Zr	Cr	Co	Ni	Cu	Zn	Ga	Ge	As
NIR 8	Metodo	FUS-ICP	FUS-ICP	FUS-ICP	FUS-ICP	FUS-ICP	FUS-ICP	FUS-ICP	FUS-MS	FUS-MS	FUS-MS	FUS-MS	FUS-MS	FUS-MS	FUS-MS	FUS-MS
NIR 10	ppm	1	1	5	3	2	2	4	20	1	20	10	30	1	1	5
NIR 23	ppm	1	1	5	3	2	2	4	20	1	20	10	30	1	1	5
NIR 28	ppm	1	1	5	3	2	2	4	20	1	20	10	30	1	1	5
PLT 26	ppm	1	1	5	3	2	2	4	20	1	20	10	30	1	1	5
PLT 27	ppm	1	1	5	3	2	2	4	20	1	20	10	30	1	1	5
PLT 32	ppm	1	1	5	3	2	2	4	20	1	20	10	30	1	1	5
PLT 33	ppm	1	1	5	3	2	2	4	20	1	20	10	30	1	1	5
PLS 22-1	ppm	1	1	5	3	2	2	4	20	1	20	10	30	1	1	5
PCL 22	ppm	1	1	5	3	2	2	4	20	1	20	10	30	1	1	5
ECM 21	ppm	1	1	5	3	2	2	4	20	1	20	10	30	1	1	5
ECM 47	ppm	1	1	5	3	2	2	4	20	1	20	10	30	1	1	5
NPS 12	ppm	1	1	5	3	2	2	4	20	1	20	10	30	1	1	5

Final Report
Activation Laboratories



Simbolo analítico	Rb	Nb	Mo	Ag	In	Sn	Sb	Cs	La	Ce	Pr	Nd	Sm	Eu	Gd
Unidades	ppm	ppm	ppm	ppm	ppm	ppm	ppm	ppm	ppm	ppm	ppm	ppm	ppm	ppm	ppm
Limite de detección	2	1	2	0.5	0.2	1	0.5	0.5	0.1	0.1	0.05	0.1	0.1	0.05	0.1
Metodo	FUS-MS	FUS-MS	FUS-MS	FUS-MS	FUS-MS	FUS-MS	FUS-MS	FUS-MS	FUS-MS	FUS-MS	FUS-MS	FUS-MS	FUS-MS	FUS-MS	FUS-MS
NIR 8	91	12	<2	<0.5	<0.2	3	7.9	4.9	32.9	67.4	9.09	34.9	7.9	1.51	7.7
NIR 10	12	3	<2	<0.5	<0.2	2	7.4	1.2	13	29.8	4.05	16.5	4	1.17	3.9
NIR 23	18	7	<2	<0.5	<0.2	4	11.1	1.5	16	39.7	5.66	21.8	5	1.23	4.8
NIR 28	45	7	4	<0.5	<0.2	3	7	6.8	14	27.7	3.46	14.8	3.6	0.92	3.6
PLT 26	163	7	<2	<0.5	<0.2	4	6	5	18.6	40.4	5.35	21.4	5.1	1.29	5
PLT 27	179	5	2	<0.5	<0.2	3	6.9	3.5	13.2	30.8	4.09	16.3	4	1	4
PLT 32	156	8	<2	<0.5	<0.2	3	6	8.2	23.8	53.1	6.82	27.1	5.9	1.27	5.7
PLT 33	79	3	8	<0.5	<0.2	2	6	1.9	19.1	34.4	3.72	12	2.5	0.55	2.2
PLUS 22-1	145	4	<2	<0.5	<0.2	4	4.1	1.3	18.9	35.7	4.76	15.5	3.2	0.49	3
PCL 22	164	8	<2	<0.5	<0.2	3	4.6	7	27	59.6	7.67	28.1	6.2	1.45	6.4
ECM 21	314	8	<2	<0.5	<0.2	3	10	11.3	26.4	48	6.56	23.5	5.1	1.23	5.2
ECM 47	160	5	<2	<0.5	<0.2	2	1.8	10.9	20	39.8	5.1	17.8	3.8	1.15	4
NPS 12	34	7	10	4.9	<0.2	2	20.2	4.7	20.9	41.4	4.46	16.5	3.8	0.82	3.4






Final Report
Activation Laboratories







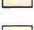
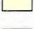


Simbolo analítico	Tb	Dy	Ho	Er	Tm	Yb	Lu	Hf	Ta	W	Ti	Pb	Bi	Th	U
Unidades	ppm	ppm	ppm	ppm	ppm	ppm	ppm	ppm	ppm	ppm	ppm	ppm	ppm	ppm	ppm
Limite de detección	0.1	0.1	0.1	0.1	0.05	0.1	0.04	0.2	0.1	1	0.1	5	0.4	0.1	0.1
Método	FUS-MS	FUS-MS	FUS-MS	FUS-MS	FUS-MS	FUS-MS	FUS-MS	FUS-MS	FUS-MS	FUS-MS	FUS-MS	FUS-MS	FUS-MS	FUS-MS	FUS-MS
NIR 8	1.4	9.1	1.9	5.5	0.85	5.5	0.81	8.9	1	<1	0.6	13	0.6	14.8	2.2
NIR 10	0.7	4.1	0.8	2.3	0.35	2.2	0.32	3.5	0.3	<1	<0.1	9	<0.4	4.1	1.2
NIR 23	0.9	5.2	1	3.2	0.47	3	0.45	4.6	0.6	3	0.1	19	5	8.7	2.1
NIR 28	0.7	4.3	0.8	2.5	0.36	2.3	0.34	4	0.7	<1	0.4	12	<0.4	6.4	1.7
PLT 26	0.9	5.4	1.1	3.2	0.48	3	0.45	4.8	0.7	<1	1	32	1.2	6.7	2
PLT 27	0.7	4.3	0.9	2.6	0.39	2.5	0.38	3.8	0.6	<1	0.9	21	0.7	5.3	1.3
PLT 32	1	6.3	1.2	3.5	0.52	3.3	0.47	5.6	0.7	<1	0.6	18	<0.4	9.2	1.6
PLT 33	1	6.3	1.2	3.5	0.52	3.3	0.47	5.6	0.7	<1	0.6	18	<0.4	9.2	1.6
PLS 22-1	0.4	2.5	0.5	1.8	0.28	1.9	0.28	3.3	0.5	1	0.8	54	1	7.2	1.3
PCL 22	0.5	3.4	0.8	2.4	0.37	2.4	0.36	3.4	0.6	<1	0.7	8	<0.4	11.2	2.9
ECM 21	0.8	5.1	1.1	3.4	0.53	3.4	0.53	6	0.7	1	0.8	49	2.3	7.4	2.4
ECM 47	0.6	3.9	0.8	2.5	0.39	2.5	0.38	3.7	0.4	<1	0.8	12	<0.4	4.5	0.8
NPS 12	0.6	3.5	0.7	2.2	0.35	2.3	0.35	4.1	0.6	4	0.3	108	1.8	6.5	2.9



Handwritten signatures and initials:



Referencias generales


-  Depósitos modernos
-  Volcanismo cenozoico

Ciclo Cuyano	 Sistemas de costa afuera	SCA
	 Calizas marinas someras	CMS
	 Epiclásticos marinos someros	EMS
	 Sistemas de remoción en masa submarinos	SRMS
	 Sistemas deltaicos gravosos	SDG

Ciclo Precuyano	 Abanico aluvial (flujos hiperconcentrados)	AFH
	 Abanico aluvial (flujos de detritos)	AFD
	 Secuencias piroclásticas 2	SP 2
	 Secuencias piroclásticas 1b	SP 1b
	 Domos y criptodomas ácidos	DCA
	 Depósitos piroclásticos retrabajados	DPR
	 Secuencias piroclásticas 1a	SP 1a
	 Sistemas aluviales volcaniclásticos	SAV
	 Domo de autobrechas	DAB
	 Lavas mesosilíceas a ácidas	LMA

-  Basamento granítico
-  Basamento metamórfico

 Clastos pumíceos

 Clastos de origen granítico


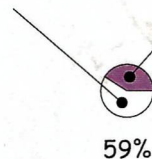
 Clastos de origen volcánico efusivo

Diagrama de torta sobre procedencia de clastos: graníticos vs. volcánicos efusivos



Referencias generales



Falla directa



Falla directa; la estructura se continúa en un lineamiento



Falla inversa



Falla inversa; posible inversión de una falla directa antigua



Falla extensional, luego invertida



Falla extensional, posiblemente invertida luego



Falla extensional, posiblemente invertida luego; la estructura se continúa en un lineamiento



Falla rotacional, extensional hacia un lado del punto de pivote e inversa hacia el otro



Lineamiento



Posible falla extensional, luego invertida



Posible falla extensional, presumiblemente invertida luego



Pliegue anticlinal



Pliegue sinclinal



18

Rumbo e inclinación de una capa



Flexura monoclinal



Diques volcánicos



Dirección de paleocorrientes